Министерство образования и науки Российской Федерации

федеральное государственное автономное образовательное учреждение высшего образования

«НАЦИОНАЛЬНЫЙ ИССЛЕДОВАТЕЛЬСКИЙ ТОМСКИЙ ПОЛИТЕХНИЧЕСКИЙ УНИВЕРСИТЕТ»

Институт Энергетический (ЭНИН)

Направление подготовки 13.03.02 – Электроэнергетика и электротехника

Кафедра Электроснабжение промышленных предприятий (ЭПП)

БАКАЛАВРСКАЯ РАБОТА

Тема работы

ПРОЕКТОРОВАНИЕ СИСТЕМЫ ЭЛЕКТРОСНАБЖЕНИЯ ЗАВОДА ПО ПРОИЗВОДСТВУ ЗАПАСНЫХ ДЕТАЛЕЙ К ТРАКТОРАМ

УДК <u>621.31.031:629.114.2.002</u>

Студент

Группа	ФИО	Подпись	Дата
5A36	Жульмина Маргарита Дмитриевна		

Руководитель

Должность	ФИО	Ученая степень, звание	Подпись	Дата
Доцент	Сумарокова Л.П.	к.т.н., доцент		

КОНСУЛЬТАНТЫ:

По разделу «Финансовый менеджмент, ресурсоэффективность и ресурсосбережение»

Должность	ФИО	Ученая степень, звание	Подпись	Дата
Доцент	Сергейчик С.И.	к.т.н., доцент		

По разлелу «Социальная ответственность»

To pushent we extraordinate or better better					
Должность	ФИО	Ученая степень,	Подпись	Дата	
		звание			
Доцент	Дашковский А.Г.	к.т.н., доцент			

ДОПУСТИТЬ К ЗАЩИТЕ:

Зав. кафедрой	ФИО	Ученая степень,	Подпись	Дата
		звание		
Электроснабжение промышленных предприятий	Сурков М.А.	к.т.н., доцент		

Томск – 2017 г.

Министерство образования и науки Российской Федерации

федеральное государственное автономное образовательное учреждение высшего образования

«НАЦИОНАЛЬНЫЙ ИССЛЕДОВАТЕЛЬСКИЙ ТОМСКИЙ ПОЛИТЕХНИЧЕСКИЙ УНИВЕРСИТЕТ»

Институт Энергетический (ЭНИН)						
		троэнергетика и электротехника				
Кафедра <u>Электроснабже</u>	Кафедра <u>Электроснабжение промышленных предприятий (ЭПП)</u>					
на выпо л В форме:	,	УТВЕРЖДАЮ: И. о. зав. кафедрой ЭПП — 15.02.2017 Сурков М.А. (Подпись) (Дата) (Ф.И.О.) ДАНИЕ ой квалификационной работы				
	бакалавр	рской работы				
Студенту: Группа		ФИО				
5A36	Ж	Кульмина Маргарита Дмитриевна				
Тема работы:						
Проектирование системы	-	ния завода по производству запасных деталей к акторам				
Утверждена приказом ди	ректора (дата, но	омер) №970/с 15.07.2017				
Срок сдачи студентом вы	полненной работ	ты:				
ТЕХНИЧЕСКОЕ ЗАДАН	иие:					
Исходные данные к раб (наименование объекта исследования	или проектирования;	Объектом исследования является ремонт механический цех завода по производству запасн деталей к тракторам. В качестве исходных данн				

производительность или нагрузка; режим работы (непрерывный, периодический, циклический и т. д.); вид сырья или материал изделия; требования к продукту, изделию или процессу; особые требования к особенностям функционирования (эксплуатации) объекта или изделия в плане безопасности эксплуатации, влияния на окружающую среду, энергозатратам; экономический анализ и m. д.).

[0-ЫΧ ЫΧ представлены:

- генеральный план завода;
- план ремонтно-механического цеха;
- сведения об электрических нагрузках завода по производству запасных деталей к тракторам;
- сведения об электрических нагрузках ремонтномеханического цеха.

Перечень подлежащих исследованию, проектированию и разработке вопросов

(аналитический обзор по литературным источникам с целью выяснения достижений мировой науки техники в рассматриваемой области; постановка задачи исследования, проектирования, конструирования; содержание процедуры исследования, проектирования, конструирования; обсуждение результатов выполненной работы; наименование дополнительных разделов, подлежащих разработке; заключение по работе).

- постановка задачи проектирования;
- проектирование системы электроснабжения рассматриваемого завода;
- детальное рассмотрение особенностей трансформаторных подстанций в системах электроснабжения с последующим выбором цеховых трансформаторов;
- обсуждение результатов выполненной работы;
- -разработка раздела «Финансовый менеджмент, ресурсоэффективность и ресурсосбережение»;
- разработка раздела «Социальная ответственность»;
- заключение.

Перечень графического материала

(с точным указанием обязательных чертежей)

- картограмма электрических нагрузок предприятия;
- план внутризаводского электроснабжения;
- схема внешнего электроснабжения завода;
- однолинейная схема ремонтно-механического цеха;
- эпюра отклонения напряжения;
- карта селективности действия аппаратов защиты.

Консультанты по разделам выпускной квалификационной работы

(с указанием разделов)

Раздел	Консультант
Финансовый менеджмент, ресурсоэффективность и ресурсосбережение	Сергейчик С.И.
Социальная ответственность	Дашковский А.Г.

Названия разделов, которые должны быть написаны на русском и иностранном языках:

Дата выдачи задания на выполнение выпускной квалификационной работы по линейному графику

Задание выдал руководитель:

Должность	ФИО	Ученая степень, звание	Подпись	Дата
Доцент	Сумарокова Л.П.	к.т.н., доцент		

Задание принял к исполнению студент:

Группа	ФИО	Подпись	Дата
5A36	Жульмина М.Д.		

ЗАДАНИЕ ДЛЯ РАЗДЕЛА «ФИНАНСОВЫЙ МЕНЕДЖМЕНТ, РЕСУРСОЭФФЕКТИВНОСТЬ И РЕСУРСОСБЕРЕЖЕНИЕ»

\sim				
(TX	711	ен	тτ	7.
\sim 1 $^{\circ}$	νД	$\mathbf{v}_{\mathbf{I}}$	11 1	Ι.

Группа	ФИО
5A36	Жульминой Маргарите Дмитриевне

Институт	Энергетический (ЭНИН)	Кафедра	Электроснабжение промышленных предприятий (ЭПП)
Уровень образования	Бакалавр	Направление/специальность	Электроэнергетика и электротехника

Исходные данные к разделу	«Финансовый менеджмент,	ресурсоэффективность и
ресурсосбережение»:		

- 1. Стоимость ресурсов научного исследования (НИ): материально-технических, энергетических, финансовых, информационных и человеческих
- 2. Нормы и нормативы расходования ресурсов
- 3. Используемая система налогообложения, ставки налогов, отчислений, дисконтирования и кредитования

Работа с информацией, представленной в российских и иностранных научных публикациях, аналитических материалах, статистических бюллетенях и изданиях, нормативно-правовых документах; анкетирование; опрос

Перечень вопросов, подлежащих исследованию, проектированию и разработке:

1. Оценка коммерческого потенциала, перспективности и альтернатив проведения НИ с позиции ресурсоэффективности и ресурсосбережения

Расчет временных показателей проведение исследования ТП. Составление календарного план-графика

- 2. Планирование и формирование бюджета научных исследований
- 3. Определение ресурсной (ресурсосберегающей), финансовой, бюджетной, социальной и экономической эффективности исследования

Расчет коэффициентов: весовой коэф., коэф. отчислений на уплату во внебюджетные фонды

Перечень графического материала (с точным указанием обязательных чертежей):

- 1. Оценка конкурентоспособности технических решений
- 2. Mampuua SWOT
- 3. Альтернативы проведения НИ
- 4. Оценка ресурсной, финансовой и экономической эффективности НИ

Дата выдачи задания для раздела по линейному графику

Задание выдал консультант:

Должность	ФИО	Ученая степень, звание	Подпись	Дата
Доцент	Сергейчик С.И	к.т.н.		

Задание принял к исполнению студент:

Группа	ФИО	Подпись	Дата
5A36	Жульмина М. Д.		

Оглавление

РЕФЕРАТ8
Введение9
1. ОБЪЕКТ ИССЛЕДОВАНИЯ11
1.1 Объектом исследования является завод по производству запасных деталей к тракторам и его цех
2. РАСЧЁТ И АНАЛИТИКА
2.1 Выбор рациональной схемы электроснабжения ремонтно-механического цеха
2.2 Определение расчетной электрической нагрузки ремонтно-механического цеха
2.3 Определение полной расчётной нагрузки для завода в целом
2.4 Построение картограммы и определение центра электрических нагрузок24
2.5 Выбор количества, мощности и расположения цеховых
трансформаторных подстанций без учета компенсации реактивной мощности
2.6 Выбор количества трансформаторов с учетом компенсации реактивной мощности
2.7 Компенсация реактивной мощности на шинах 0,4 кВ цеховых
трансформаторных подстанций и уточнение их нагрузки
предприятия
2.9 Выбор трансформатора ГПП
2.10 Выбор сечения линии, питающей ГПП42
2.11 Схема внутризаводской распределительной сети 10 кВ
2.12 Расчёт токов короткого замыкания в сети выше 1000 В
2.13 Выбор оборудования ГПП
2.14 Электроснабжение ремонтно-механического цеха
2.15 Выбор аппаратов защиты цеховой сети
2.16 Выбор распределительных пунктов (ПР) 67
2.17 Выбор сечений линий питающей сети цеха
2.18 Расчет токов короткого замыкания в сети ниже 1000 В71
2.19 Расчет питающей и распределительной сети по условиям допустимой
потери напряжения. Построения эпюры отклонений напряжения76
2.20 Построение карты селективности действия аппаратов защиты85

3. СПЕЦИАЛЬНОЕ ЗАДАНИЕ	88
Выбор оптимально тарифа для электроснабжения завода	88
4.ФИНАНСОВЫЙ МЕНЕДЖМЕНТ, РЕСУРСОЭФФЕКТИВНОСТЬ И РЕСУРСОСБЕРЕЖЕНИЕ.	92
4.1 Оценка коммерческого потенциала и перспективности проведения научных исследований с позиции ресурсоэффективности и ресурсосбережения	92
4.2 SWOT-анализ работы ремонтно-механического цеха	95
4.3 Определение возможных альтернатив проведений научных исследований	99
4.4 Планирование научно-исследовательской разработки	101
4.4.1 Структура работы в рамках научного исследования	103
4.4.2 Определение трудоёмкости выполнения проектировочных работ	104
4.4.3 Разработка графика проведения научного исследования	104
4.5 Бюджет научно-технического исследования (НТИ)	108
4.5.1 Расчёт материальных затрат	108
4.5.2 Полная заработная плата исполнителей темы	109
4.5.3 Отчисления во внебюджетные фонды (страховые отчисления)	111
4.5.4 Накладные расходы	112
4.5.5 Формирование сметы технического проекта	112
4.6 Оценка конкурентоспособности и ресурсоэффективности проекта	113
ЗАКЛЮЧЕНИЕ	117
Литература	119
Приложение 1	121
Приложение 2	122
Приложение 3	123
Приложение 4	124
Приложение 5	125
Приложение 6	126
Приложение 7	127

Приложение 8	128
Приложение 9	129
Приложение 10	130
Приложение 11	131
Приложение 12.	132
Приложение 13	133
Приложение 14.	134
Приложение 15	135

РЕФЕРАТ

Выпускная квалификационная работа содержит в себе 151 страницу, 19 рисунков, 31 таблицу, 24 источника, 15 приложений.

Ключевые слова: электроснабжение цеха, однолинейная схема, картограмма нагрузок, расчетная нагрузка, компенсация реактивной мощности, выбор трансформаторов, выбор оборудования, ресурсосбережение, ресурсоэффективность, социальная ответственность.

Объектом исследования является завод по производству запасных деталей к тракторам, с детальной проработкой ремонтно-механического цеха.

Цель работы: составление оптимального проекта для внешнего и внутреннего электроснабжения завода по производству запасных деталей к тракторам.

В процессе исследования был произведен выбор метода расчета основываясь на исходных данных, последовательный расчет электрических нагрузок ремонтно-механического цеха и завода в целом, так же выбор необходимого оборудования и произведены его проверки при всевозможных его режимах работы.

В результате исследования была спроектирована полная система электроснабжения завода по производству запасных деталей к тракторам, обоснована ее техническая рациональность и безопасность для работников предприятия, также для окружающей предприятие среды.

Основные технолитические, конструктивные, и техникоэксплуатационные характеристики: представленное предприятие включает в себя двенадцать цехов. По степени надежности электроснабжения девять из цехов относятся к II категории; Для внутризаводской сети выбираем радиальную схему; рабочим напряжением внутри завода является напряжение 0,4 кВ; напряжение питающей линии соответствует 35 кВ.

Введение

В представленной выпускной квалификационной работе необходимо произвести расчет системы электроснабжения завода по производству запасных деталей к тракторам с подробным рассмотрением ремонтномеханического цеха предприятия. Цель выпускной квалификационной работы обучение основным дисциплинам по предусмотренному учебному плану и самостоятельное решение основных задач при проектировании системы электроснабжения предприятия промышленной отрасли.

В данном предприятии представлены нагрузки разных степеней надёжности электроснабжения. Преобладает II категория, также имеется и III категория.

Процесс выполнения выпускной работы включает следующие этапы:

- 1. Необходимо выбрать оптимальную схему электроснабжения ремонтномеханического цеха и рассчитать его нагрузки. Расчёт производится «методом упорядоченных диаграмм».
- 2. Нахождение расчетные нагрузки всего предприятия по расчетным нагрузкам цехов методом коэффициента спроса с учетом освещения всего предприятия.
- 3.По итогам расчёта нагрузок привести картограмму электрических нагрузок, так же определить ЦЭН, следовательно, и место расположения ГПП.
- 4. Произвести внутризаводское электроснабжение. Необходимо выбрать число и мощности цеховых трансформаторных подстанций, так же кабельные линии для их питания, рассчитать потери.
- 6. Привести компенсацию реактивной мощности в нескольких вариантах и выбрать рациональный.
- 5. Выбрать оптимальное напряжения, которое питает сети предприятия, мощности трансформаторов главной понизительной подстанции, также сечения проводов питающей сети. В заключении расчёта привести схему для внешнего электроснабжения завода.

- 6. Произвести расчёт токов КЗ в сети высокого напряжения (выше 1кВ) с целью подбора защитных аппаратов для цеховых ТП и для проверки сечений проводников, питающих цеховые ТП на термическую стойкость.
- 7. Произвести проектирование сети до 1000 В. То есть распределить электроприемники в распределительные пункты и произвести их выбор. Также для электроприемников выбрать кабельные линии. Далее следует рассчитать токи короткого замыкания в сети ниже 1000 В, по итогам выбирать аппараты защиты. Провести построения эпюр ⊙тклонения напряжения. Построение проводим от главной понизительной подстанции до самого удаленного ЭП. Селективная карта защитных аппаратов изображается по итогам расчёта.

«Финансовый менеджмент, ресурсоэффективность и ресурсосбережение» оценку раздел, который предполагает приведенного проекта экономической точки зрения. Кроме того, рассматривается два варианта технического решения с экономическим обоснованием. Помимо этого, в рассмотрению данном разделе подлежат вопросы, связанные c распределением всех работ исполнителей дипломной работы и определена экономическая, финансовая и ресурсная эффективности исследования.

В разделе «Социальная ответственность» включена в себя оценка условий труда на рабочем месте, анализ вредных и опасных факторов при работе за компьютером при выполнении проекта, пожарной безопасности на рабочем месте и рассмотрение чрезвычайных ситуаций.

1. ОБЪЕКТ ИССЛЕДОВАНИЯ

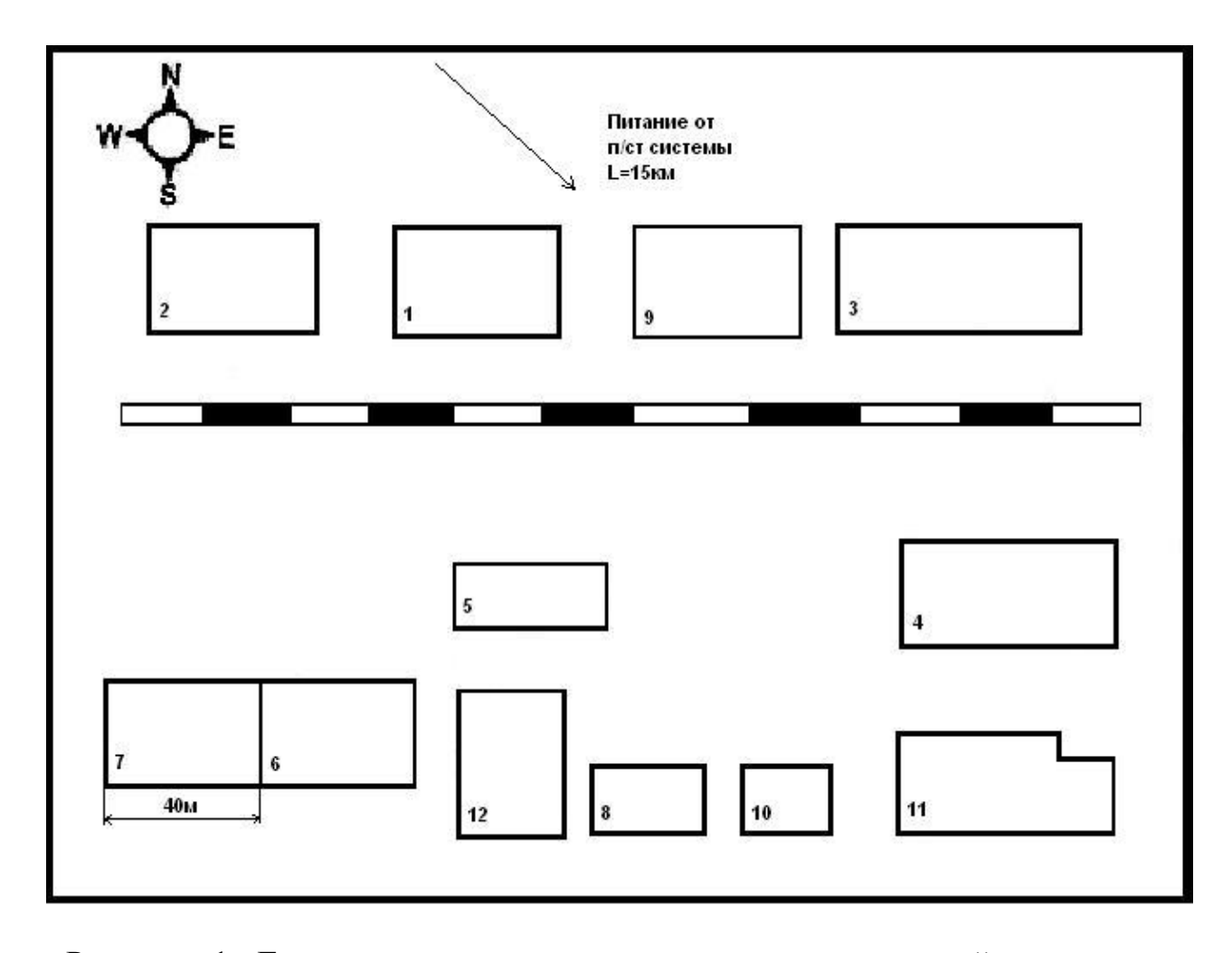
1.1 Объектом исследования является завод по производству запасных деталей к тракторам и его цех

Исходные данные

Сведения об электрических нагрузках завода по производству запасных деталей к тракторам

Таблица 2 – Исходные данные электрических нагрузках цехов предприятия

N на	Наименование цеха	Установленная
плане		мощность, кВт
1	Механический	900
2	Термический	1200
3	Заготовочный	250
4	Инструментальный	1490
5	Кузнечный	480
6	Котельная	600
7	Электроцех	360
8	Экспериментальный	370
	Компрессорная	
9	10 кВ (СД)	1800
	0,38 кВ	60
10	Насосная	
	10кВ	1600
	0,38кВ	350
11	Лаборатория	150
12	Ремонтно-механический	-



Рисуонок 1 - Генплан завода по производству запасных деталей к тракторам

Таблица 2 – Исходные данные электрических нагрузках ремонтномеханического цеха

N на	Наименование электроприемника	Ки	cosφ	Рн,
плане	Transfero Barrie Street Portpressiona	TCH .	созф	кВт
1,2	Шлифовальный полуавтомат	0,25	0,65	21
3-7	Поперечно-строгальный станок	0,14	0,6	10
8,9	Универсально заточный станок	0,14	0,6	3
10,11	Вертикально-фрезерный станок	0,14	0,6	12
12-15	Токарно-винторезный станок	0,14	0,6	4,5
16,17	Плоскошлифовальный станок	0,14	0,6	9,8
18,19	Гальваническая ванна	0,55	0,95	1,7
20	Гидравлический пресс	0,65	0,8	7
21-23	Горизонтально-фрезерный станок	0,14	0,6	3
24	Плоскошлифовальный станок	0,14	0,6	28
25-27	Радиально-сверлильный станок	0,14	0,6	7
28	Вентилятор	0,65	0,8	55
29	Кран-балка ПВ=25%	0,06	0,5	25

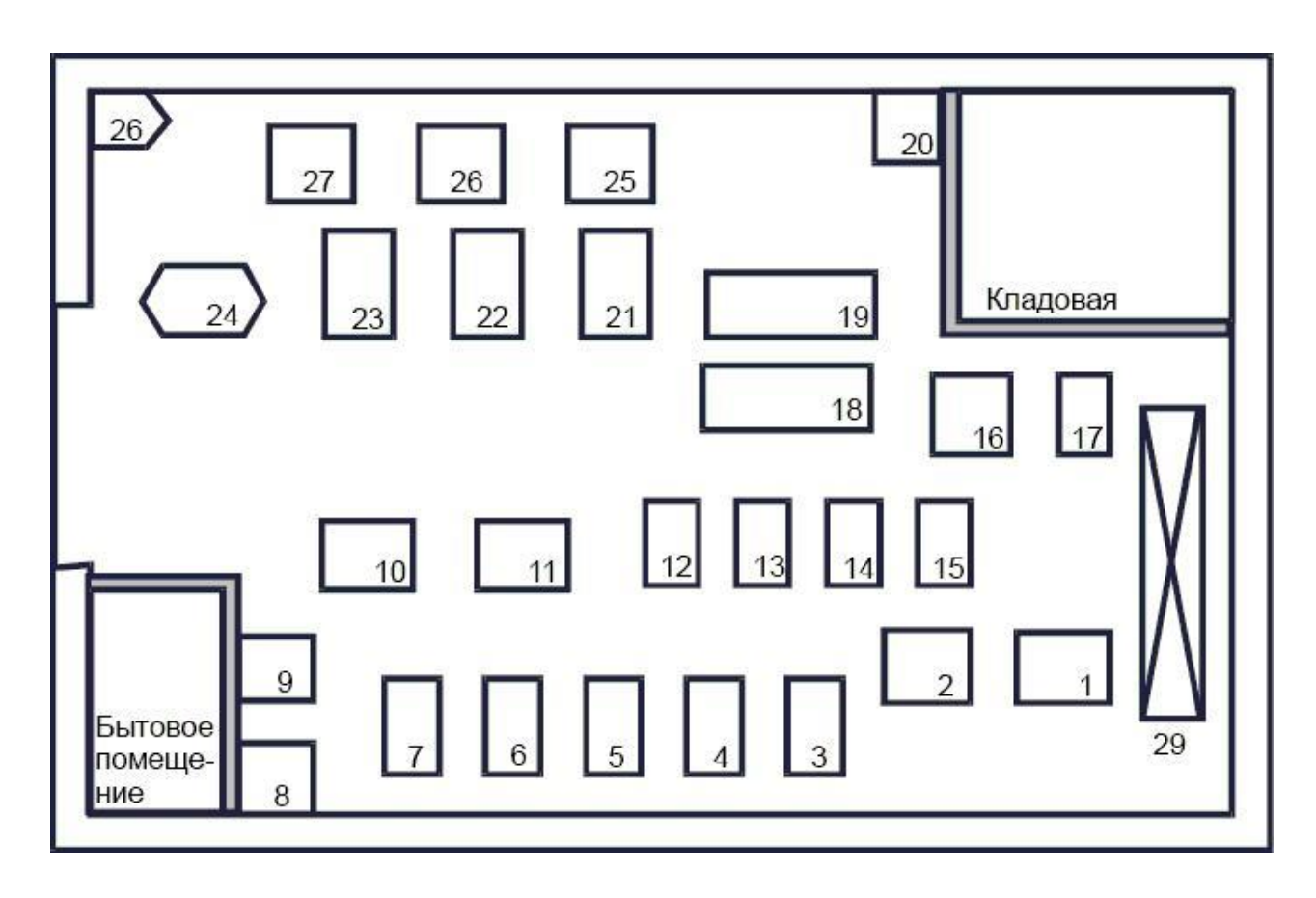


Рисунок 2– Генплан ремонтно-механического цеха

2.РАСЧЁТ И АНАЛИТИКА

В состав завода входят различные цеха, каждый выполняет свою роль, поставленную администрацией предприятия в соответствии с технологическим процессом. Основная масса электроприемников предприятия это электроприемники переменного тока с номинальным напряжением $U_{\rm H}=0.4~\kappa B$. Так же на заводе присутствует электроприемники переменного тока с номинальным напряжением $U_{\rm H}=6~\kappa B$, расположенные в Компрессионной и Насосной (Цеха №9 и 10). В соответствии с технологическим процессом завода по производству запасных деталей к тракторам.

В представленном предприятии преобладают электрические нагрузки в зависимости от надёжности электроснабжения второй и третьей категории. Все цеха завода по производству запасных деталей к тракторам в зависимости от категории надёжности электроснабжения записаны в таблице 3.

Таблица 1 – Цеха завода с указанием категории степеней надежности электроснабжения

№ на плане	Наименование цеха	Категория по степени надежности электроснабжения
1	Механический	II
2	Термический	II
3	Заготовочный	II
4	Инструментальный	III
5	Кузнечный	II
6	Котельная	II
7	Электроцех	II
8	Экспериментальный	III
9	Компрессорная	II
10	Насосная	II
11	Лаборатория	III
12	Ремонтно-механический	II

2.1 Выбор рациональной схемы электроснабжения ремонтномеханического цеха

В предложенной выпускной квалификационной работе для детального расчета системы электроснабжения цеха предоставлен ремонтно-механический цех.

Среда цеха характеризуется как нормальная, этому соответствуют следующие критерии:

- 1) Согласно ПУЭ 1.1.6., относительная влажность воздуха не должна превышать 60 %.
- 2) В соответствии с ПУЭ 1.1.10., температура воздуха в цехе не превышает 35°C
- 3) ПУЭ 1.1.11. гласит, что технологическая пыль не имеется.
- 4) Пары, жидкости и газы, имеющие агрессивное воздействие не не используются, в соответствии с ПУЭ 1.1.11

По степени надежности электроснабжения в представленном ремонтно-механическом цехе присутствуют приёмники первой категории, но преобладают приёмники относящиеся к второй категории.

Принимая во внимание вышеперечисленные факторы выбираем радиальную схему электроснабжения цеха. Схема электроснабжения ремонтномеханического цеха приведена в *ПРИЛОЖЕНИИ* 1.

2.2 Определение расчетной электрической нагрузки ремонтномеханического цеха

Нагрузки ремонтно-механического цеха рассчитываем «методом упорядоченных диаграмм». Расчёт включает в себя определение расчётной нагрузки для каждого узла питания (цеховой трансформаторной подстанции, распределительного пункта, шинопровода), а также в целом по цеху.

Расчет проводится в несколько этапов:

Средняя активная нагрузка по самой загруженной смене для всех групп электроприемников рассчитывается по следующей формуле:

$$P_{CM} = P_{HOM} \cdot K_{H}$$
, κBT ;

в формуле, $P_{\text{ном}}$ - сумма активных номинальных нагрузок всех электроприемников расчётной группы;

К_и - коэффициент использования для активной мощности.

Средняя реактивная нагрузка по самой загруженной смене для всех групп электроприемников рассчитывается по следующей формуле:

$$Q_{cM} = P_{cM} \cdot tg\varphi, \ \kappa Bap;$$

где $tg\,\phi$ - тангенс, который определяется исходя из соответствующего значения коэффициента мощности.

Определение коэффициента использования (средневзвешенного):

$$K_{u.p} = \frac{\sum P_{cm}}{\sum P_{uom}};$$

Где в соответствии с формулой $\Sigma P_{\scriptscriptstyle HOM}-$ сумма установленной номинальной мощности расчётной группы электроприемников;

 $\sum P_{c_{M}}$ - сумма усреднённой активной нагрузки электроприемника за самую нагруженную смену.

Находим коэффициент максимума активной мощности для расчётной группы электроприемников. Коэффициент максимума находим в зависимости от кривых, которые связаны с средневзвешенным коэффициентом использования $K_{u.cp}$ и эффективным числом электроприемников n_3 расчётной группы:

$$n_{9} = \frac{\left(\sum_{h} P_{H}\right)^{2}}{\sum_{h} n \cdot p_{H}^{2}}.$$

Расчетную максимальную активную мощность $P_{\scriptscriptstyle M}$ и расчётную максимальную реактивную мощность $Q_{\scriptscriptstyle M}$ группы электроприемников определяем исходя из выражений:

$$P_p=K_{_{\mathit{K.M}}}\cdot P_{_{\mathit{CM}}},\ \kappa B m$$
 $Q_p=Q_{_{\mathit{CM}}},\ \kappa B a p,\ \mathrm{пр}\ n_{_9}{>}10$ $Q_p=1,1\cdot Q_{_{\mathit{CM}}},\ \kappa B a p,\ \mathrm{пр}\ n_{_3}{\leq}10$

Расчётный ток группы ЭП определяется по по формуле:

$$I_p = \frac{S_p}{\sqrt{3} \cdot U_{uou}}, \ A.$$

Определим нагрузки для ПР2 в ремонтно-механическом цехе:

Для шлифовального полуавтомата:

$$\begin{split} P_{_{\rm H}} = p_{_{\rm H}} \cdot n = 2 \cdot 21 = 42 \text{ кBT;} \\ P_{_{\rm CM}} = P_{_{\rm H}} \cdot \kappa_{_{\rm H}} = 42 \cdot 0, 25 = 10, 5 \text{ кBT;} \\ Q_{_{\rm CM}} = tg \varphi \cdot P_{_{\rm CM}} = 1, 33 \cdot 10, 5 = 13, 97 \text{ кBap.} \end{split}$$

Для всех станков расчётной группы:

$$\begin{split} P_{_{\rm H}} &= p_{_{\rm H}} \cdot n = 10 \cdot 5 + 2 \cdot 3 = 56 \text{ кВт;} \\ P_{_{\rm CM}} &= P_{_{\rm H}} \cdot \kappa_{_{\rm H}} = 56 \cdot 0, 14 = 7,84 \text{ кВт;} \\ Q_{_{\rm CM}} &= tg \varphi \cdot P_{_{\rm CM}} = 1,33 \cdot 7,84 = 10,43 \text{ кВар.} \end{split}$$

Кран-балка ПВ=25%:

$$P_{_{\rm H}} = n \cdot P_{_{nacn}} \cdot \sqrt{\Pi B_{_{om.e\partial.}}} = 1 \cdot 25 \cdot \sqrt{0,25} = 12,5 \ \kappa Bm;$$

$$P_{_{\rm CM}} = P_{_{\rm H}} \cdot \kappa_{_{\rm H}} = 12,5 \cdot 0,06 = 0,75 \ \kappa B\mathrm{T};$$

$$Q_{_{\rm CM}} = \mathrm{tg} \varphi \cdot P_{_{\rm CM}} = 1,73 \cdot 0,75 = 1,3 \ \kappa \mathrm{Bap}.$$

Итак, для ПР2 определим общую расчётную нагрузку, как сумму всех активных и реактивных мощностей электроприемников группы:

$$\sum P_H = 42 + 56 + 12.5 = 110,5, \ \kappa Bm;$$

$$\sum P_{cm} = 10,5 + 7,84 + 0,75 = 19,09, \ \kappa Bm;$$

$$\sum Q_{cm} = 13,74 + 142,8 = 156,54, \ \kappa Bap;$$

Для группы электроприемников коэффициент использования (средневзвешенный) рассчитывается из выражения:

$$\kappa_{u.cp} = \frac{\sum P_{cm}}{\sum P_{H}} = \frac{19,09}{110,5} = 0,17.$$

Эффективное число ЭП определяется в соответствии с алгоритмом:

Если в группе A $n \ge 4$, $K_{\text{и.с.}} \le 0.2$ и m > 3, то эффективное число ЭП находится по алгоритму:

- 1. Наибольший ЭП по номинальной мощности: Шлифовальный полуавтомат
- 2. Крупные ЭП, мощность которых равна ли больше половины Шлифовального полуавтомата Кран-балка и Шлифовальный полуавтомат
- 3. Число ЭП, мощность которых равна ли больше половины Шлифовального полуавтомата: $n_1 = 3$ и их суммарная мощность $P_{\text{ном1}} = 43,5 \kappa Bm$

4.
$$n^* = \frac{n_1}{n} = \frac{3}{10} = 0.3$$
, $p^* = \frac{P_{HOM1}}{P_{HOM}} = \frac{43.5}{110.5} = 0.39$

5.По [2] определим $n_{9\phi}^* = 0.9$ и $n_{9\phi} = n_{9\phi}^* \cdot n = 0.9 \cdot 10 = 9$

По данным [2] найдем коэффициент максимума нагрузки K_{M} :

$$K_{M} = 2,1$$

Расчётная нагрузка цеха:

$$P_p = K_{M} \cdot \sum P_{CM} = 2,1 \cdot 19,09 = 40,09, \ \kappa Bm;$$

$$Q_P = \sum Q_{CM} \cdot 1,1 = 24,01 \cdot 1,1 = 26,41, \ \kappa Bap;$$

$$S_P = \sqrt{P_P^2 + Q_P^2} = \sqrt{40,09^2 + 26,41^2} = 43,95, \ \kappa BA;$$

Для ПР2 определяем значение расчётного тока:

$$I_P = \frac{S_P}{\sqrt{3} \cdot U} = \frac{43,95}{\sqrt{3} \cdot 0,38} = 66,85, A.$$

Результаты расчета всего цеха сведём в ПРИЛОЖЕНИЕ 2.

Итак, в ходе расчёта была определена общая мощность ремонтномеханического цеха и расчетный ток нагрузки цеха. Далее эти расчёты применяются для правильного выбора сечения линии, которые питают цех, так же для выбора защитных аппаратов цеха.

2.3 Определение полной расчётной нагрузки для завода в целом

Полностью расчетная нагрузка завода находится по нагрузкам всех цехов предприятия. Так же учитывается расчетная осветительная нагрузка цехов и завода в целом, потери в линиях электропередач высокого напряжения и потери мощности в главной понизительной подстанции и трансформаторных подстанциях цехов завода.

Нагрузку силовых приёмников цехов исходя из формул:

$$P_p = Kc \cdot P_H;$$

 $Q_p = P_p \cdot tg \varphi,$

Где $tg\varphi$ — тангенс, который определяется в соответствии коэффициентом мощности;

 K_c — коэффициент спроса. Коэффициент спроса определяется исходя из справочных данных[2];

 $P_{_{\rm H}}$ — суммарная установленная мощность всех приёмников цеха.

Приведем пример расчета нагрузок силовых приёмников механического цеха:

$$P_p = K_c \cdot P_{_H} = 0,7 \cdot 900 = 630 \ \kappa Bm;$$

 $Q_p = P_p \cdot tg\varphi = 630 \cdot 0.75 = 472.5 \ \kappa BAp.$

По результатам получаем таблицу 3 с нагрузками всех цехов завода.

Таблица 3 – Нагрузки цехов завода

№ по			Cı	іловая нагр	узка	
ген. плану	Наименование цеха	Рн,кВт	Kc	cosф/tgф	Рр, кВт	Qp, кВар
1	2	3	4	5	6	7
	Потребители з	лектроэн	ергии	0,38 кВ		
1	Механический	900	0,7	0,8/0,75	630	472,5
2	Термический	1200	0,6	0,75/0,88	720	633,6
3	Заготовочный	250	0,7	0,8/0,75	175	131,25
4	Инструментальный	1490	0,7	0,8/0,75	1043	782,25
5	Кузнечный	480	0,7	0,8/0,75	336	252
6	Котельная	600	0,5	0,75/0,88	300	264
7	Электроцех	360	0,7	0,8/0,75	252	257,04
8	Экспериментальный	370	0,4	0,75/0,88	148	130,24
9	Компрессионная	60	0,75	0,8/0,75	45	33,75
10	Насосная	350	0,75	0,8/0,75	262,5	196,875
11	Лаборатория	150	0,4	0,75/0,88	60	52,8
12	Ремонтно-механический	244,3	0,7	0,8/0,75	184.7	163.4
	Итого по 0,38кВ:	-	-	1	3971,5	3206,31
Потребители электроэнергии 10 кВ						
1	Компрессионная	1800	0,75	0,8/0,75	1350	0
2	Насосная	1600	0,75	0,8/0,75	1200	0
Итого по 10кВ: 2550 (0	
	Итого по заводу:	-	-	-	6521,5	3206,31

У осветительных приемников расчетную нагрузку находим по установленной мощности цехов предприятия и коэффициенту спроса:

$$P_{po} = P_{\scriptscriptstyle HO} \cdot K_{\scriptscriptstyle CO},$$

 $P_{\text{но}}$ определяем согласно выражению:

$$P_{_{\!\scriptscriptstyle HO}}=P_{_{\!\scriptscriptstyle V\partial}}\cdot F,$$

Приводим пример расчета осветительной нагрузки силовых приёмников механического цеха:

$$P_{HO} = P_{VO} \cdot F = 16 \cdot 1201 = 19,22 \, \kappa Bm;$$

$$P_{po} = P_{HO} \cdot K_{co} = 19,22 \cdot 0,85 = 16,33 \text{ } \kappa Bm.$$

Находим полную расчетную нагрузку механического цеха завода:

$$S_p = \sqrt{(P_p + P_{p.o.})^2 + (Q_p + Q_{p.o.})^2} = 800.63 \text{ kBA}$$

В результаты расчетов силовых и осветительных нагрузок всех цехов завода получаем *ПРИЛОЖЕНИЕ 3*.

Определим из выражений суммарные расчетные активные и реактивные мощности, которые отнесены к шинам 6-10 кВ главной понизительной подстанции:

$$\begin{split} P_{p\sum} &= (\sum P_{p}^{H} + \sum P_{p}^{g}) \cdot K_{p,M(a)} + P_{po} + \Delta P_{T} + \Delta P_{JI} ; \\ Q_{p\sum} &= (\sum Q_{p}^{H} + \sum Q_{p}^{g}) \cdot K_{p,M(p)} + Q_{po} + \Delta Q_{T} , \end{split}$$

Согласно формулам, $K_{\rm pm}$ - коэффициент разновременности максимумов нагрузки групп электроприемников.

 $K_{\text{рм(p)}}$ принимаем равным 0.9 - для реактивной мощности;

 $K_{\text{рм(a)}}$ принимаем равным 0.95 - для активной мощности.

Примерные потери мощности в цеховых трансформаторных подстанциях находим по формулам:

$$\Delta P_T = 0.02 \cdot S_p^H;$$

$$\Delta Q_T = 0.1 \cdot S_p^H;$$

$$\Delta P_T = 0.03 \cdot S_p^H.$$

Также определяем полную мощность завода на шинах 6-10 кВ главной понизительной подстанции:

$$S_{P\sum} = \sqrt{\left(P_{P\sum}\right)^2 + \left(Q_{P\sum}\right)^2} \ .$$

Пример расчёта при S_p^{μ} =5516,6 кВА:

$$\Delta P_T = 0.02 \cdot S_p^{\scriptscriptstyle H} = 0.02 \cdot 5516.57 = 110.33 \ \kappa Bm;$$

 $\Delta Q_T = 0.1 \cdot S_p^{\scriptscriptstyle H} = 0.1 \cdot 5516.57 = 551.66 \ \kappa Bap;$
 $\Delta P_T = 0.03 \cdot S_p^{\scriptscriptstyle H} = 0.03 \cdot 5516.57 = 165.49 \ \kappa Bm.$

Расчетные мощности, отнесенные к шинам 6-10 кВ главной понизительной подстанции при

$$\begin{split} &\sum P_p^{\scriptscriptstyle H} = 3971,5 \; \kappa Bm; \; \sum P_p^{\scriptscriptstyle g} = 2550 \; \kappa Bm; \; P_{po} = 191,97 \; \kappa Bm; \\ &\sum Q_p^{\scriptscriptstyle H} = 3206,31 \; \kappa Bap; \; \sum Q_p^{\scriptscriptstyle g} = 0 \; \kappa Bap; \; Q_{po} = 12,88 \; \kappa Bap. \end{split}$$

$$P_{p\sum} = (\sum P_p^{\scriptscriptstyle H} + \sum P_p^{\scriptscriptstyle g}) \cdot K_{p...(a)} + P_{po} + \Delta P_T + \Delta P_{\pi} = \\ = (3971,5 + 2550) \cdot 0,95 + 191,97 + 110,33 + 165,49 = 6663,22 \; \kappa Bm; \\ Q_{p\sum} = (\sum Q_p^{\scriptscriptstyle H} + \sum Q_p^{\scriptscriptstyle g}) \cdot K_{p...(p)} + Q_{po} + \Delta Q_T = \\ = (3206,31+0) \cdot 0,9 + 12,88 + 551,66 = 3450,2 \; \kappa Bap. \end{split}$$

Полная мощность предприятия на шинах 6-10 кВ главной понизительной подстанции:

$$S_{P\sum} = \sqrt{(P_{P\sum})^2 + (Q_{P\sum})^2} = \sqrt{6663,22^2 + 3450,2^2} = 7503,49 \text{ } \kappa BA.$$

На стороне высокого напряжения трансформаторов главной понизительной подстанции расчетная полная мощность будет равна:

$$S_{P_{TIIII}} = \sqrt{\left(P_{P\sum} + \Delta P_{T_{TIIII}}\right)^2 + \left(Q_{P\sum} + \Delta Q_{T_{TIIII}} - Q_{KY}\right)^2} \ .$$

Определяем в трансформаторах главной понизительной подстанции активные и реактивные потери по выражениям:

$$\Delta P_{T_{TTIII}} = 0.02 \cdot S_{P\sum} = 0.02 \cdot 7503, 49 = 150.1 \text{ } \kappa Bm;$$

 $\Delta Q_{T_{TTIII}} = 0.1 \cdot S_{P\sum} = 0.1 \cdot 7503, 49 = 750, 35 \text{ } \kappa Bap.$

В сети энергосистемы для 35кВ для режима наибольших активных нагрузок реактивная мощность находится как:

$$Q_C = \alpha \cdot P_{P\sum} = 0,24 \cdot 6663,22 = 1599,17 \text{ } \kappa Bap.$$

Мощность КУ определяется из выражения:

$$Q_{KV} = Q_{P\sum} - Q_{C} = 3450, 2 - 1599, 17 = 1851, 03 \ \kappa Bap.$$

$$S_{P_{TIIII}} = \sqrt{(P_{P\sum} + \Delta P_{T_{TIIII}})^{2} + (Q_{P\sum} + \Delta Q_{T_{TIIII}} - Q_{KV})^{2}} =$$

$$= \sqrt{(6663, 22 + 150, 1)^{2} + (3450, 2 + 750, 35 - 1851, 03)^{2}} = 7207, 05 \ \kappa BA.$$

3.4 Построение картограммы электрических нагрузок и определение условного центра

В центре электрических нагрузок (ЦЭН) целесообразно с точки зрения экономических соображений принимать к установке главную понизительную подстанцию (ГПП). Таким образом уменьшаются затраты металла и электроэнергии.

Картограмма нагрузок является генпланом предприятия, на котором изображены, ограниченные кругами, площади. Эти площади соответствуют расчётным нагрузкам цехов в масштабе.

$$r_i = \sqrt{\frac{P_{pi}}{\pi \cdot m}},$$

где P_{pi} – активная расчётная мощность с учётом освещения i – го цеха, кВА;

m — масштаб генплана для определения площади круга (электрических нагрузок), к $BA/мм^2$.

Принимаем, что нагрузка в цехах распределена равномерно. Таким образом, ЦЭН находится в центре тяжести фигуры, которая изображает цех в генплане.

В виде сектора круга изображается осветительная нагрузка. Угол сектора α определяем по отношению нагрузок P_{po} цехов к полным расчётным нагрузкам цеха - P_{pi} согласно формуле:

$$\alpha = \frac{360^{\circ} \cdot P_{po}}{P_{pi}}$$

На генплане завода по производству запасных деталей к тракторам изображаем оси абсцисс и ординат, затем определяем величины x_i и y_i для цехов завода. Координаты ЦЭН завода x_i и y_i находим согласно выражений соответсвенно:

$$x_o = rac{\sum P_{pi} \cdot x_i}{\sum P_{pi}}; \quad y_o = rac{\sum P_{pi} \cdot y_i}{\sum P_{pi}}.$$

Пример определения центра электрических нагрузок для цеха №1 завода по производству запасных деталей к тракторам:

Радиус окружности определяется как:

$$r_4 = \sqrt{\frac{P_{p1}}{\pi \cdot m}} = \sqrt{\frac{646,33}{3,14 \cdot 0,7}} = 17,15 \,\text{MM}.$$

Угол сектора осветительной нагрузки находим из выражения:

$$\alpha_4 = \frac{360^{\circ} \cdot P_{p.o}}{P_{p1}} = \frac{360^{\circ} \cdot 16,33}{646,33} = 9,09^{\circ}$$

Координаты ЦЭН завода рассчитываются согласно формулам:

$$X_0 = \frac{\sum (P_{pi} \cdot x_i)}{\sum P_{pi}} = \frac{1081634.9}{6888.48} = 157,02 \text{ m}; \ Y_0 = \frac{\sum (P_{pi} \cdot y_i)}{\sum P_{pi}} = \frac{627907.03}{6888.48} = 91,153 \text{ m}.$$

Для построения картограммы электрических нагрузок и определение местоположения ЦЭН рассчитанные данные сведены в таблицу 4. На генплане предприятия картограмма электрических нагрузок приведена в *ПРИЛОЖЕНИИ 4*.

Таблица 4 - Данные для определения центра электрических нагрузок (ЦЭН)

№ Цеха	Категор	Ррі, кВт	Ро, кВт	г,м	α, град	Хі,м	Үі,м	Ррі*X, кВ	Ррі*Y, кВ
1	2	3	4	6	7	8	9	10	11
1	II	646,3	16,3	17,1	9,09	109,8	150, 9	71025,5	97570, 5
2	II	735,2	15,2	18,2	7,45	47,73	150, 9	35091,8	110988
3	II	200,3	25,3	9,5	45,5 8	234,2	150, 9	46928,6	30247, 8
4	III	1063,5	20,5	21,9	6,94	246,4	75,4 8	262069	80273, 4
5	II	346,1	10,1	12,5	10,5 1	124,3	74,3 7	43028,1	25740, 0
6	II	313,2	13,2	11,9	15,1 8	74,37	39,9 6	23293,3	12515, 8
7	II	267,0	15,1	11,1	20,3	34,41	39,9 6	9190,77	10673, 1
8	III	155,6	7,6	8,4	17,7 8	154,2	24,4	24021,5	3801,9 6
9	II	61,3	16,3	5,2	95,8 7	173,1	150, 9	10620,5	9258,9
10	II	268,7	6,2	11,0 5	8,39	189,8	23,3	51014,6	6264,9 5
11	III	82,3	22,3	6,12	97,6 3	243,0	26,6	20012,9	2193,1 9
12	II	198,5	13,8	9,5	25,0 6	119,8	33,3	23799,1	6610,8 6
9 BH	II	1350	-	-	-	173,1	150, 9	233766	203796
10 BH	II	1200	-	1	-	189,8	23,3 1	227772	27972
Итого ∑(Рнн+Рвн)	-	6888,4	-	-	-	-	-	108163 5	627907

2.5 Определение количества, мощности и расположения цеховых трансформаторных подстанций с учетом компенсации реактивной мощности.

Устанавливая цеховые трансформаторов на промышленных предприятиях, их номинальную мощность определяют удельной плотностью нагрузки предприятия. Удельная плотность нагрузки определяется по формуле согласно [3, стр.37]:

$$\delta = \frac{S_p^{H}}{F_n} = \frac{5516,57}{60545} = 0,09 \, \kappa BA / M^2,$$

где F_u – площадь согласно генплану всех цехов завода, м²;

 S_p^{H} – полная расчетная мощность завода в сети напряжения до 1000В.

Согласно получившейся удельной плотности, самым рациональным вариантом будет выбор трансформаторов цеха с номинальной мощностью 630 кВА [1 стр.107].

Минимум трансформаторов, которые можно установить на предприятии находим в соответствии с выражением:

$$N_{\min} = \frac{\sum P_p}{\beta_m \cdot S_{n,mp}} = \frac{4348,17}{0,7 \cdot 630} \approx 10,$$

Согласно формуле β_m – коэффициент загрузки трансформаторов при нормальном режиме работы [1 стр.110]. Принимаем значение равное 0,7, так как на предприятии преобладают электроприемники второй категрии по надёжности электроснабжения.

 $S_{{\scriptscriptstyle H.mp}}$ – номинальная мощность одного трансформатора цеха, кВА;

 $\sum P_p$ сумма расчетных активных нагрузок, которые подведены к трансформаторам в сети ниже 1000 В, при это учитывается осветительная нагрузка.

На один трансформатор цеха приходится активная нагрузка, определяемая выражением:

$$P_1 = \frac{\sum P_p}{N} = \frac{4348,17}{10} = 434,8 \text{ KBT}.$$

В том или ином цехе необходимо установить число трансформаторов N_i , данная величина определяется как:

$$N_i = \frac{P_p + P_{p.o}}{P_1}$$

В таблице 5 сведены результаты расчетов числа трансформаторов, которые необходимо в цехах.

Таблица 5 – Необходимое количество трансформаторов в цехах, мощностью 630кBA

№ по ген. Плану	Наименование потребителя	Pp+Po	Nцтр
1	Механический	646,3336	1,48650782
2	Термический	735,2152	1,690927323
3	Заготовочный	200,369865	0,460832256
4	Инструментальный	1063,5088	2,445972401
5	Кузнечный	346,108	0,796016559
6	Котельная	313,209	0,720351886
7	Электроцех	267,096	0,614296228
8	Экспериментальный	155,6908	0,358074517
9	Компрессионная	61,3336	0,141061638
10	Насосная	268,76688	0,618139098
11	Лабораторня	82,3272	0,189344986
12	Ремонтно-механический	198,5244	0,456587856

Из таблицы 5 определяем, что двухтрансформаторная КТП с $S_{n,mp} = 630$ кВА обеспечивает надлежащий коэффициент загрузки для трансформаторов всех цехов предприятия. Принимаем минимальное число трансформаторов, но этого достаточно для обеспечения надёжного электроснабжения потребителей II категории.

2.6 Выбор количества трансформаторов с учетом компенсации реактивной мощности

Максимальную реактивную мощность, передаваемую из сети 10 кВ в сеть до 1 кВ с увеличением числа трансформаторов определяем в соответствии с формулой:

$$Q_{1} = Q_{1}^{630};$$

$$Q_{1}^{630} = \sqrt{(N_{\min} \cdot \beta_{m} \cdot S_{n.mp})^{2} - \sum P_{p}^{2}} = \sqrt{(10 \cdot 0, 7 \cdot 630)^{2} - 4348, 17^{2}} = 735,88 \text{ } \kappa Bap;$$

Максимальная реактивная мощность, которая в режиме максимальных активных нагрузок передается из сети энергосистемы для напряжения 34кВ определяется согласно формуле:

$$Q_C = \alpha \cdot P_{P\sum} = 0,24 \cdot 4348,17 = 1043,56 \text{ } \kappa Bap = 1,04 \text{ } MBap.$$

Анализируем баланс реактивной мощности на шинах главной понизительной подстанции:

$$Q_{p\Sigma} = 3450,2 \ \kappa Bap > Q_{C} = 1043,56 \ \kappa Bap.$$

Можно сделать вывод, что реактивной мощности, передаваемой из сети энергосистемы, для существующей на предприятии реактивной мощности недостаточно. В связи с этим необходимо установить дополнительные источники реактивной мощности. Для этих целей можно использовать батареи конденсаторов и/или синхронные двигатели, которые уже имеются на территории завода.

В цехе №9 установлен синхронный двигатель 10 кВ типа СТД-2000, который можно использовать для компенсации реактивной мощности. СД имеет следующие номинальные параметры:

 $U_{\text{ном}}$ =10 кВ, n=3000 об/мин, $Cos\varphi$ =0,9, $\eta_{\text{ном}}$ =0,96, коэффициент загрузки в номинальном режиме $\beta_{\text{сл}}$ =0,9, D1=5,37, D2=6,8.

Максимальная реактивная мощность, которую возможно получить с синхронного двигателя в режиме его номинальной загрузки рассчитывается согласно выражению:

$$Q_{C\!A} = \frac{\alpha_{_M} \cdot P_{_{\!H\!O\!M}} \cdot tg\, \phi_{_{\!H\!O\!M}}}{\eta_{_{\!H\!O\!M}}} = \frac{1,23 \cdot 2000 \cdot 0,484}{0,96} = 1240,25 \;\; \kappa Bap = 1,24 \;\; MBap.$$

Производим анализ баланса реактивной мощности для узлов А и Б:

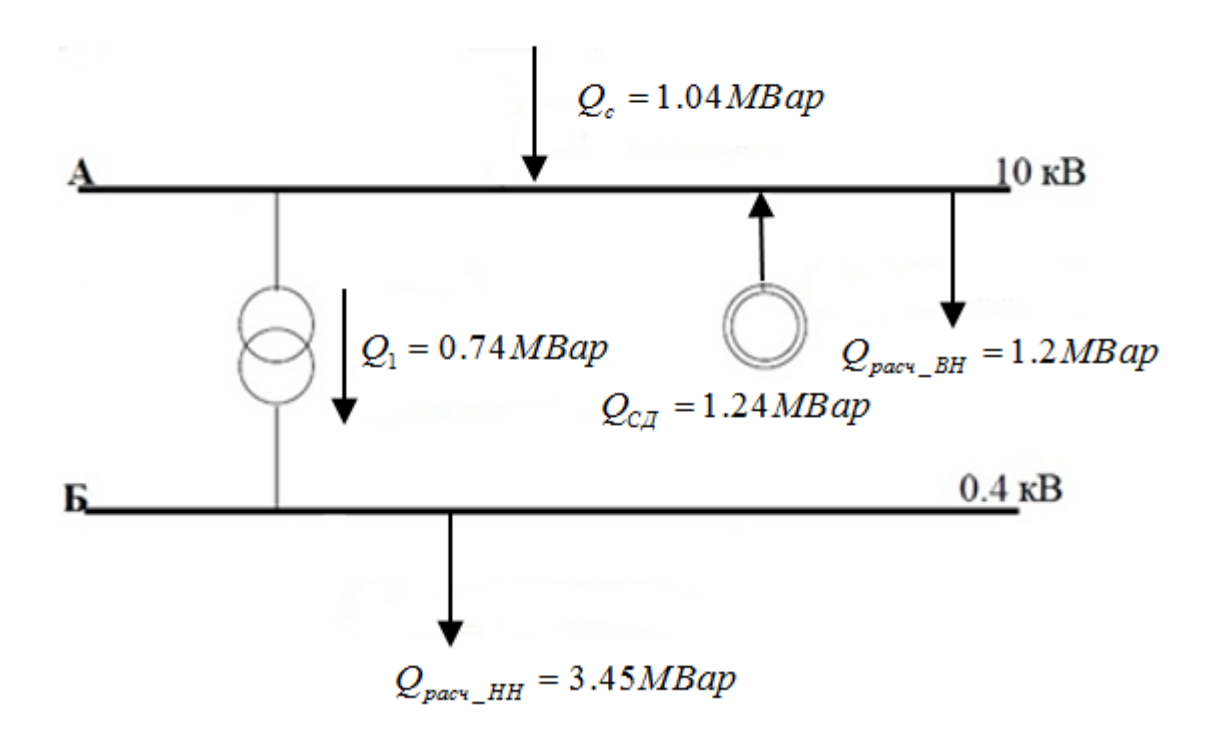


Рисунок 3 – Баланс реактивной мощности для узлов А и Б

$$Q_C + Q_{CJI} = 2,28MBap < Q_1 + Q_{pac_{-}BH} = 1,94MBap$$

Рассмотрим несколько вариантов установки батарей конденсаоров на сторонах высокого и низкого напряжения.

<u>Рассмотрим первый вариант для компенсации реактивной мощности предприятия:</u>

$$Q_C=1,04\ MBap,$$
 $Q_1=0,74\ MBap,$ $Q_{P\sum}=3,45MBap,$ $Q_{P\sum}=3,45MBap,$ $Q_{pac^q_BH}=1,2MBap,$ $Q_{CZ}=Q_{pac^q_BH}+Q_1-Q_C=1,2+0,74-1,04=0,9\ MBap,$ тогда $Q_{EK_HH}=Q_{P\sum}-Q_1=3,45-0,74=2,75\ MBap.$

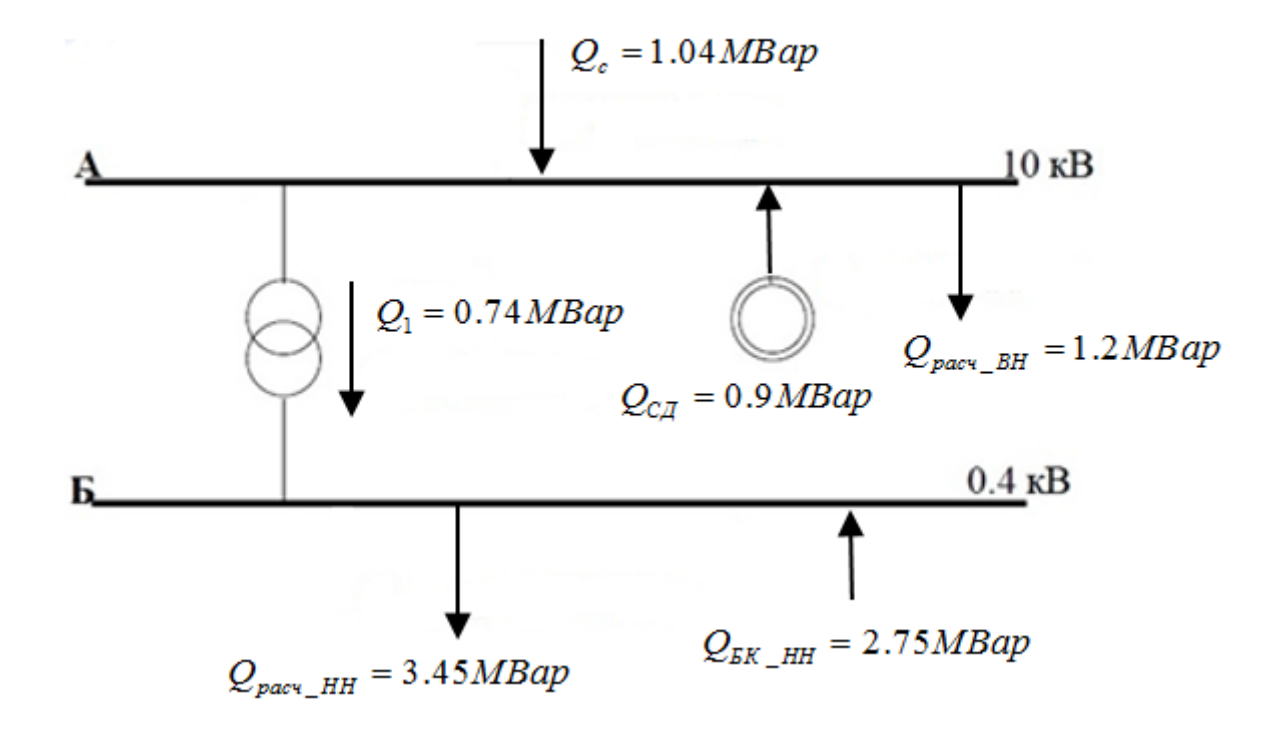


Рисунок 4 — Баланс реактивной мощности в узлах A и Б для первого варианта К установке принимаем 27 конденсаторную батарею **УКБН-0,38-100-50У3**, которые имеют суммарную установленную мощность 2700 кВар.

 $\Delta P_{\text{БK}} = 4,5 \text{ кВт/МВар, } K_y = 10,5 \text{ у.е./кВар, определено согласно справочным данным[1].}$

 Γ де $\Delta P_{\text{БК}}$ - удельные потери активной мощности в батареях конденсаторов; $K_{\text{У}}-$ удельная стоимость батарей, у.е./кВар.

Рассчитаем затраты на их установку:

$$3_{EK}^{1}_{HH} = 3_0 + 3_1 \cdot Q_{EK}_{HH} + 3_2 \cdot Q_{EK}_{HH}^{2}, y.e.$$

Q — реактивная мощность для проектированной электроустановки, которая генерируется источником генерируемая для проектируемой, кВар;

 3_0 – составляющая постоянных затрат, которая не зависит от генерируемой мощности, у.е./кВар;

 3_1 – затраты удельные на 1 кВар генерируемой мощности, у.е./кВар;

 3_2 – затраты удельные на 1 кBар² генерируемой мощности, у.е./кBар²;

Для батарей конденсаторов на стороне низкого напряжения:

$$3_0 = 0 \text{ и } 3_2 = 0,$$

$$3_1 = E \cdot K_V \cdot (\frac{U_{EK}^{\circ}}{U^{\circ}}) + C_0 \cdot \Delta P_{EK} = 0,223 \cdot 10,5 \cdot (\frac{1}{1}) + 85 \cdot 4,5 \cdot 10^{-3} = 2,725 \ y.e. / \kappa Bap$$

Е – сумма ежегодных отчислений от величины капитальных вложений.

Можно принять: E = 0.223.

 U° - относительная величина напряжения сети в месте, где устанавливаются батареи конденсаторов;

 $U_{\it bK}^{\circ}$ - отношение номинального напряжения батарей конденсаторов к номинальному напряжению электрической сети;

Согласно справочным данным [1] для конденсаторных батарей напряжением до 1 кВ - $U_{\rm FK}^{\circ}$ принимается равным единице.

А для конденсаторных батарей напряжением 6-10 кВ - U_{bK}° принимается равным 1,05.

 $C_0 = 85$ у.е../кВт - удельная стоимость потерь активной мощности [1, стр.113].

$$3^{1}_{BK_HH} = 3_{1} \cdot Q_{BK_HH} = 2,725 \cdot 2750 = 7493,75 \text{ y.e.}$$

Находим величину удельных затрат при передаче реактивной мощности, которая генерируется синхронным двигателем в сеть 0,4 кВ.

Реактивную мощность, которую можно снять с синхронного двигателя находим из выражения:

 $Q_{CII} = 900 \ \kappa Bap;$

$$Q_{\rm CJ \; hom} = P_{\rm HOM} \cdot tg \, \phi_{\rm hom} = 2000 \cdot 0,484 = 968 \; \kappa Bap.$$

 3_0 =0 – так как двигатели используются в технологическом процессе.

$$3_1 = C_0 \cdot \frac{D_1}{Q_{CILHOM}} = 85 \cdot \frac{5,37}{968} = 0,472 \text{ y.e./ } \kappa Bap;$$

$$3_2 = C_0 \cdot \frac{D_2}{Q_{CII \text{ HOM}}^2} = 85 \cdot \frac{6.8}{968^2} = 0,0006 \text{ y.e./} \kappa Bap.$$

 D_1 , D_2 — неизменные коэффициенты, которые определяются техническими параметрами синхронного двигателя.

Суммарные приведенные затраты на генерацию реактивной мощности СД:

$$3_{C/I}^{1} = 3_{1} \cdot Q_{C/I} + 3_{2} \cdot {Q_{C/I}}^{2} = 0,472 \cdot 900 + 0,0006 \cdot 900^{2} = 910,8$$
 y.e.

Так как при первом варианте устанавливаем минимальное число цеховых трансформаторов, то затраты на установку комплектной трансформаторной подстанции не учитываются.

Находим по первому варианту установки конденсаторных батарей общие приведенные затраты:

$$3^{1} = 3^{1}_{EK} + 3^{1}_{CZ} = 7493,75 + 910,8 = 8404,55$$
 y.e.

<u>Рассмотрим второй вариант для компенсации реактивной мощности предприятия:</u>

Число установленных цеховых трансформаторов увеличиваем на один. Теперь на предприятии установлено 11 цеховых трансформаторов.

Определяем по следующим формулам величину затрат на установку одной комплектной трансформаторной подстанции, которая имеет мощность 630 кВА:

$$3^{2}_{TP} = E \cdot K_{TP} = 0,223 \cdot 11600 = 2586,8$$
 y.e.

 $K_{\text{тр}} = 11600 \text{ у.е.} - \text{стоимость КТП, определяется согласно справочным данным [3].}$

$$\begin{split} Q_{\mathrm{l}} &= \sqrt{(N_{\mathrm{min}} \cdot \beta_{m} \cdot S_{\scriptscriptstyle{H.mp}})^{2}} - \sum P_{p}^{\; 2} = \sqrt{(11 \cdot 0, 7 \cdot 630)^{2} - 4348, 17^{2}} = 2,15 \; \textit{MBap}, \\ Q_{C} &= 1,04 \; \textit{MBap}; \\ Q_{C\mathcal{I}} &= 1,24 \; \textit{MBap}; \\ Q_{\textit{pac4_BH}} &= 1,2 \; \textit{MBap}, \\ Q_{\textit{pac4_HH}} &= 3,45 \; \textit{MBap}, \\ \text{тогда} \; Q_{\textit{bK_BH}} &= Q_{\mathrm{l}} + Q_{\textit{pac4_BH}} - Q_{\mathrm{C}} + Q_{\textit{CA}} = 3,35 - 2,28 = 1,07 \; \textit{MBap}; \\ Q_{\textit{bK_HH}} &= Q_{\textit{p}\sum} - Q_{\mathrm{l}} = 3,45 - 2,15 = 1,3 \; \textit{MBap}. \end{split}$$

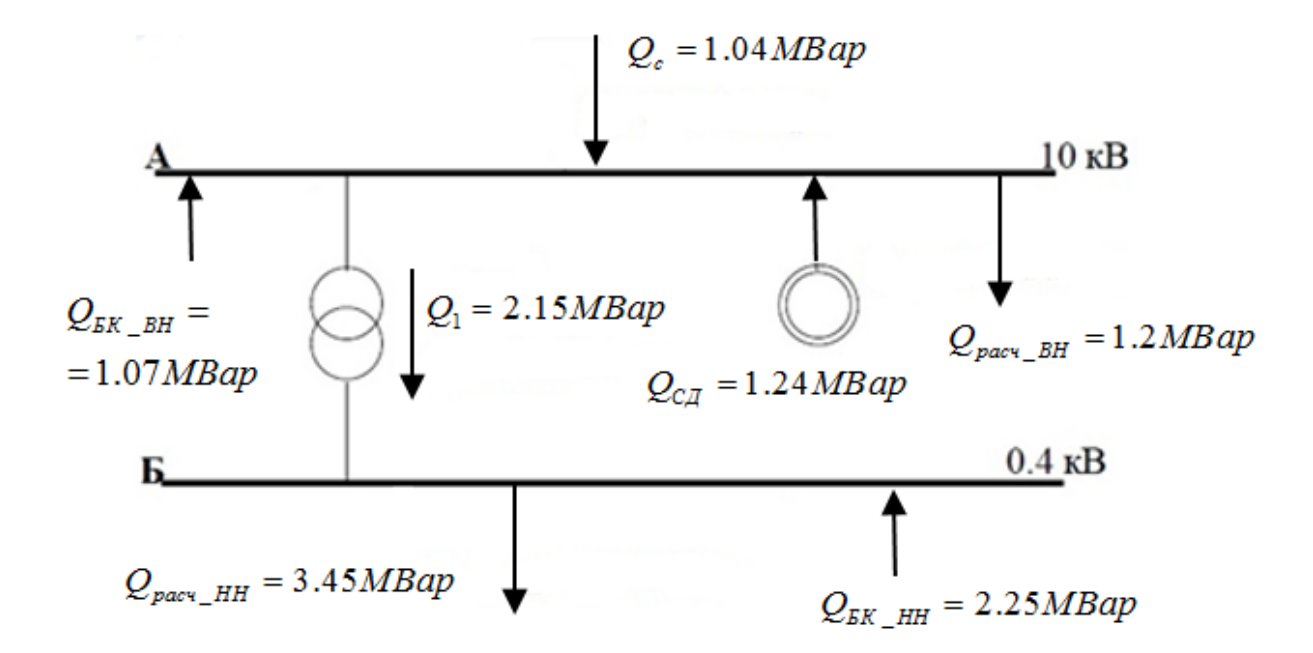


Рисунок 5 — Баланс реактивной мощности в уздах A и Б при установке батарей конденсаторов на сторонах низкого и высокого напряжения

Для компенсации реактивной мощности устанавливаем конденсаторные батареи **УК-6,3-900ЛУ3** в количестве 8 штук. Установленная суммарная мощность составит 900 кВар.

 $\Delta P_{\text{БK}} = 2,5 \text{ кВт/МВар, } K_{\text{y}} = 3,7 \text{ у.е./кВар, согласно справочным данным [1].}$

Найдём затраты на установку конденсаторных батарей согласно следующим выражениям:

$$3^2_{\mathit{БK_BH}} = 3_0 + 3_1 \cdot Q_{\mathit{БK_BH}} + 3_2 \cdot Q_{\mathit{БK_BH}}^2$$
, y.e.
Для БК_ВН $3_2 = 0$,
$$3_0 = E \cdot (K_{\mathit{qq.}} + 2 \cdot K_{\mathit{mp.hanp.}}) = 0,223 \cdot (1900 + 2 \cdot 800) = 781 \ \mathit{y.e.}$$

 $K_{\text{яч}} = 1900 \text{ у.е.} - \text{стоимость выключателя};$

 $K_{\text{тр.напр.}} = 800$ у.е. – стоимость трансформатора напряжения, согласно справочной литературе [3].

$$\begin{split} & \boldsymbol{3}_{1} = \boldsymbol{E} \cdot \boldsymbol{K}_{\boldsymbol{y}} \cdot (\frac{\boldsymbol{U}_{\boldsymbol{B}\boldsymbol{K}}^{\circ}}{\boldsymbol{U}^{\circ}}) + \boldsymbol{C}_{0} \cdot \Delta P_{\boldsymbol{B}\boldsymbol{K}} = 0,223 \cdot 3,7 \cdot (\frac{1,05}{1}) + 85 \cdot 2,5 \cdot 10^{-3} = 1,08 \ \boldsymbol{y.e.} / \ \kappa \boldsymbol{Bap} \\ & \boldsymbol{3}^{2}_{\boldsymbol{B}\boldsymbol{K}-\boldsymbol{B}\boldsymbol{H}} = \boldsymbol{3}_{0} + \boldsymbol{3}_{1} \cdot \boldsymbol{Q}_{\boldsymbol{B}\boldsymbol{K}-\boldsymbol{B}\boldsymbol{H}} = 781 + 1,08 \cdot 1070 = 1936,6 \ \boldsymbol{y.e.} \end{split}$$

Для компенсации реактивной мощности устанавливаем конденсаторные батареи типа **УКБТ-0,38-150УЗ** в количестве 18 штук, их суммарная установленная мощность составит 1800 кВар.

 $\Delta P_{\text{БK}} = 4,\!5~\kappa\text{Bt/MBap},\, K_y = 8~y.e./\kappa\text{Bap},$ согласно справочной литературе [3]/

Рассчитаем затраты на их установку согласно формулам:

Далее следует найти удельные затраты при передаче реактивной мощности, которую генерирует синхронный двигатель в сеть 0,4 кВ.

Максимальная реактивная мощность, которую можно снять с синхронного двигателя определяется из выражения:

$$Q^{2}_{CJI} = 1240 \ \kappa Bap;$$
 $Q_{CJI, HOM} = P_{HOM} \cdot tg \varphi_{HOM} = 2000 \cdot 0,484 = 968 \ \kappa Bap.$

 3_0 принимаем равные нулю, так как двигатель задействован в технологическом процессе предприятия.

$$3_1 = C_0 \cdot \frac{D_1}{Q_{CJI \text{ HOM}}} = 85 \cdot \frac{5,37}{968} = 0,472 \text{ y.e./ } \kappa Bap;$$

$$3_2 = C_0 \cdot \frac{D_2}{Q_{CII,HOM}^2} = 85 \cdot \frac{6.8}{968^2} = 0,0006 \text{ y.e./} \kappa Bap.$$

Суммарные приведенные затраты на генерацию реактивной мощности синхронным двигателем определяются по выражению:

$$3_{CZ}^2 = 3_1 \cdot Q_{CZ} + 3_2 \cdot Q_{CZ}^2 = 0,472 \cdot 1240 + 0,0006 \cdot 1240^2 = 1507,84$$
 y.e.

В итоге определяем приведённые общие затраты по второму варианту установки конденсаторных батарей:

$$3^2 = 3^2_{EK_6H} + 3^2_{CZ} + 3^2_{EK_HH} + 3^2_{TP} = 1936, 6 + 1507, 84 + 2817, 1 + 2586, 8 = 8848, 34$$
 y.e.

<u>Рассмотрим третий вариант для компенсации реактивной мощности</u> предприятия

Число установленных цеховых трансформаторов увеличиваем на два. Теперь на предприятии установлено 12 цеховых трансформаторов.

$$Q_1 = \sqrt{(N_{\min} \cdot \beta_m \cdot S_{\mu.mp})^2 - \sum_{p} P_p^2} = \sqrt{(12 \cdot 0, 7 \cdot 630)^2 - 4348, 17^2} = 3,02 \text{ MBap};$$

Затраты на установку двух трансформаторных подстанции мощностью по

630 kBA:
$$3^2_{TP} = 2 \cdot E \cdot K_{TP} = 0,223 \cdot 11600 = 5172$$
 y.e.

Передаваемая мощность Q1 все равно меньше расчетной $Q_{\text{расч.НН}}$, т.е. все равно нужны БК на стороне НН. Смысла в дальнейших расчетах нет.

Выбираем вариант 1 по технико-экономическим причинам. Далее трансформаторы следует равномерно распределить по цехам завода.

Таблица 6 – Цеховые трансформаторы с учётом распределения по цехам завода

№ п/п	Наименование пункта питания	Потребители электроэнергии	Месторасположение пунктов питания	<i>P</i> _p , кВт	Количество и мощность трансформаторов
1	ТП-1	Цех № 4, № 3, №9	на генплане Цех № 4	445,21	1xTM-630/10
2	ТП-1.1	Цех № 4	Цех № 4	880	2xTM-630/10
3	ТП-2	Цеха, № 8, №10, №11, №12	Цех № 10	705,31	2xTM-630/10
4	ТП-3	Цех № 5, № 6, №7	Цех №6	926,41	2xTM-630/10
5	ТП-4.1	Цеха №1, №2	Цех № 2	940,55	2xTM-630/10
6	ТП-4.2	Цех № 1	Цех № 1	441	1xTM-630/10

Во всех цехах производим установку трансформаторов марки ТМ. Нагрузки цехов, которые расположены рядом — объединяем. Запитываем трансформаторы согласно радиальной схеме.

Приводим структурную схему электроснабжения завода в *ПРИЛОЖЕНИИ 5*. Цеховые трансформаторные подстанции имеют следующие параметры, которые приведены в таблице 7.

Таблица 7 – Параметры цеховых ТП, установленных на предприятии

Тип трансформатора	Ѕном, кВА	Uно обм к, к ВН	ото З	Uĸ,%	Ркз, кВт	Рхх, кВт	Ix,%	Схема и группа соединения обмоток
TM-630/10	630	10	0,4	5,5	8,5	1,56	2	Ү-Үн - 11

На генплане завода по производству запасных деталей к тракторам располагаем цеховые ТП. План из расположения приведён в *ПРИЛОЖЕНИИ* 6.

2.7 Компенсация реактивной мощности на шинах 0,4 кВ цеховых трансформаторных подстанций и уточнение их нагрузки

В трансформаторах и линиях необходимо снизить потери. Для этого будем компенсировать реактивную мощности на напряжении 0,4 кВ вблизи ЭП. Присоединение конденсаторных батарей ведётся к СШ низкого напряжения ТП.

Рассчитываем максимально возможную реактивную мощность, которая передаётся через трансформаторы ТП в сеть напряжением до 1кВ. При заданном β , реактивная мощность определяется соотношением:

$$Q_{\text{max}} = \sqrt{(n \cdot \beta \cdot S_{\text{\tiny H.M}})^2 - \sum_{p} P_p^2} ,$$

где n — число трансформаторов на трансформаторной подстанции;

 β — коэффициент загрузки трансформаторов в нормальном режиме. Принимаем равным 0,7, так как цеха преимущественно имеют вторую категорию надёжности;

 $s_{n,m}$ — номинальная мощность установленных на трансформаторных подстанциях трансформаторов;

 $\sum P_p$ – активная расчётная нагрузка на шинах 0,4кВ трансформаторных подстанций.

Рассчитаем коэффициент загрузки для трансформаторов ТП-1.1 после

проведения мероприятий для компенсации реактивной мощности. Расчёт для остальных трансформаторных подстанций приведен в *ПРИЛОЖЕНИИ* 7.

$$Q_{\phi} = \sum Q_{P} - \sum Q_{EK} = 322,38 - 300 = 22,38 \kappa Bap$$

$$\beta_{1} = \frac{S_{\phi}}{n_{mp} \cdot S_{mp}} = \frac{\sqrt{(P_{P})^{2} + (Q_{\phi})^{2}}}{1.630} = \frac{\sqrt{(420)^{2} + (22,38)^{2}}}{1.630} = 0,67$$

Рассчитываем потери активной и реактивной мощности в трансформаторах в соответствии с выражениями:

$$\begin{split} & \Delta P_{mp} = \Delta P_{xx.mp} \cdot n + \Delta P_{x3.mp} \cdot n \cdot (\beta_{mp})^2; \\ & \Delta Q_{mp} = \Delta Q_{xx.mp} \cdot n + \Delta Q_{x3.mp} \cdot n \cdot (\beta_{mp})^2; \quad \Delta Q_{x3.mp} = \frac{U_{x3} \cdot S_{y.mp}}{100}; \quad \Delta Q_{xx.mp} = \frac{I_{xx} \cdot S_{y.mp}}{100}. \end{split}$$

Итоговые результаты расчёта потерь мощности в трансформаторах приводим в таблице 8.

Таблица 8 – Общие потери мощности в трансформаторах цеховых трансформаторных подстанциях завода

№ TΠ	Запитанные	$S_{\text{hom t}}$			ΔP_{Tp} ,	ΔQ_{xx} ,	ΔQ_{κ_3} ,	ΔQ_{Tp} ,	ΔS_{rp} ,
JV2 111	цеха	кВА	Ντр	β_{rp}	кВт	кВАр	кВАр	кВАр	кВА
TΠ1.1	1	630	1	0,67	5,375	12,6	34,65	28,154	28,663
TΠ1.2	1,2	630	2	0,77	13,19	12,6	34,65	66,288	67,589
ТП2	8,10,11,12	630	2	0,56	8,451	12,6	34,65	46,932	47,687
ТП3	5,6,7	630	2	0,71	11,69	12,6	34,65	60,134	61,26
TΠ4.1	4	630	2	0,7	11,45	12,6	34,65	59,157	60,255
TΠ4.2	3,4,9	630	1	0,71	5,844	12,6	34,65	30,067	30,63
			10		56,01			290,73	296,08

2.8 Выбор рационального напряжения внешнего электроснабжения предприятия

Чтобы выбрать рациональное напряжение следует учесть следующие экономические факторы. Если номинальное напряжение больше, то растут и капиталовложения на сооружение энергосистемы, однако в энергосистеме падают потери на в передаче электроэнергии, и как следствие

эксплуатационное издержки снижаются. Для внешнего электроснабжения завода напряжение сетей имеет зависимость от мощности завода и его удалённости от источника питания, так же зависит от перспективы развития сетей в районе, котором находится предприятие. Ко всему прочему напряжение определяется техническими условиями энергосистемы на подключение.

По экономически целесообразному пути (формуле Илларионова) определяем напряжение линии, которая питает ГПП:

$$U = \frac{1000}{\sqrt{\frac{500}{L} + \frac{2500}{P}}} = \frac{1000}{\sqrt{\frac{500}{15} + \frac{2500}{3,45}}} = 36 \text{ kB},$$

где P – передаваемая мощность, которая имеет значение расчетной нагрузки предприятия, отнесенной к шинам ВН ГПП, МВт;

L – расстояние от источника питания до предприятия, км.

35 кВ — самое близкое значение номинального напряжения линии, питающей главную понизительную подстанцию. Напряжение внешнего электроснабжения завода принимаем равным U=35 кB.

2.9 Выбор трансформатора ГПП

Электроснабжение завода по производству запасных деталей к тракторам осуществляется от ПС энергосистемы. Электроснабжение осуществляется по двум воздушным линиям электропередач, которая имеет напряжение 35 кВ. Применяем дополнительный источник питания, который выполняет функцию резервирования. Таким образом, в схеме внешнего электроснабжения на стороне 35 кВ применим 4H, которая состоит из двух блоков с неавтоматической перемычкой со ВЛ и выключателями.

Главную понизительную подстанцию будем размещать в центре электрических нагрузок. На стороне напряжения 10 (кВ) принимаем обходную систему шин, секционированную выключателем (вакуумным).

На ГПП следует определить полную мощность трансформатора:

$$S_{\text{\tiny H.MP.}} = \frac{S_{p.\Gamma\Pi\Pi}}{N_{mp} \cdot \beta_{m}},$$

где $S_{p.\Gamma\Pi\Pi}$ — расчётная полная мощность завода на стороне высокого напряжения трансформаторов главной понизительной подстанции;

 β_m - коэффициент загрузки трансформаторов главной понизительной подстанции, принимается равным 0,7, так как на предприятии преобладают нагрузки второй категории по степени надёжности электроснабжения [1].

Число трансформаторов на главной понизительной подстанции равно двум.

$$S_{\mu,mp.} = \frac{S_{p.\Gamma\Pi\Pi\Pi}}{2 \cdot \beta_{m}} = \frac{7202,05}{2 \cdot 0,7} = 5144,32 \text{ } \kappa BA,$$

Получившееся значение расчётной полной мощности трансформатора следует округлить до ближайшего значения в большую сторону. К установке принимаем трансформатор типа ТМН-6300/35, согласно [3 стр.615]. Технические паспортные данные трансформатора ТМН-6300/35 приведём в таблице 9.

 Таблица 9 - Технические данные трансформатора главной понизительной подстанции

	Ѕном,			Ркз,	Pxx,	
Тип тр-ра	κBA	<i>Uном</i> обмоток, кВ	Uκ,%	кВт	кВт	Ix,%
TMH-6300/35	6300	35/11	7,5	46,5	8	0,8

Следует учитывать, коэффициент загрузки трансформаторов ГПП принимается равным 0,7 в нормальном режиме работы. В послеаварийном режиме любой из трансформаторов с учетом допустимой перегрузки (до 40 %) полностью обеспечивает необходимую мощность для работы завода, исходя из $S_{p,\Gamma\Pi\Pi} = 7207,05 \ \kappa BA < 1,4 \cdot S_{n,mp} = 1,4 \cdot 6300 = 8820 \ \kappa BA$.

2.10 Выбор сечения линии, питающей ГПП

Сечение провода линии, которая питает трансформаторы ГПП будем выбирать по экономической плотности тока. К установке принимаем воздушные линии электропередач. Линии электропередач выполняются двухцепными проводом марки АС.

Расчетный ток приходящийся на одну линию в нормальном режиме равен:

$$I_p = \frac{S_{p\Gamma\Pi\Pi}^{BH}}{2\sqrt{3} \cdot U_{\mu}} = \frac{7207,05}{2\sqrt{3} \cdot 35} = 59,44 \text{ A}.$$

В послеаварийном или ремонтном режиме:

$$I_{p.\text{MAKC}} = \frac{S_{p.\Gamma\Pi\Pi\Pi}}{\sqrt{3} \cdot U_{\mu}} = \frac{7207,05}{\sqrt{3} \cdot 35} = 118,89 \text{ A}.$$

В приведенном случае $3000 < {\rm T_M} < 5000$ часов. Следовательно для неизолированной линии, выполненной из алюминия согласно [1, табл. 6.1] принимаем экономическую плотность тока $j_{9 \kappa} = 1, 1~{\rm A/mm^2}$

Определяем экономически целесообразное сечение проводов из выражения:

$$F_{9K} = \frac{I_p}{j_{9K}} = \frac{59,44}{1,1} = 54,04 \text{ mm}^2$$

Выбираем самое близкое из стандартных сечений и в качестве воздушной линии электропередач принимаем провода марки AC - 70. Допустимый длительный ток для данного провода равен $I_{\partial on}$ =265 A.

Сечение необходимо подвергнуть проверкам:

■ По допустимой токовой нагрузке и перегрузочной способности (для ремонтного и послеаварийного режима, при отключении одной из линий).

$$\begin{split} &I_{\text{pacy}} \leq I_{\text{доп}};\\ &1, 3 \cdot I_{\text{доп}} \geq I_{\text{pacy}}. \end{split}$$

где 1,3 – коэффициент допустимой перегрузки линии, определяется согласно справочным данным [1].

$$59,44~A \leq 265~A,~yсловие~yспешно~выполняется.$$

$$1,3\cdot I_{_{DOI}}=1,3\cdot 265=344,5~A>I_{_{PMax}}=118,89~A~,~yсловие~yспешно~выполняется.$$

■ На условие механической прочности:

В соответствии с условием, на воздушных линиях выше 1000В допустимо применение провода с сечением не менее 25 мм² из сталеалюминия.

$$F_{pacy} = 70 \; \mathrm{mm}^2 \geq F_{\mathrm{min}} = 25 \; \mathrm{mm}^2$$
, условие успешно выполняется.

• По допустимой потере напряжения:

$$L_{\partial on} = l_{\Delta U \ 1\%} \ \cdot \Delta U_{\partial on\%} \cdot k_{3} \geq L;,$$

гле $l_{\Delta U\,1\%}$ - длина линии электропередач при полной нагрузке на 1 % потери напряжения, км;

$$\Delta U_{\text{доп\%}}$$
 - допустимая потеря напряжения, %, ($\Delta U_{\text{доп\%}} = 5\%$, $\Delta U_{\text{доп.ав\%}} = 10\%$);
$$k_{\text{3}} = \frac{I_{\text{доп}}}{I_{p}}$$
 - значения коэффициента загрузки линии;
$$L - \text{длина линии (фактическая), км;}$$

L – длина линии (фактическая), км;

 L_{don} - длина линии (допустимая), км;

Длину линии электропередач принимаем $l_{\Delta U1\%} = 1,65$ км при полной нагрузке. Расчёт для нормального режима:

$$L_{\partial on} = l_{\Delta U \ 1\%} \ \cdot \Delta U_{\partial on\%} \cdot k_{_3} = 1,65 \cdot 5 \cdot \frac{265}{59,44} = 36,78 \text{ km}.$$

 L_{don} =36,78 км > L=10 км, условие выполняется.

Расчёт для послеаварийного режима:

$$L_{\partial on} = l_{\Delta U \ 1\%} \cdot \Delta U_{\partial on\%} \cdot k_{_3} = 1,65 \cdot 10 \cdot \frac{265}{118,89} = 36,78 \text{ km}.$$

 L_{don} =36,78 км > L=10 км, условие выполняется.

• Проверку на предмет коронирования не проводим, так как линия имеет напряжение 35кВ.

В итоге получаем, что АС – 70/11 - двухцепная воздушная ЛЭП, которая питает подстанцию энергосистемы напряжением 35кВ, что осуществляет электроснабжение завода по производству запасных деталей к тракторам. Воздушные линии имеют исполнении на двухцепных опорах с металлической конструкцией.

2.11 Схема внутризаводской распределительной сети 10 кВ

Для кабельной линии в сетях выше 1000 В сечения жил предпочтительно выбирать ПО экономической плотности тока, используя следующее выражение:

$$F_{_{\mathfrak{I}_{K}}}=\frac{I_{p}}{j_{_{\mathfrak{I}_{K}}}};$$

Из выражения, I_p – расчетный ток кабельной линии, A;

 j_{9K} — экономическая плотность тока, которая нормируется согласно ПУЭ (таблица 1.3.36), А/мм².

Рассчитанное значение сечения жил кабельной линии округляем до ближайшего из стандартных. Далее для данного сечения находим допустимый длительный ток, согласно ПУЭ (из таблиц 1.3.4 – 1.3.22).

<u>Принятые сечения кабельных линий необходимо проверить согласно следующим техническим факторам:</u>

1) По нагреву. Появляется от длительного выделения тепла на кабеле от рабочего тока;

 $I_{\text{доп}}$ - длительно допустимый ток кабеля, который соответствует сечению кабеля, выбранный экономической плотности тока. Длительно допустимый ток должен обеспечивать прохождение по кабельной линии максимального расчетного тока по тепловому нагреву определяется согласно выражению:

$$I_{\partial on} \ge \frac{I_p}{K_1 \cdot K_2};$$

где K_1 , K_2 — коэффициенты, которые учитывают влияние от температуры окружающей среды и влияние проложенных рядом кабельных линий, соответственно.

 K_1 определяем из ПУЭ (таблица 1.3.3).

 K_2 определяем из ПУЭ (таблица 1.3.12 и 1.3.26).

В послеаварийных режимах при наличии перегрузок сечение жил линий кабельных линии выбирают согласно условию:

$$K_{nep} \cdot I_{\partial on} \ge \frac{I_{n.ae}}{K_1 \cdot K_2};$$

Из условия: $I_{\text{п.ав.}}$ – расчетный ток кабельной линии для послеаварийного режима работы;

 $K_{\text{пер}}$ – кратность перегрузки. Принимается согласно ПУЭ (таблицы 1.3.1 и 1.3.2).

2) Фактор термической стойкости - по нагреву от кратковременного выделения тепла током короткого замыкания.

Данная проверка проводников кабельных линии на термическую стойкость при коротких замыканиях заключается в определении температуры нагрева проводников к моменту отключения КЗ и сравнении предельно допустимой температуры нагрева при коротких замыканиях с этой температурой. Кабельная линия проходит условие термической стойкости в том случае, если температура нагрева проводника к моменту отключения КЗ не превышает его предельно допустимую температуру нагрева.

Проверяем сечения кабеля на термическую стойкость к токам КЗ при помощи следующего выражения:

$$F_{\min} \ge \frac{\sqrt{B_k}}{C_T}, \text{ MM}^2$$

Из выражения: C_T – коэффициент, который зависит материала проводника и от допустимой температуры при КЗ [2];

Bk – тепловой импульс тока короткого замыкания, A^2 ·с.

Тепловой импульс тока короткого замыкания определяется из выражения:

$$B_k = I_{\Pi 0}^2 (t_{np} + T_a)$$

где, I_{n0} - начальное действующее значение периодической составляющей тока K3:

 $t_{\text{пр}}$ — расчётное приведенное время отключения тока короткого замыкания;

 T_a — постоянная времени затухания апериодической составляющей тока короткого замыкания.

Приведенное время отключения тока короткого замыкания определяется из формулы:

$$t_{np} = t_{p.s.} + t_{om\kappa n};$$

В формуле: $t_{\rm p.s.}$ – время срабатывания релейной защиты, с;

 $t_{\text{откл}}$ – время полного отключения выключателя, с.

 $t_{\rm p.3.}$ - время действия релейной защиты находим согласно формуле:

$$t_{p.3.} = t_{p.3.\min} + \Delta t_c;$$

где $t_{\text{р.3.min}}$ - минимальное время срабатывания первой ступени защиты, которое принимается равным 0.01 секунды[4];

 Δt_c - ступень селективности, которая принимается в зависимости от числа ступеней распределения электрической энергии по территории завода.

Постоянная затухания апериодической составляющей тока короткого замыкания определяется следующим образом:

$$T_a = \frac{x_{\Sigma}}{\omega \cdot r_{\Sigma}};$$

где r_{Σ} , x_{Σ} — результирующие активное и индуктивное сопротивления схемы относительно точки короткого замыкания, соответственно;

Из трех найденных сечений (по экономической плотности тока, термической стойкости и нагреву длительным током) принимаем самое большое.

3) Проводится проверка выбранного сечения на значение потери напряжения в соответствии с формулой:

$$\Delta U_{\kappa\pi} = \frac{P \cdot r_0 \cdot l + Q \cdot x_0 \cdot l}{10 \cdot U_H^2};$$

где l – длинна кабельной линии, км;

 $P,\ Q$ — активная и реактивная мощности, которые передаются по кабельной линии;

 r_0 , x_0 — погонные сопротивления кабельной линии, активное и реактивное, соответственно, Ом/км.

Приемлемыми считают относительные потери напряжения в том случае если, они не превышают в высоковольтных сетях — 10% для послеаварийного режима работы.

В качестве примера рассмотрим выбор сечения КЛ-1 проходящей от главной понизительной подстанции до ТП-1.

Расчетный ток кабельной линии рассчитывается исходя из нормального режима работы электроустановки. При его определении увеличение тока при аварийных ситуациях учитывать не следует.

Значение расчётного тока кабельной линии, которая питает цеховые трансформаторы, высоковольтных электрических двигателей принимается их номинальный ток. Фактическая нагрузка не влияет на значение расчётного тока.

Расчетный ток кабельных линий, питающих цеховые трансформаторы, определяется исходя их формулы:

$$I_p = \frac{n_{mp.} \cdot S_{HOM.mp.}}{n_{mu.} \cdot \sqrt{3} \cdot U_{u}}, A;$$

где $S_{\text{ном.тр}}$ — номинальная полная мощность трансформатора цеха, кВА; $n_{\text{тр}}$ — количество трансформаторов.

Определяем расчетный ток кабельной линии как:

$$I_{p} = \frac{n_{mp.} \cdot S_{HOM.mp.}}{n_{muh.} \cdot \sqrt{3} \cdot U_{H}} = \frac{2 \cdot 630}{2 \cdot \sqrt{3} \cdot 10} = 36,42, A;$$

Экономически выгодное сечение для кабелей высокого напряжения с бумажной изоляцией и алюминиевыми жилами при $T_{\rm M}$ =3000-5000 часов принимаем равным $j_{\rm SK}$ =1,4 A/мм² согласно [1, табл. 6.1].

$$F_{_{9K}} = \frac{I_p}{I_{_{DM}}} = \frac{31,42}{1,4} = 26,01 \text{ MM}^2;$$

Ближайшее стандартное значение сечения кабельной линии: $F=35 \text{ мм}^2$, $I_{\partial on}=105 A$ в соответствии с [6, табл.6].

1) Проводим проверку по нагреву от длительного выделения рабочим током тепла:

 $K_I = 1$ - в соответствии с ПУЭ (таблица 1.3.3), $K_2 = 0.9$ – согласно таблице 1.3.26.

$$I_{oon} = 105 \text{A} \ge \frac{I_p}{K_1 \cdot K_2} = \frac{36,42}{1 \cdot 0,9} = 40,46 \text{ A};$$

Условие успешно выполняется.

2) Проверка по нагреву от длительного выделения тепла для послеаварийного режима с перегрузкой:

 K_{nep} = 1,3 - в соответствии с ПУЭ (таблица 1.3.2).

$$I_{n.a6} = 2 \cdot I_p = 2 \cdot 36,42 = 72,83, A;$$

$$K_{nep} \cdot I_{\partial on} = 1, 3 \cdot 105 = 136, 5 \text{ A} \ge \frac{I_{n.as}}{K_1 \cdot K_2} = \frac{72,83}{1 \cdot 0,9} = 80,92 \text{ A};$$

Условие успешно выполняется.

Производим предварительный выбор кабеля марки ААШв – 2(3x35), прокладка кабеля в кабельном канале.

Результаты предварительного выбора КЛ сведем в ПРИЛОЖЕНИЕ 8.

2.12. Расчёт токов короткого замыкания в сети выше 1000 В

Необходимость нахождения токов короткого замыкания заключается в том, чтобы правильно подобрать токоведущие части электрических установок и всех электрических аппаратов. Необходимо определить наибольший ток КЗ, который проходит через электрические аппараты и токоведущие части, чтобы исключить их разрушение.

Первым этапом расчёта токов короткого замыкания является составление упрощенной однолинейной схемы электроустановки. В данной схеме необходимо учитывать все трансформаторы, источники питания, воздушные и кабельные линии электропередач. Источниками питания являются — генераторы ТЭЦ, подстанции энергосистемы.

Будем проводить расчёт токов короткого замыкания для участка распределительной сети 10 кВ ГПП –ТП-1.1. Составляем расчётную схему и схему замещения, которая приведена ниже для данного участка.

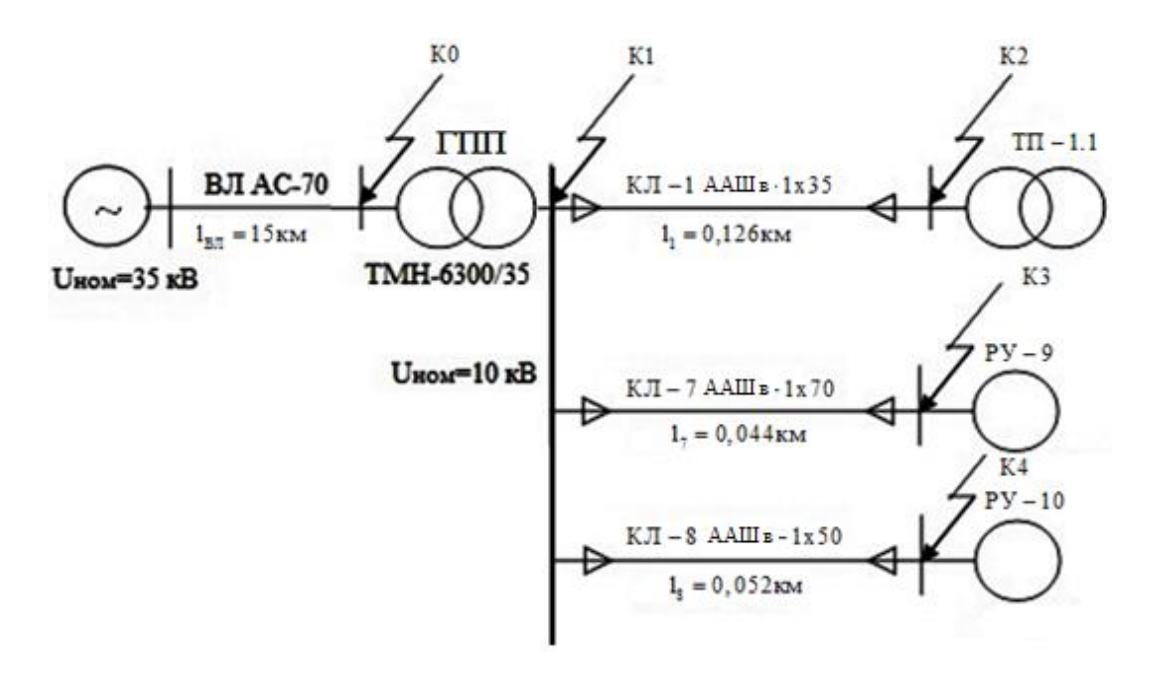


Рисунок 7 — Расчетная однолинейная схема сети для расчёта токов короткого замыкания

Расчет токов короткого замыкания будем производить в относительных единицах. Расчётные данные приводим к базисной мощности и базисному напряжению. Базисное напряжение на 5% превышает номинальное.

Принимаем $U_{61} = 37$ κB , $U_{62} = 10,5$ κB исходя из стандартного ряда базисных напряжений, согласно[1, стр.147].

Принимаем $S_6 = 100 \text{ MBA}$ за значение базисной мощности.

Будем принимать $S_c = \infty$ за мощность источника электроэнергии. $x_c = 0$ - индуктивное сопротивление источника.

1. Для воздушной линии 35 кВ сопротивления определяются следующим образом:

$$r_{en} = \frac{r_0 \cdot l \cdot S_{\delta}}{U_{\delta 1}^2} = \frac{0.422 \cdot 15 \cdot 100}{37^2} = 0.462 \text{ o.e.}$$

$$x_{GR} = \frac{x_0 \cdot l \cdot S_{\delta}}{U_{\delta 1}^2} = \frac{0,432 \cdot 15 \cdot 100}{37^2} = 0,473 \text{ o.e.}$$

где: l = 10 км - длина воздушной линии электропередач;

 U_{61} - напряжение ступени трансформации (базисное), кВ;

 r_o = 0,422 Ом/км - активное сопротивление провода марки AC-70, определяем из [2, табл.1.6];

 x_0 = 0,432 Ом/км - индуктивное сопротивление провода марки AC-70, определяем из [2, табл.1.6];

2. Для трансформатора ТМН-6300/35 кВА определяем сопротивление как:

$$x_{mp} = \frac{U_{\kappa_3}}{100} \cdot \frac{S_{\delta}}{S_{\mu,mp}} = \frac{7.5}{100} \cdot \frac{100}{6.3} = 1,19 \text{ o.e.}$$

В связи с тем, что трансформатор имеет большую мощность, то активным сопротивлением можно пренебречь.

S_{н.тр.} - номинальная мощность трансформатора, равная 6,3, MBA;

 U_{κ_3} — Напряжение короткого замыкания трансформатора, равное =7,5%;

3. Для кабельной линии КЛ-1 сопротивления соответственно равны:

$$r_{KII-1} = \frac{r_0 \cdot l \cdot S_{\delta}}{U_{\delta 1}^2} = \frac{0.84 \cdot 0.126 \cdot 100}{10.5^2} = 0.096 \text{ o.e.}$$

$$x_{KJI-1} = \frac{x_0 \cdot l \cdot S_{\delta}}{U_{\delta 1}^2} = \frac{0,095 \cdot 0,126 \cdot 100}{10,5^2} = 0,011 \text{ o.e.}$$

где: l = 0,126 км - длина кабельной линии электропередач;

 U_{62} - напряжение данной ступени трансформации (базисное), кВ;

r_o= 0,84 Ом/км - активное сопротивление провода ААШв 3х35;

 x_0 = 0,095 Ом/км - индуктивное сопротивление провода ААШв 3х35.

4. Для кабельной линии КЛ-7 определяем сопротивления:

$$r_{KII-7} = \frac{r_0 \cdot l \cdot S_{\delta}}{U_{\delta 1}^2} = \frac{0,42 \cdot 0,044 \cdot 100}{10,5^2} = 0,017 \text{ o.e.}$$

$$x_{KJI-7} = \frac{x_0 \cdot l \cdot S_{\delta}}{U_{\delta 1}^2} = \frac{0,086 \cdot 0,044 \cdot 100}{10,5^2} = 0,003 \text{ o.e.}$$

где: l = 0,044 км - длина кабельной линии электропередач;

 U_{62} - напряжение данной ступени трансформации (базисное), кВ;

r_o= 0,42 Ом/км - активное сопротивление провода ААШв 3х70;

 x_0 = 0,086 Ом/км - индуктивное сопротивление провода ААШв 3x70.

5. Для кабельной линии КЛ-8 сопротивления определяются как:

$$r_{KII-8} = \frac{r_0 \cdot l \cdot S_{\delta}}{U_{\delta 1}^2} = \frac{0,59 \cdot 0,052 \cdot 100}{10,5^2} = 0,028 \text{ o.e.}$$

$$x_{KII-8} = \frac{x_0 \cdot l \cdot S_6}{U_{61}^2} = \frac{0,09 \cdot 0,052 \cdot 100}{10,5^2} = 0,004 \text{ o.e.}$$

где: l = 0.052 км - длина кабельной линии электропередач;

 U_{62} - напряжение данной ступени трансформации (базисное), кВ;

r_o= 0,59 Ом/км - активное сопротивление провода ААШв 3х50;

х_о= 0,09 Ом/км - индуктивное сопротивление провода ААШв 3х50.

Составляем схему замещения согласно расчётной схеме. На схеме указываем точки для расчётов токов короткого замыкания и рассчитанные выше сопротивления всех элементов схемы.

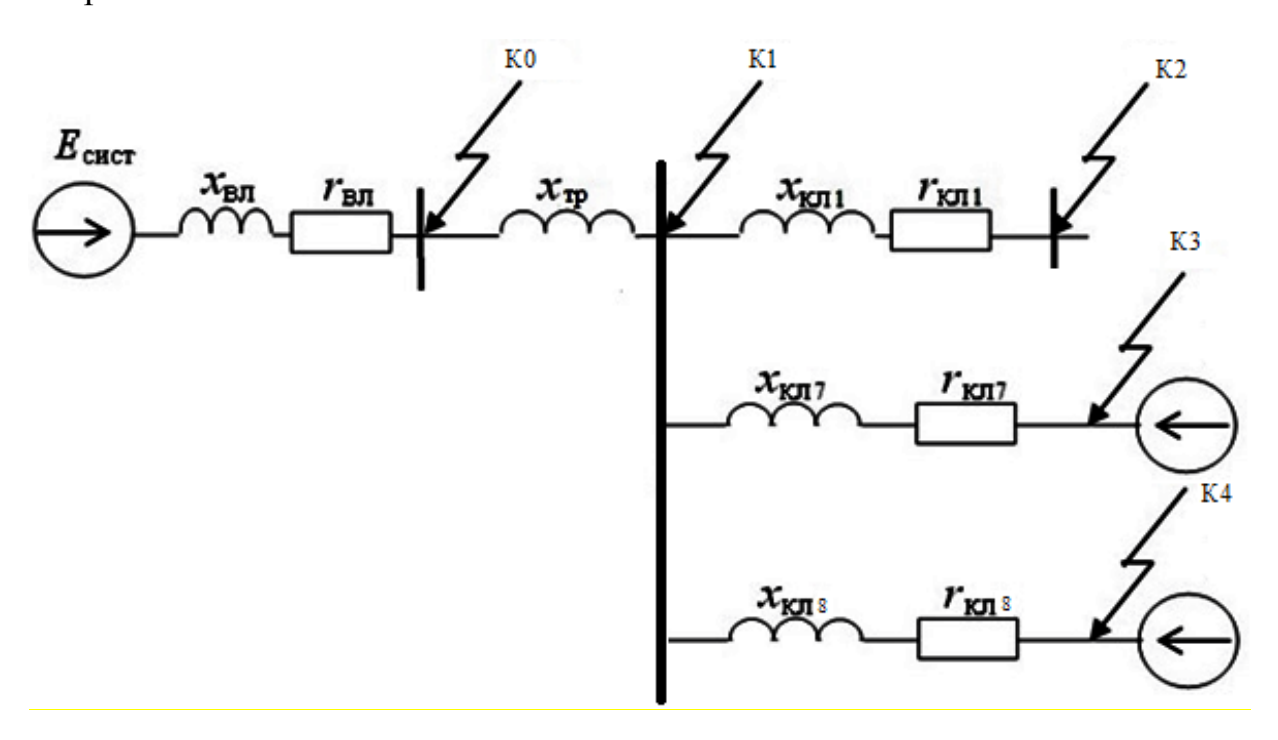


Рисунок 8 – Схема замещения для расчёта токов короткого замыкания сети

Расчет токов КЗ

В настоящее время в России применяется сети с изолированной нейтралью для сетей среднего напряжения. При этом невелико значение тока однофазного короткого замыкания. Этот режим не является аварийным для сети. Величина тока однофазного короткого замыкания определяется емкостью линии. По

рассчитанному току трёхфазного короткого замыкания, с лёгкостью определяется значение тока двухфазного короткого замыкания, в соответствии с формулой: $I_{\kappa_3}^{(2)} = 0.87 \cdot I_{\kappa_3}^{(3)}$.

Расчёт однофазного и двухфазного тока короткого замыкания нет необходимости в сетях среднего напряжения.

Значение тока трехфазного КЗ определяется в соответвии с выражением:

$$I_{\kappa_3}^{(3)} = \frac{U_{\delta}}{\sqrt{3} \cdot Z_{pe3}},$$

где Zpe3 – сопротивление до точки КЗ (полное), Ом.

Сперва при расчете определяют базисный ток короткого замыкания на рассматриваемой ступени трансформации в системе относительных единиц исходя из выражения:

$$I_{\delta} = \frac{S_{\delta}}{\sqrt{3} \cdot U_{\delta}},$$

Далее определяют значение периодической составляющей тока короткого замыкания:

$$I_{\kappa_3}^{(3)} = \frac{I_{\delta}}{Z_{pe_3}}.$$

Через полпериода (0.01 с) после начала КЗ наблюдается максимальное амплитудное значение тока короткого замыкания $i_{yд}$. $i_{yд}$ - ударным ток КЗ.

$$i_{v\partial} = \sqrt{2} \cdot k_{v\partial} \cdot I_{\kappa_3}^{(3)},$$

где $k_{yд}$ — ударный коэффициент тока короткого замыания, определяется согласно [1.puc 7.1].

Рассмотрим точку К0:

$$I_{\delta} = \frac{S_{\delta}}{\sqrt{3} \cdot U_{\delta 2}} = \frac{100}{\sqrt{3} \cdot 37} = 1,56 \text{ KA};$$

$$Z_{pe3} = \sqrt{r_{e3}^2 + x_{e3}^2} = \sqrt{0,462^2 + 0,473^2} = 0,661 \text{ o.e.};$$

$$I_{\kappa_3}^{(3)} = \frac{I_{\delta}}{Z_{pe_3}} = \frac{1,56}{0,661} = 2,36 \text{ kA};$$

$$i_{\kappa_3} = \sqrt{2} \cdot k_{\kappa_3} \cdot I_{\kappa_2}^{(3)} = \sqrt{2} \cdot 0,8 \cdot 2,36 = 2,67 \text{ kA}.$$

Рассмотрим точку К1:

$$I_{\delta} = \frac{S_{\delta}}{\sqrt{3} \cdot U_{\delta 2}} = \frac{100}{\sqrt{3} \cdot 10,5} = 5,499 \text{ KA};$$

$$Z_{pes} = \sqrt{r_{\epsilon n}^2 + (x_{\epsilon n} + x_{mp})^2} = \sqrt{0,017^2 + (0,003 + 1,19)^2} = 1,193$$
o.e.;
$$I_{\kappa 3}^{(3)} = \frac{I_{\delta}}{Z_{pes}} = \frac{5,499}{1,193} = 4,61 \text{ KA};$$

$$i_{\nu \delta} = \sqrt{2} \cdot k_{\nu \delta} \cdot I_{\kappa 3}^{(3)} = \sqrt{2} \cdot 1,93 \cdot 4,61 = 12,59 \text{ KA}.$$

Рассмотрим точку К2:

$$I_{\delta} = \frac{S_{\delta}}{\sqrt{3} \cdot U_{\delta 2}} = \frac{100}{\sqrt{3} \cdot 10.5} = 5,499 \text{ kA};$$

$$Z_{pe3} = \sqrt{(r_{\epsilon n} + r_{K/I-1})^2 + (x_{\epsilon n} + x_{mp} + x_{K/I-1})^2} =$$

$$= \sqrt{(0,462 + 0,473)^2 + (0,096 + 1,19 + 0,011)^2} = 1,599 \text{ o.e.};$$

$$I_{\kappa 3}^{(3)} = \frac{I_{\delta}}{Z_{pe3}} = \frac{5,499}{1,599} = 3,439 \text{ kA};$$

$$i_{\nu \delta} = \sqrt{2} \cdot k_{\nu \delta} \cdot I_{\kappa 3}^{(3)} = \sqrt{2} \cdot 1 \cdot 3,439 = 4,863 \text{ kA}.$$

Расчётное имеет большее значение тока КЗ в точке К1, по сравнению с точкой К2. В связи с этим необходимо производить проверку высоковольтных линии, которые идут от ГПП до ТП цехов по токам короткого замыкания К1.

Рассмотрим точку К3:

Учитываем подпитку места КЗ от РУ-9. Применяем метод наложения, считая, что напряжения системы и синхронного двигателя по фазе совпадают.

Ток КЗ от системы:

$$I_{\delta} = \frac{S_{\delta}}{\sqrt{3} \cdot U_{\delta 2}} = \frac{100}{\sqrt{3} \cdot 10,5} = 5,499 \text{ KA};$$

$$Z_{pe3} = \sqrt{(r_{\epsilon n} + r_{K/I-7})^2 + (x_{\epsilon n} + x_{mp} + x_{K/I-7})^2} =$$

$$= \sqrt{(0,462 + 0,017)^2 + (0,473 + 1,19 + 0,003)^2} = 1,733 \text{ o.e.};$$

$$I_{\kappa 3}^{(3)} = \frac{I_{\delta}}{Z_{pe3}} = \frac{5,499}{1,733} = 3,173 \text{ KA};$$

$$i_{\nu \delta} = \sqrt{2} \cdot k_{\nu \delta} \cdot I_{\kappa 3}^{(3)} = \sqrt{2} \cdot 1,42 \cdot 3,173 = 6,37 \text{ KA}.$$

Значение тока КЗ от синхронного двигателя:

 $E^{"}$ = 1,1 о.е. — сверхпереходная ЭДС синхронного двигателя;

 $x^{"} = 0,2$ о.е. – сверхпереходное индуктивное сопротивление АД;

$$I_{\text{\tiny H.CJI}} = \frac{P_{\text{\tiny H}}}{\sqrt{3} \cdot U_{\text{\tiny H}} \cdot Cos\varphi_{\text{\tiny H}} \cdot \eta_{\text{\tiny H}}} = \frac{2000}{\sqrt{3} \cdot 10 \cdot 0.9 \cdot 0.96} = 133.8 \text{ A}$$

$$I_{\kappa 3CJ} = \frac{E^{"} \cdot I_{\mu.CJ}}{x^{"}} = \frac{1,1 \cdot 133,8}{0,2} = 0,736 \text{ KA};$$

$$i_{y\partial C\!/\!\!1} = \sqrt{2} \cdot k_{y\partial C\!/\!\!1} \cdot I_{\kappa_3 C\!/\!\!1} = \sqrt{2} \cdot 1,82 \cdot 0,736 = 1,894$$
 кА.

Определяем суммарный ток короткого замыкания в точке К3:

$$I_{\kappa_3\Sigma}^{(3)} = I_{\kappa_3}^{(3)} + I_{\kappa_3CJ} = 3,173 + 0,736 = 3,909 \text{ KA};$$

$$i_{y\partial\Sigma} = i_{y\partial} + i_{y\partial CJ} = 6,37 + 1,894 = 8,264 \text{ KA}.$$

Значение тока короткого замыкания в точке К3 больше, по сравнению с в точкой К2. Из этого следует, что проверку кабельной линии КЛ-7 на устойчивость к токам К3 будем производить по току К3 в точке К3.

Рассмотрим точку К4:

Учитываем подпитку места К4 от РУ-10. Используя метод наложения, считаем, что напряжения системы и асинхронного совпадают по фазе.

Ток К4 от системы:

$$I_{\delta} = \frac{S_{\delta}}{\sqrt{3} \cdot U_{\delta 2}} = \frac{100}{\sqrt{3} \cdot 10,5} = 5,499 \text{ KA};$$

$$Z_{pe3} = \sqrt{(r_{\epsilon n} + r_{K / I - 8})^2 + (x_{\epsilon n} + x_{mp} + x_{K / I - 8})^2} =$$

$$= \sqrt{(0,462 + 0,028)^2 + (0,473 + 1,19 + 0,004)^2} = 1,738 \text{ o.e.};$$

$$I_{\kappa 3}^{(3)} = \frac{I_{\delta}}{Z_{pe3}} = \frac{5,499}{1,738} = 3,164 \text{ KA};$$

$$i_{\nu \delta} = \sqrt{2} \cdot k_{\nu \delta} \cdot I_{\kappa 3}^{(3)} = \sqrt{2} \cdot 1,42 \cdot 3,164 = 6,354 \text{ KA}.$$

Ток КЗ от АД:

$$E^{"}=0,9$$
 о.е. – сверхпереходная ЭДС асинхронного двигателя;

 $x^{"} = 0,2$ о.е. – сверхпереходное индуктивное сопротивление АД;

$$I_{_{^{\!\mathit{H.C}\!\!\mathcal{I}\!\!\mathcal{I}}}} = \frac{P_{_{^{\!\mathit{H}}}}}{\sqrt{3} \cdot U_{_{^{\!\mathit{H}}}} \cdot Cos\phi_{_{^{\!\mathit{H}}}} \cdot \eta_{_{^{\!\mathit{H}}}}} = \frac{1800}{\sqrt{3} \cdot 10 \cdot 0,78 \cdot 0,65} = 205,22~\mathrm{A}$$
 - номинальный ток АД.

$$I_{\kappa 3CJ} = \frac{E^{"} \cdot I_{\kappa 3CJ}}{x^{"}} = \frac{0.9 \cdot 205, 22}{0.2} = 0.923 \text{ KA};$$

$$i_{v o C I\!\!I} = \sqrt{2} \cdot k_{v o C I\!\!I} \cdot I_{\kappa s C I\!\!I} = \sqrt{2} \cdot 1,82 \cdot 0,923 = 2,91$$
 кА.

Суммарный ток КЗ в точке К4:

$$I_{\text{k3}\Sigma}^{(3)} = I_{\text{k3}}^{(3)} + I_{\text{k3}CD} = 3,164 + 0,923 = 4,087 \text{ kA};$$

$$i_{\text{yd}\Sigma} = i_{\text{yd}} + i_{\text{yd}CD} = 6,354 + 2,91 = 9,264 \text{ kA}.$$

Приводим сводную ведомость значений токов короткого замыкания:

Расчетные	гочки	К0	К1	К2	К3	К4
Токи КЗ, кА	$I_{\kappa s}^{(3)}$	2,36	4,61	3,439	2,565	4,087
TOKH KS, KA	i уд	2,67	12,59	4,863	5,567	9,264

Ранее принятые сечения кабельных линий проверим на термическую стойкость, пользуясь полученными значениями токов короткого замыкания, при КЗ в начале линии.

Для примера рассмотрим выбор сечения КЛ-1 проходящей от ГПП до ТП-1.1.

$$I_{\kappa 3}^{(3)} = 4,61 \text{ kA};$$

$$t_{np} = t_{p.3.\text{min}} + \Delta t_c + t_{om\kappa n} = 0,01 + 0,3 + 0,14 = 0,45 \text{ c};$$

$$T_a = \frac{x_{\Sigma}}{\omega \cdot r_{\Sigma}} = \frac{1,674}{314,159 \cdot 0,558} = 0,009 \text{ c};$$

$$B_k = I_{\kappa 3}^2 (t_{np} + T_a) = 4,61^2 \cdot (0,45 + 0,009) = 9,76 \cdot 10^6 \text{ A}^2 \cdot c;$$

Определяем термический коэффициент C_T , используя справочные данные [1, табл. 6.2]. Получаем, что $C_T = 90 \text{ A} \cdot \text{c}^{1/2}/\text{мм}^2$.

$$F_{\min} = \frac{\sqrt{B_k}}{C_T} = \frac{\sqrt{9,76 \cdot 10^6}}{90} = 34,7 \text{ mm}^2$$

Принятый к установке кабель для данного участка сети марки ААШв (3х35) проходит проверку на термическую стойкость при короткого замыкания в начале линии.

Итоги проверки на термическую стойкость при коротких замыканиях остальных КЛ приведены в таблице 15.

Произведем проверку КЛ-1 по потере напряжения:

Приемлемыми считают относительные потери. В том случае, если они не превышают в сетях высокого напряжения 10% для послеаварийных режимов работы. Относительные потери рассчитываем по формуле:

$$\Delta U_{\kappa\pi} = \frac{P \cdot r_0 \cdot l + Q \cdot x_0 \cdot l}{10 \cdot U_H^2} = \frac{420 \cdot 0,84 \cdot 0,126 + 22,38 \cdot 0,095 \cdot 0,126}{10 \cdot 10^2} = 0,045\%$$

Результаты проверки по потере напряжения остальных КЛ сведем в таблицу 10.

Таблица 10 – Итоги проверки на термическую стойкость при коротком замыкании КЛ 10 кВ

Номер линии	Назначение	Количество	Марка и сечение кабеля S, мм²	длина линии <i>I</i> , км	S _{min} , мм ² по термической стойкости при КЗ	$\Delta U_{\kappa \imath}$, %
КЛ-1	ГПП-ТП- 1.1	1	ААШв –3 х 35	0,126	34,7	0,045
КЛ-2	ГПП-ТП- 1.2	2	AAШв – 2(3x35)	0,141	34,3	0,115
КЛ-3	ГПП-ТП-2	2	AAШв – 2(3x35)	0,052	34,7	0,031
КЛ-4	ГПП-ТП-3	2	AAШв – 2(3x35)	0,089	34,55	0,069
КЛ-5	ГПП-ТП- 4.1	2	AAШв – 2(3x35)	0,044	34,73	0,011
КЛ-6	ГПП-ТП- 4.2	1	ААШв –3х35	0,074	34,61	0,055
КЛ-7	ГПП-РУ9	1	ААШв –3х70	0,044	34,76	0,005
КЛ-8	ГПП-РУ10	1	ААШв -3x50	0,052	34,72	0,006

2.13 Выбор оборудования ГПП

Все оборудования ГПП должно подбираться в соответствии с рассчитанными максимальными расчетными величинами для нормального режима и короткого замыкания. Для выбора оборудования сравнивают указанные расчетные величины с допускаемыми значениями высоковольтного оборудования. Расчетные величины должны не превышать допустимые, для обеспечения безаварийной и надёжной работы.

Высоковольтное оборудование подбирается согласно схеме ГПП. Схема ГПП (внешнего электроснабжения) представлена в *ПРИЛОЖЕНИИ* 9.

Предварительно для выбора оборудования находим

Токи в питающих линиях:

При нормальном режиме:

$$I_{\text{HOMBH}} = \frac{S_{mp.\text{HOM}}}{\sqrt{3} \cdot U_{\text{HOMBH}}} = \frac{6300}{\sqrt{3} \cdot 35} = 103,92 \text{ A};$$

При аварийном режиме:

$$I_{n.ae.} = 2 \cdot I_{pacy.} = 2 \cdot 103,92 = 207,84 \text{ A};$$

Ток трехфазного КЗ и ударный ток КЗ на стороне высокого напряжения ГПП:

$$I_{\kappa 3}^{(3)} = 2,36 \text{ kA};$$

$$i_{yo} = 2,67 \text{ KA}.$$

Ток трехфазного КЗ и ударный ток КЗ на стороне низшего напряжения ГПП:

$$I_{\kappa 3}^{(3)} = 4,61 \text{ kA};$$

$$i_{yo} = 12,59 \text{ KA}.$$

Номинальный ток трансформатора:

$$I_{\text{HOMBH}} = \frac{S_{mp.\text{HOM}}}{\sqrt{3} \cdot U_{\text{HOMBH}}} = \frac{6300}{\sqrt{3} \cdot 35} = 103,92 \text{ A};$$

$$I_{\text{HOMHH}} = \frac{S_{mp.\text{HOM}}}{\sqrt{3} \cdot U_{\text{HOMHH}}} = \frac{6300}{\sqrt{3} \cdot 10} = 363,73 \text{ A};$$

В качестве распределительного устройства 10 кВ выбираем комплектное распределительное устройство 10 кВ К-63 предприятия ОАО «Самарский завод «Электрощит». Включает в себя отдельно стоящий шкаф с трансформатором собственных нужд выпускается климатического исполнения УХП1. КРУ серии К-63 предназначены для работы внутри здания с климатическим исполнением УЗ и ТЗ, типом окружающей среды — II по ГОСТ 15150.

КРУ имеют преставление в виде камер, которые снабжены элементами для их стыковки в РУ. В состав камеры входят: в верхней части - отсек СШ, линейный отсек и отсек выкатанного элемента. Шкафы РЗиА располагаются в верхней части камер вместе с аппаратурой сигнализации, управления и измерении.

Конструктивное исполнение камеры имеет возможность подключать не более 4ех высоковольтных кабелей сечением 3x240 mm^2 , рассчитанные на ток до 1 kA.

Распределительное устройство так же включают:

- Вакуумные выключатели присоединений ВВ/ТЕL-10-12,5-630 УХЛ2
- Вводные вакуумные выключатели BB/TEL-10-16-800 УХЛ2
- Секционный вакуумный выключатель BB/TEL-10-12,5-630 УХЛ2
- Трансформаторы напряжения НАМИТ- 102 УХЛ2
- Трансформаторы тока ТЛК-10 У3
- Трансформаторы собственных нужд ТСКС-145/10 У3
- Ограничители перенапряжений типа ОПНп-10 УХЛ2
- Разрядники вентильные типа РВО-10У1

На представленное оборудование проверки не обязательны, так как завод-изготовитель их уже осуществил.

Выбор высоковольтных выключателей Q1, Q2

Выбор высоковольтных выключателей производится по номинальным напряжению и току, месту установки, а также конструктивному исполнению.

Выбранный выключатель подвергается проверкам:

- на отключающую способность:

$$I_{{\scriptscriptstyle HOM.omkn}} \geq I_{{\scriptscriptstyle K3}}^{(3)}$$

где $I_{\text{ном.откл}}$ – номинальный ток отключения выключателя, кА (по каталогу); $I_{\text{K3}}^{(3)}$ – периодическая составляющая тока КЗ.

- на электродинамическую стойкость:

$$i_{\scriptscriptstyle \partial UH} \geq i_{\scriptscriptstyle V\partial}$$

где $i_{\partial uh}$ — ток электродинамической стойкости выключателя, кА (по каталогу); $i_{v\partial}$ — ударный ток КЗ в месте установки выключателя.

- на термическую стойкость:

$$I_{mepm}^2 \cdot t_{mepm} \ge B_k$$

где B_k – расчетный тепловой импульс квадратичного тока K3, к A^2 ·с;

 I_{mepm} – ток термической стойкости выключателя.

Согласно [9] выбираем выключатель ВМУЭ-35Б-25/1000-УХЛ1

Далее проведём проверки, для этого рассчитаем термическая стойкость:

$$B_{\kappa} = I_{K3}^2 \cdot (t_{p.3.} + t_{om\kappa\tau} + T_a) = (2,36)^2 \cdot (0,1+0,075+0,09) = 1,48 \ \kappa A^2 \cdot c$$

Расчетные данные		Справочные данные
$U_{H} = 35 \text{ kB}$	=	$U_{\rm H} = 35~{\rm KB}$
$I_{max} = 103,92 A$	<	$I_{HOM} = 1000 \text{ A}$
I _{π.o.} = 2,36κA	<	I _{откл.ном} = 25 кA
$i_y = 2,67$ KA	<	$i_{\text{дин}} = 64 \text{ кA}$
$B_{\kappa} = 1,48 \kappa A^2 \cdot c.$	<	$I_{\text{rep}}^2 \cdot t_{\text{rep}} = 25^2 \cdot 4 = 2500 \text{ kA}^2 \cdot \text{c}$

Выбранный выключатель проходит проверку.

Выбор высоковольтных разъединителей QS1-QS10

Разъединители и отделителей выбираем по напряжению, длительному току, по роду установки и его конструкции.

Проверки производят:

- по электродинамической стойкости:
- по термической стойкости:

Выбор разъединителей производим по току линии:

- QS1-QS2 в послеаварийном режиме;
- QS3-QS8 в нормальном режиме;
- QS9-QS10 выбирается по отключающей способности.

Согласно [9] выбираем разъединитель РДЗ-1-35/1000 - УХЛ1 (горизонтально-поворотного типа для наружной установки).

Проведём проверки, для этого рассчитаем термическая стойкость:

$$B_{\kappa} = I_{\kappa 3}^2 \cdot 4 = (2,36)^2 \cdot 4 = 22,28 \ \kappa A^2 \cdot c$$

Расчетные данные		Справочные данные
$U_{\rm H} = 35 \; {\rm KB}$	=	$U_{\rm H} = 35~{\rm KB}$
QS1-QS2 : I _{max} = 207,84 A	<	$I_{HOM} = 1000 \text{ A}$
$QS3-QS8 : I_{max} = 103,92 A$		
$i_y = 2,67 \text{ KA}$	<	$i_{\text{дин}} = 63 \text{ кA}$
$B_{\kappa} = 28,28 \kappa A^2 \cdot c.$	<	$I_{\text{rep}}^2 \cdot t_{\text{rep}} = 25^2 \cdot 4 = 2500 \text{ kA}^2 \cdot \text{c}$

РДЗ-1-35/1000 - УХЛ1 проверку проходит.

Выбор трансформаторов напряжения TV1, TV2:

Выбор трансформаторов напряжения производят так же по напряжению, по схеме соединения обмоток и их конструкции, так же по вторичной нагрузке и классу точности.

Так как нагрузка мала не будем проводить проверку по вторичной нагрузке, так как учет энергии ведется на стороне низшего напряжения ГПП и трансформаторы напряжения устанавливаются для работы РЗиА.

На высокое напряжение 35 кВ принимаем к установке измерительные трансформаторы напряжения НАЛИ-СЭЩ-35-IV-0,5-150 УХЛ1.

Выбор предохранителей FU1, FU2:

Для защиты TV 35 кВ выбираем предохранители ПКН 001-35 XЛ1, которые не требуют проверок.

Выбор ограничителей перенапряжений FV1-FV6:

Ограничители перенапряжения выбирают по назначению, месту установки, требуемого уровня ограничения перенапряжений. Также следует учитывать схему сети и ее параметров. Например, способ заземления нейтрали наибольшего рабочего напряжения сети и.т.д.

Для обучающей выпускной работы будем использовать упрощенную методику выбора ОПН [4, табл. 2.5].

На напряжение 35 кВ (FV1-FV4) принимаем ОПН-П1-35/40,5/10/2 УХЛ 1.

На напряжение 10 кВ (FV5-FV6) принимаем ОПН-П1-10/12/10/2 УХЛ 1.

Выбор трансформаторов тока ТА1, ТА2:

Для измерения тока на стороне высокого напряжения применяются трансформаторы тока типа ТВТ, которые являются встроенными.

Марку выбираем по номинальному току первичной обмотки трансформатора ТМН-6300/35-У1.

$$I_{HOMTT} \ge I_{HOMBH} = 103,92 \text{ A};$$

В итоге выбираем трансформаторы тока ТВТ35-1-200/5 с I_{IHOM} = 200 A.

Все выбранное оборудование сведём в таблицу 11.

Таблица 11 – Оборудование ГПП

Обозначение	Наименование	Тип
Q1, Q2	Выключатели маломасляные	ВМУЭ-35Б-25/1000-УХЛ1
QS1 – QS10	Разъединители	РД3-1-35/1000 - УХЛ1
TX11 TX12	Tuesdan	НАЛИ-СЭЩ-35-IV-0,5-150
TV1, TV2	Трансформаторы напряжения	УХЛ1
FU1, FU2	Предохранители	ПКН 001-35 ХЛ1
FV1 – FV4	Ограничители перенапряжений	ОПН-П1-35/40,5/10/2 УХЛ 1
FV5 – FV6	Ограничители перенапряжений	ОПН-П1-10/12/10/2 УХЛ 1
TA1, TA2	Трансформаторы тока	TBT35-1-200/5

В состав КРУ входят:

- Вводные вакуумные выключатели BB/TEL-10-16-800 УХЛ2
- Секционный вакуумный выключатель BB/TEL-10-12,5-630 УХЛ2
- Вакуумные выключатели присоединений BB/TEL-10-12,5-630 УХЛ2
- Трансформаторы тока ТЛК-10 УЗ
- Трансформаторы напряжения НАМИТ- 102 УХЛ2
- Разрядники вентильные типа РВО-10У1
- Ограничители перенапряжений типа ОПНп-10 УХЛ2
- Трансформаторы собственных нужд ТСКС-145/10 УЗ

2.14. Электроснабжение ремонтно-механического цеха

Цеховое электроснабжение рекомендуется производить, придерживаясь последовательность пунктов:

- Сперва электроприемники следует разместить в распределительные пункты питания. После следует выбрать способ прокладки питающей сети цеха и его схему. Радиальная схема питающей сети, которая была выбрана ранее должна обеспечивать надёжность питания ЭП и иметь возможность присоединения новых приёмников. Распределительные пункты и способ прокладки, питающей осуществляется при учёте всевозможных условий места прокладки, также характера окружающей среды
- Рассчитываются нагрузки по РП цеха.
- Выбираются сечения питающей сети в соответствии с длительно допустимой токовой нагрузкой.
- Осуществляется выбор защитных аппаратов цеха.
- Выполняется построение карты селективности действия аппаратов защиты для участка цеха (от вводного автомата до самого удалённого ЭП).
- Сети рассчитывается по условиям допустимой потери напряжения. По результатам производится построение эпюры отклонений напряжения. Рассчитываем цепочку линий от шин ГПП до зажимов самого мощного ЭП (для режимов максимальной нагрузки, минимальной нагрузки, а также для послеаварийного).
- Выполняется расчёт токов КЗ для участка цеховой сети от ТП до ЭП, который является наиболее мощным. В результате изображается карта селективности действия аппаратов защиты.

Принимая во внимание среду цеха, категорию надежности электроприемников, экономичность схемы электроснабжения, а также перспективы её развития выбираем смешанную схему электроснабжения цеха. Схема электроснабжения ремонтно-механического цеха приведена в ПРИЛОЖЕНИИ 1. Однолинейную схему электроснабжения ремонтно-механического цеха приводим в ПРИЛОЖЕНИИ 10.

2.15 Выбор аппаратов защиты цеховой сети

Во всех линиях электропередач предусматривается защита от токов КЗ. Защита должна обеспечивать селективность последовательно включенных аппаратов и иметь наименьшее время отключения. Аппараты защиты должны обеспечивать своевременное отключение аварийной линии на любом её участке при коротком замыкании.

Защита производится автоматическими выключателями.

Автоматический выключатель выбирается, исходя из следующих условий:

• Выбор номинального тока автомата

$$I_{\text{HOM.}AB} \geq K_{\text{3an}} \cdot I_{\partial \text{7 Jum}};$$

• Выбор номинального тока теплового расцепителя автомата

$$I_{\text{ном. тепл}} \geq K_{\text{зап}} \cdot I_{\partial \text{лит}};$$

• Проверка по току срабатывания (уставки) электромагнитного расцепителя

- для группы ЭП:
$$I_{{\scriptscriptstyle HOM. 3.0}} \ge 1,25 \cdot I_{{\scriptscriptstyle nuk}};$$

- для отдельного ЭП:
$$I_{HOM.Э.O}$$
 ≥1,5 · I_{NVCK} ;

где $I_{\text{ном. тепл}}$ – номинальный ток теплового расцепителя;

 $I_{HOM.AB}$ — номинальный ток автоматического выключателя;

 $I_{HOM.9.0.}$ – ток срабатывания ЭМ расцепителя;

 $I_{nu\kappa}$ – пиковый ток группы ЭП;

 $I_{\partial \text{\it num}}$ – длительный максимальный рабочий ток линии;

 $I_{nyc\kappa}$ – пусковой ток ЭП.

 K_{3an} — коэффициент запаса, принимаемый по [3, табл. 8.6]

Для комбинированных расцепителей:

одиночные ЭП K_{3an} =1,15; группа ЭП K_{3an} =1,1. Ток уставки ЭМ расцепителя рассчитывается как:

$$I_{\text{HOM.} \ni .O} = I_{\text{HOM.} \text{men} \exists} \cdot K_{K3};$$

где K_{κ_3} – уставка срабатывания в зоне КЗ (справочные данные AB).

Пиковый ток группы ЭП определяется из выражения:

$$I_{nu\kappa} = I_{nvc\kappa, max} + (I_{pacy} - K_u \cdot I_{hom, max});$$

где $I_{nyc\kappa.max}$ - наибольший из пусковых токов двигателей в группе по паспортным данным;

 $I_{\text{ном.мах}}$ - номинальный (приведенный к ПВ = 100%) ток двигателя с наибольшим пусковым током;

 K_u - коэффициент использования, характерный для двигателя, имеющего наибольший пусковой ток;

 $I_{pac ext{-}}$ - расчетный ток нагрузки всей группы электроприемников.

Если в группе меньше 6 электроприемников, то пиковый ток соответствует выражению:

$$I_{mu\kappa} = I_{mv\kappa, \max} + (\Sigma I_{hom} - I_{hom, \max});$$

Номинальный ток отдельного ЭП:

$$I_{\text{\tiny HOM}} = \frac{P_{\text{\tiny HOM}}}{\sqrt{3} \cdot U_{\text{\tiny HOM}} \cdot \cos \phi \cdot \eta},$$

где $\eta = 0.8 -$ для ЭП с $P_{\text{ном}} \le 10$ кВт; $\eta = 0.9 -$ ЭП, которые имеют $P_{\text{ном}} > 10$ кВт.

Пусковые токи ЭП соответствуют формуле:

$$I_{\mathit{nyck}} = k \cdot I_{\mathit{hom}}$$
 ,

где $k=5\div7$ – кратность пускового тока.

Пример выбора выключателя для защиты токарно-винторезного станка:

$$I_{\text{\tiny HOM}} = \frac{P_{\text{\tiny HOM}}}{\sqrt{3} \cdot U_{\text{\tiny HOM}} \cdot \cos \varphi \cdot \eta} = \frac{4.5}{\sqrt{3} \cdot 0.38 \cdot 0.6 \cdot 0.75} = 15.21 \text{ A};$$

$$I_{\text{HOM.AB}} \ge K_{3an} \cdot I_{\partial num} = 1,15 \cdot 15,21 = 17,49 \text{ A};$$

$$I_{\text{HOM.men}} \ge K_{3an} \cdot I_{\partial num} = 1,15 \cdot 15,21 = 17,49 \text{ A};$$

$$I_{\text{HOM.P.O}} \ge 1,5 \cdot I_{\text{mVCK}} = 1,5 \cdot 5 \cdot 15,21 = 114,08 \text{ A};$$

Выбираем автоматический выключатель типа BA57-35, который имеет параметры $I_{HOM.men\pi}$ = 100 A, $I_{HOM.AB}$ = 25 A, I_{K3} = 6 $I_{HOM.men\pi}$ = 350 A, согласно [1]. Для остальных ЭП расчеты представлены в $\Pi PUJOXEHUU$ 11.

Пример выбора выключателя для защиты ПР1:

$$I_{\text{DDMM}} = \frac{S_P}{\sqrt{3} \cdot U_{\text{HOM}}} = \frac{36,63}{\sqrt{3} \cdot 0,38} = 55,72 \text{ A};$$

$$I_{\text{HOM}} = I_{\text{NYCK.max}} + (I_{\text{pacy}} - K_u \cdot I_{\text{HOM.max}}) = 202,82 + (55,72 - 0,14 \cdot 40,56) = 252,82 \text{ A};$$

$$I_{\text{HOM},AB} \ge K_{\text{3an}} \cdot I_{\text{DDMM}} = 1,1 \cdot 55,72 = 61,29 \text{ A};$$

$$I_{\text{HOM.menn}} \ge K_{\text{3an}} \cdot I_{\text{DDMM}} = 1,1 \cdot 55,72 = 61,29 \text{ A};$$

$$I_{\text{HOM.30}} \ge 1,25 \cdot I_{\text{MUK}} = 1,25 \cdot 252,82 = 316,03 \text{ A};$$

Выбираем автоматический выключатель типа BA51-31, , который имеет параметры $I_{\text{ном.men}}$ = 80 A, $I_{\text{ном.AB}}$ = 630 A, I_{K3} = 2,5 $I_{\text{ном.men}}$ =1400 A , согласно [1]. Для распределительных пунктов расчеты представлены в таблице 12.

Таблица 12 – Защитные аппараты для ПР цеха

№ пункта	$I_{\scriptscriptstyle m drawn}, \ m A$	$1,1\cdot I_{\mathrm{distant}}$, A	<i>I</i> _{πως} , Α	1, 25 · <i>I</i> _{пык} , А	Тип АВ	$I_{_{\kappa\phi;\kappa}},$ A	I _{ном. тепл} : А	K_{K3}	$I_{\mathfrak{I}_{\mathcal{B}MF}},$ A
ПР1	55,72	61,29	252,82	316,03	BA57-35	250	250	4	320
ПР2	66,85	73,54	484,32	605,4	BA57-35	250	250	8	640
ПР3	249	273,9	898,893	1123,62	BA57-39	320	400	4	1600

Выбор вводного автомата на подстанции ТП-2:

$$I_{\partial n} = I_{_{HOM.mp}} = \frac{S_{_{HOM.mp}}}{\sqrt{3} \cdot U_{_{HOM}}} = \frac{630}{\sqrt{3} \cdot 0,38} = 957,19 A;$$

$$I_{_{RUK}}^{_{n/cm}} = I_{_{N.M}} + (I_{_{HOM.mp}} - K_{_{U}} \cdot I_{_{HOM.M}}) = 1028,65 + (957,19 - 249) = 1736,84 A$$

$$I_{\text{HOM.AB}} \ge K_{\text{3an}} \cdot I_{\text{длит}} = 1,1 \cdot 957,19 = 1052,91 \text{ A};$$

$$I_{\text{HOM.men}} \ge K_{\text{3an}} \cdot I_{\text{длит}} = 1,1 \cdot 957,19 = 1052,91 \text{ A};$$

$$I_{\text{HOM.3.0}} \ge 1,25 \cdot I_{\text{лик}} = 1,25 \cdot 1736,84 = 2171,05 \text{ A};$$

Согласно справочной литературе [1], принимаем к установке автоматический выключатель типа BA55-43, с параметрами $I_{HOM.menn} = 1600$ A, $I_{HOM.AB} = 1280$ A, $I_{K3} = 2 I_{HOM.menn} = 2560$ A.

Выбор автоматического выключателя для защиты ВРУ:

$$\begin{split} I_{\text{\tiny HOM.AB}}^{\text{\tiny MEX}} &= I_{\text{\tiny N.M}} + I_{\text{\tiny p.MEXA}} - I_{\text{\tiny p.IIP}} = 1028,65 + 371,6 - 249 = 1151,25 \ A \\ \\ I_{\text{\tiny HOM.AB}} &\geq K_{\text{\tiny 3an}} \cdot I_{\text{\tiny p.MEXA}} = 1,1 \cdot 371,6 = 408,76 \ \text{A}; \\ \\ I_{\text{\tiny HOM.MENT}} &\geq K_{\text{\tiny 3an}} \cdot I_{\text{\tiny p.MEXA}} = 1,1 \cdot 371,6 = 408,76 \ \text{A}; \\ \\ I_{\text{\tiny HOM.MENT}} &\geq \sum_{\text{\tiny 3an}} I_{\text{\tiny p.MEXA}} = 1,25 \cdot 1151,21 = 1439,013 \ \text{A}; \end{split}$$

Исходя из справочной литературе [1], принимаем к установке автоматический выключатель типа BA51-29, который имеет параметры $I_{\text{ном.menл}} = 500 \text{ A}$, $I_{\text{ном.AB}} = 630 \text{ A}$, $I_{\text{K3}} = I_{\text{ном.menл}} = 2000 \text{ A}$.

2.16 Выбор распределительных пунктов (ПР)

Распределительные пункты выбираются согласно следующим условиям:

- По количеству отходящих линий;
- Согласно типу защитного аппарата;
- По степени защиты;
- В зависимости от номинальных токов аппаратов для присоединений;
- В соответствии с номинальным током ввода.

В качестве в ремонтно-механическом цехе завода принимаем распределительные пункты серии ПР 8503 с автоматическими выключателями в качестве аппарата защиты.

По данным приложения 11 и в соответствии с [1 стр.247] выберем тип РП. Выбираем к установке типовые РП серии ПР 8503 с автоматическими выключателями в качестве защитного аппарата. Итоги выбора сведём в таблицу 12.

Таблица 12 – Распределительные пункты цеха

№ Шкафа	I _p , A	Отх. лин, шт	Тип	АВ Ввод	АВ Вывод	I _н , А	Отх. лин тах, шт
ПР1	55,73	11	ПР8503-1134-1	BA57- 35	BA57- 31	200	12
ПР2	66,85	10	ПР8503-1134-1	BA57- 35	BA57- 31	200	12
ПР3	249	8	ПР8503-1009-5	BA57- 39	BA57- 31 (6) BA57- 35(2)	320	8

2.17 Выбор сечений линий питающей сети цеха

Сечения проводников линии, питающих электроприемники цеха определяются в соответствии с аппаратом защиты, по допустимыми потерями напряжения и допустимому нагреву длительно протекающие максимальным током нагрузки.

Условие выбора сечений линий по нагреву длительным расчетным током:

$$I_{\partial on.} \ge \frac{I_{pacq}}{K_{npokn.}};$$

где $I_{\partial on}$ – допустимый ток проводника при нормальном режиме;

 I_{pacy} – длительный расчетный ток линии.

Условие выбора сечений линий в соответствии с выбранным аппаратом максимальной токовой защиты:

$$I_{\partial on.} \ge \frac{K_{3au_{i}} \cdot I_{3au_{i}}}{K_{npo\kappa n.}};$$

где I_{3auq} — ток уставки срабатывания защитного аппарата;

 K_{3auq} — кратность длительно допустимого тока для провода или кабеля по отношению к току срабатывания защитного аппарата.

Величины K_{3auq} и I_{3auq} описаны в [1, табл. 9.4]. Их значения зависит от условий и окружающей среды, типа изоляции кабельных линий и характера сети.

Следует учитывать поправочный коэффициент на условия прокладки $K_{npo\kappa n}$, когда температура окружающей среды отличается от стандартной. Так же, если кабелей более четырёх, при способе прокладки в одном лотке, трубе, траншее, коробе. Поправочный коэффициент рассчитывается в соответсвии с формулой:

$$K_{nno\kappa\pi} = K_1 \cdot K_2;$$

где K_1 , K_2 – коэффициенты, учитывающие влияние температуры окружающей среды и влияние рядом проложенных кабельных линий, соответственно.

 K_I определяется согласно я табл. 1.3.3 ПУЭ.

 K_2 определяется согласно табл. 1.3.12, 1.3.26 ПУЭ.

Пример выбора сечения линии от ПР2 до ЭП1:

Ремонтно-механический цех имеет нормальный класс среды. То есть газы, пары, технологическая пыль не присутствует. Температура в цехе приблизительно 20 °C при относительной влажности не более 60 %.

Прокладка кабельных линии производится открыто на лотках.

Коэффициенты, которые учитывают влияние температуры окружающей среды и влияние рядом проложенных кабельных линий согласно ПУЭ равны:

$$K_1 = 1;$$

 $K_2 = 1;$
 $K_{nDOKJ} = K_1 \cdot K_2 = 1;$

 I_{pacy} =61,43 А. принимаем сечение токопроводящей жилы S=25 мм², $I_{\partial on}$ =105 А, из ПУЭ, таблица 1.3.7.

Проводим проверку по условию нагрева длительным расчетным током:

$$I_{oon.} \ge \frac{I_{pac4}}{K_{npokn.}};$$

$$105 A \ge \frac{61,43}{1} A$$

По условию соответствия выбранному аппарату максимальной токовой защиты:

$$I_{\partial on.} \ge \frac{K_{3au_{1}} \cdot I_{3au_{1}}}{K_{npo\kappa n.}};$$

$$105 \ A \ge \frac{1 \cdot 80}{1} \ A$$

Выбранное сечение проверку по условию соответствия выбранному аппарату защиты.

К установке принимаем кабель марки АПВ- (4х25): $I_{\partial on}$ =105A.

Пример выбора сечения линии от РУ до ПР3:

В соответствии с температурными условиями и условиями прокладки:

$$K_1=1;$$

$$K_2=1;$$

$$K_{npokn}=K_1\cdot K_2=1;$$

 I_{pacy} =249A, по таблице 1.3.7 ПУЭ выбираем сечение токопроводящей жилы S=300 мм², $I_{\partial on}$ =500 A (3 кабеля)

Проверка по условию нагрева длительным расчетным током:

$$I_{\partial on.} \ge \frac{I_{pac^{4}}}{K_{npo\kappa n}};$$

$$500 \quad A \ge \frac{249}{1} = 249 \quad A$$

Условие выполняется.

По условию соответствия выбранному аппарату максимальной токовой защиты:

$$I_{\partial on.} \ge \frac{K_{3au_{\downarrow}} \cdot I_{3au_{\downarrow}}}{K_{npokn.}};$$

$$535 \quad A \ge \frac{1 \cdot 500}{1} = 500 \quad A$$

Условие выполняется. Принимаем кабель марки АПВ- 3x300: $I_{\partial on}$ =535 А.

Результаты расчета сечений сети цеха приведены в ПРИЛОЖЕНИИ 12.

2.18 Расчет токов короткого замыкания в сети ниже 1000 В

В сетях до 1 кВ особенностями расчета токов короткого замыкания явялются следующие пункты:

- S_{cucm} полная мощность системы равна бесконечности. Так как на шинах цеховых трансформаторных подстанций напряжение неизменно при коротких замыканиях в сетях до 1000 В;
- Активные и индуктивные сопротивления до точки короткого замыкания элементов сети учитываются;

При проведении расчета токов КЗ нужно учитывать сопротивления:

- Сопротивления силовых трансформаторов, трансформаторов тока, автоматических выключателей, токовых катушек, проводников, ректоров. То есть все сопротивления всех индуктивных элементов короткозамкнутой цепи.
- активные сопротивления элементов короткозамкнутой цепи;
- активные сопротивления контактных соединений и контактов;
- значения параметров асинхронных и синхронных электродвигателей.

Расчёт следует производить в именованных единицах. Напряжение принимается выше на 5 %, чем номинальное напряжение сети.

Первым этапом рассчитываются токи трёхфазных коротких замыканий:

Ток трехфазного короткого замыкания рассчитывается из выражения:

$$I_{K3}^{(3)} = \frac{U_{cp.\text{HOM}}}{\sqrt{3} \cdot Z_{pes}};$$

где Z_{pes} —сопротивление элементов до точки короткого замыкания (полное), Ом.

Из следующей формулы находится ударный ток КЗ:

$$i_{v\partial} = \sqrt{2} \cdot k_{v\partial} \cdot I_{K3}^{(3)};$$

где $k_{y\partial}$ — ударный коэффициент тока КЗ. Ударный коэффициент будем определять по кривым затухания [1].

Для определения токов короткого замыкания в сети до 1000 В проведём упрощение однолинейной схемы электроустановки. В данной схеме учтём сопротивления всех трансформаторов, воздушных линии, кабельных линии и источников питания.

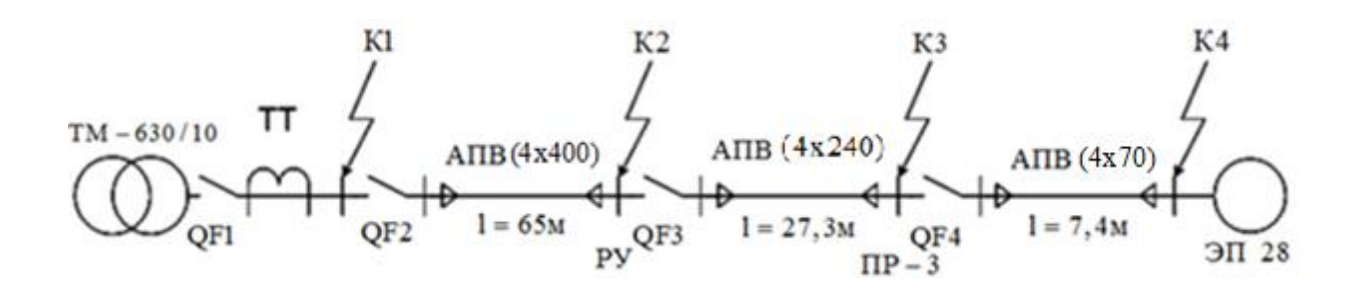


Рисунок 9 — Схема для расчёта токов КЗ для распределительной сети Расчет ведем в абсолютных единицах.

При помощи справочных данных находим все сопротивления, которые необходимы при расчёте токов КЗ [5].

Сопротивления трансформатора:

$$R_{TD} = 3.1 \text{ MOM}, X_{TD} = 13.6 \text{ MOM}.$$

Сопротивления автоматического выключателя QF1:

$$R_{OF1} = 0.09 \text{ mOm}, X_{OF1} = 0.09 \text{ mOm}, R_{kOF1} = 0.13 \text{ mOm}.$$

Сопротивления автоматического выключателя QF2:

$$R_{QF2} = 0.13 \text{ mOm}, \ X_{QF2} = 0.14 \text{ mOm}, \ R_{kQF2} = 0.27 \text{ mOm}.$$

Сопротивления автоматического выключателя QF3:

$$R_{OE3} = 0.25 \text{ MOm}, X_{OE3} = 0.27 \text{ MOm}, R_{kOE3} = 0.5 \text{ MOm}.$$

Сопротивления автоматического выключателя QF4:

$$R_{QF4} = 0.5 \text{ mOm}, X_{QF4} = 0.6 \text{ mOm}, R_{kQF4} = 0.65 \text{ mOm}.$$

Сопротивления первичной обмотки трансформатора тока ТТ:

$$R_{TT} = 0.07 \text{ MOm}, X_{TT} = 0.05 \text{ MOm}.$$

Сопротивления кабельной линии КЛ1:

$$R_{\text{KJII}} = r_0 \cdot l = 0,08 \cdot 65 = 5,2 \text{ mOm}, X_{\text{KJII}} = x_0 \cdot l = 0,042 \cdot 65 = 2,73 \text{ mOm}.$$

Сопротивления кабельной линии КЛ2:

$$R_{\text{KЛ2}} = r_{\!_{0}} \cdot l = 0,12 \cdot 27,3 = 3,276 \,\text{мOm}$$
 , $X_{\text{KЛ2}} = x_{\!_{0}} \cdot l = 0,058 \cdot 27,3 = 1,58 \,\text{мOm}$. Сопротивления кабельной линии КЛ3:

$$R_{\text{клз}} = r_0 \cdot l = 0,42 \cdot 7,4 = 3,108 \text{ мОм}$$
, $X_{\text{клз}} = x_0 \cdot l = 0,061 \cdot 7,4 = 0,45 \text{ мОм}$. Переходные сопротивления ступеней распределения:

$$R_{PY HH} = 15 \text{ MOM}, R_{IIP3} = 20 \text{ MOM}.$$

Активные переходные сопротивления неподвижных контактных соединений:

$$R_{kKJI} = 0,005 \text{ MOm}, R_{kKJI2} = 0,012 \text{ MOm}, R_{kKJI3} = 0,029 \text{ MOm}.$$

Упростим схему замещения, определив эквивалентные сопротивления на участках схемы между точками КЗ

$$R_1 = R_{TP} + R_{QF1} + R_{TT} + R_{kQF1} = 3.1 + 0.09 + 0.07 + 0.13 = 3.39 \text{mOm};$$

$$X_1 = X_{TP} + X_{QF1} + X_{TT} = 13.6 + 0.09 + 0.05 = 13.74 \text{ mOm};$$

$$\begin{split} R_{_{2}} = R_{_{QF2}} + \ R_{_{kQF2}} + R_{_{kKJII}} + R_{_{KJII}} + R_{_{PY\;HH}} = 0,13 + 0,27 + 0,005 + 5,2 + 15 = 20,605\text{mOm};\\ X_{_{2}} = \ X_{_{OF2}} + \ X_{_{KJII}} = \ 0,14 \ + \ 2,73 = \ 2,87 \text{ mOm}; \end{split}$$

$$R_{_{3}}=R_{_{QF3}}+\ R_{_{kQF3}}+R_{_{kKJ12}}+R_{_{KJ12}}+R_{_{\Pi P3}}=0,25+0,5+0,012+3,276+20=24,038\text{mOm};$$

$$X_3 = X_{QF3} + X_{KJ12} = 0,27 + 1,58 = 1,85 \text{ мОм;}$$

$$R_4 = R_{QF4} + R_{kQF4} + R_{kKJ13} + R_{KJ13} = 0,5 + 0,65 + 0,029 + 3,108 = 4,287 \text{ мОм;}$$

$$X_4 = X_{QF4} + X_{KJ13} = 0,6 + 0,45 = 1,05 \text{ мОм.}$$

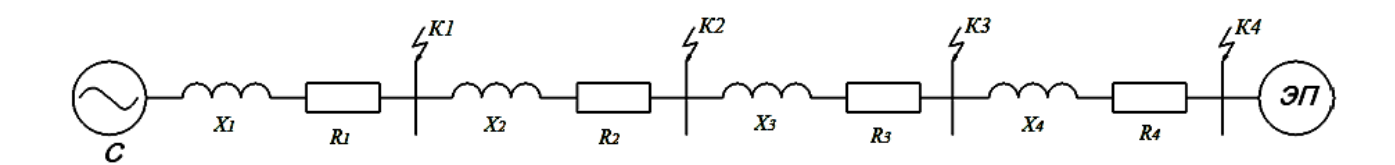


Рисунок 10 – Упрощенная схема замещения цеховой сети

Пример расчета тока КЗ для точки К1:

$$Z_{K1} = \sqrt{R_1^2 + X_1^2} = \sqrt{3,39^2 + 13,74^2} = 14,15 \text{ MOM};$$

$$I_{K1}^{(3)} = \frac{U_{cp.\text{HOM}}}{\sqrt{3} \cdot Z_{K1}} = \frac{400}{\sqrt{3} \cdot 14,15} = 16,34 \text{ KA};$$

$$i_{y\partial} = \sqrt{2} \cdot k_{y\partial} \cdot I_{K3}^{(3)} = \sqrt{2} \cdot 1,43 \cdot 16,34 = 32,95 \text{ KA};$$

$$I_{K1}^{(2)} = \frac{\sqrt{3}}{2} \cdot I_{K1}^{(3)} = \frac{\sqrt{3}}{2} \cdot 16,34 = 14,13 \text{ KA}.$$

Результаты расчетов токов КЗ для остальных точек приведены в таблице 21.

Следующим этапом определяем ток однофазных КЗ

Ток однофазного КЗ определяется по формуле:

$$I_{K3}^{(1)} = \frac{U_{\phi}}{\frac{Z_{TP}^{(1)}}{3} + Z_{\phi-0}};$$

где U_{φ} – фазное напряжение в точке КЗ, В;

 $Z_{\varphi \text{-}0}$ – полное сопротивление петли «фаза нуль» до точки КЗ, мОм;

 $Z^{(1)}_{\ \ \ \ TP}$ – полное сопротивление трансформатора при однофазном КЗ, мОм.

К схеме замещения нужно добавить сопротивления нулевых проводников.

Изменяются сопротивления нулевой жилы КЛ:

$$m R_{0 ext{-}KJI1} = r_0\cdot l = 0,08\cdot 65/4 = 1,3$$
 мОм $m R_{0 ext{-}KJI2} = r_0\cdot l = 0,12\cdot 27,3/4 = 0,82$ мОм $m R_{0 ext{-}KJI3} = r_0\cdot l = 0,42\cdot 7,4/4 = 0,78$ мОм

Помимо этого, индуктивные сопротивления КЛ также изменяются:

$$X_{\text{КЛ1}} = \mathbf{x}_0 \cdot l = 0,042 \cdot 65/4 = 0,68 \text{ мОм}$$
 $X_{\text{КЛ2}} = \mathbf{x}_0 \cdot l = 0,058 \cdot 27,3/4 = 0,395 \text{ мОм}$ $X_{\text{КЛ3}} = \mathbf{x}_0 \cdot l = 0,061 \cdot 7,4/4 = 0,112 \text{ мОм}$

Сопротивления трансформатора:

$$Z_{TP}^{(1)} = 129 \text{ MOM};$$

Схема замещения цеховой сети для расчета токов однофазных КЗ не несёт в себе изменений. Изменяются лишь значения сопротивлений элементов сети.

$$\begin{split} R_1 &= R_{QF1} + R_{TT} + R_{kQF1} = 0,09 + 0,07 + 0,13 = 0,29 \text{ mOm} \\ X_1 &= X_{QF1} + X_{TT} = 0,09 + 0,05 = 0,14 \text{ mOm} \\ R_2 &= R_{QF2} + R_{kQF2} + R_{kKJ1} + R_{KJ1} + R_{0 - KJ1} + R_{PYHH} = \\ 0,13 + 0,27 + 0,005 + 5,2 + 1,3 + 15 = 21,905 \text{ mOm} \\ X_2 &= X_{QF2} + X_{KJ1} = 0,14 + 0,68 = 0,82 \text{ mOm} \\ R_3 &= R_{QF3} + R_{kQF3} + R_{kKJ2} + R_{0 - KJ2} + \\ R_{KJ12} + R_{\Pi P3} &= 0,25 + 0,5 + 0,012 + 3,276 + 0,82 + 20 = 24,858 \text{mOm} \\ X_3 &= X_{QF3} + X_{KJ12} = 0,27 + 0,395 = 0,665 \text{ mOm} \\ R_4 &= R_{QF4} + R_{kQF4} + R_{kKJ3} + R_{KJ3} + R_{0 - KJ3} = 0,5 + 0,65 + 0,029 + 0,45 + 0,78 = 2,409 \text{ mOm} \\ X_4 &= X_{QF4} + X_{KJ13} = 0,6 + 0,112 = 0,712 \text{mOm} \end{split}$$

Пример расчета тока КЗ для точки К1:

$$Z_{\phi=0} = \sqrt{R_1^2 + X_1^2} = \sqrt{0,29^2 + 0,14^2} = 0,32 \text{ MOm};$$

$$I_{K1}^{(1)} = \frac{U_{\phi}}{\frac{Z_{TP}^{(1)}}{3} + Z_{\phi=0}} = \frac{230}{\frac{129}{3} + 0,32} = 5,31 \text{ kA};$$

Результаты расчетов токов КЗ для остальных точек приведены в таблице 13.

Таблица 13 – Сводная ведомость токов КЗ

Расчетные точки		К1	К2	К3	К4
	$I_{K3}^{(1)}$	5,31	3,53	2,55	2,49
Токи КЗ,	$I_{K3}^{(2)}$	14,13	6,85	3,88	3,58
кА	$I_{K3}^{(3)}$	16,34	7,92	4,49	4,14
	$i_{y\partial}$	32,95	8,08	6,33	5,84

2.19 Расчет питающей и распределительной сети по условиям допустимой потери напряжения. Построения эпюры отклонений напряжения

В соответствии с правилами устройства электроустановок напряжение может отклонятся от номинального напряжения может лишь на $\pm 5\%$ Uн для силовых сетей промышленного предприятия. Отклонение от +5 до -2,5 % от Uн допустимо для сетей освещения промышленного предприятия.

Для цепочки линии от шин ГПП до зажимов наиболее удаленного от цеховой ТП или наиболее мощного ЭП определяем потери напряжения в сети и сравниваем с допустимым уровнем. Далее следует построить эпюры отклонения напряжения, которые выполняются для максимальных, минимальных и послеаварийных режимах.

Расчёт будем производить по следующей цепочке: ГПП – ТП2 – РУ - ПР3 - ЭП 28 (Вентилятор).

Расчёт производим в следующей последовательности:

- 1. Изображается схема замещения сети;
- 2. Составление расчетных нагрузок для всех режимов работы сети.
- 3. Проводится расчёт потерь напряжения для каждого из режимов работы.
- 4. По итогам расчёта изображается эпюра отклонений напряжения для всех возможных режимов.

Расчёт потерь напряжения в сети для послеаварийного режима

Нагрузки узлов сети для послеаварийного режима известны из результатов расчёта электрических нагрузок.

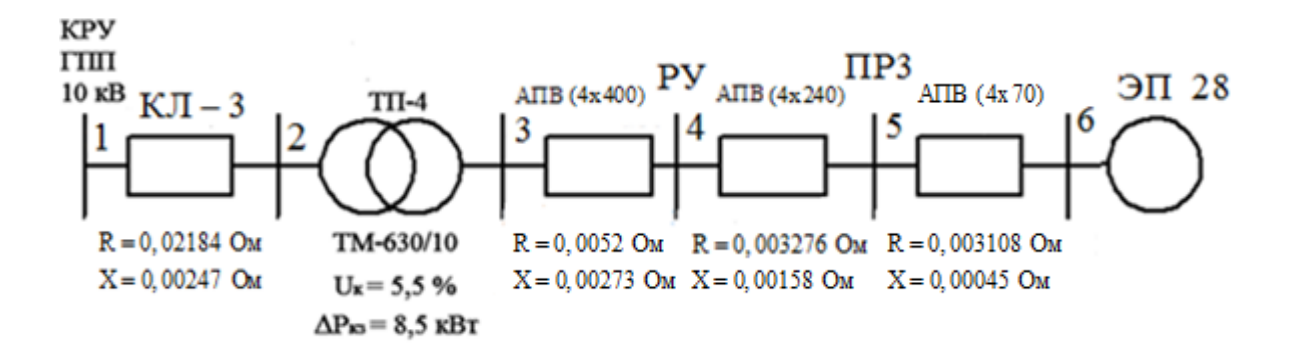


Рисунок 11 — Радиальная схема для расчета отклонения напряжения <u>Рассмотрим участок 1 — 2</u>

Расчетная активная нагрузка на данном участке соответсвует:

$$P_{1-2} = P_{pacy.TII2} + \Delta P_{Tp} = 705,31+8,451=713,76$$
 кВт;

где $P_{pacy.T\Pi 4}$ — расчетная активная нагрузка ТП-2.

 ΔP_{Tp} - потери активной мощности в трансформаторе ТП-2.

Расчетная реактивная нагрузка на данном учатке определяется как:

$$Q_{1-2} = Q_{pacy,TTI4} + \Delta Q_{Tp} - Q_{BK_TTI4} = 543,315 + 46,932 - 500 = 90,25 \text{ kBap};$$

где $Q_{pacч.T\Pi 4}$ – расчетная реактивная нагрузка ТП-4.

 ΔQ_{Tp} - потери реактивной мощности в трансформаторе ТП-4.

 $Q_{\it БK\ T\Pi 4}$ – мощность конденсаторных батарей, установленных на ТП-4.

Потери напряжения на этом участке рассчитываем из выражения:

$$\Delta U_{1-2} = \frac{P_{1-2} \cdot R_{1-2} + Q_{1-2} \cdot X_{1-2}}{10 \cdot U_1^2}, \%$$

где R_{1-2} , X_{1-2} — активное и индуктивное сопротивления кабельной линии, которая питает ТП-2.

 U_{I} — напряжение на шинах комплектного распределительного устройства ГПП.

Напряжение в начале участка в послеаварийном режиме равно U_I =10,5 кВ.

$$\Delta U_{1-2} = \frac{P_{1-2} \cdot R_{1-2} + Q_{1-2} \cdot X_{1-2}}{10 \cdot U_1^2} = \frac{713,76 \cdot 0,04368 + 90,25 \cdot 0,00494}{10 \cdot 10,5^2} = 0,029\%$$

$$\Delta U_{1-2} = \Delta U_{(1-2)\%} \cdot \frac{U_1}{100} = 0,029 \cdot \frac{10500}{100} = 3,05 \text{ B};$$

$$U_2 = U_1 - \Delta U_{1-2} = 10500 - 3,05 = 10496,95 \text{ B}.$$

Рассмотрим участок 2 – 3

Мощность, которая передаётся через вторичную обмотку трансформатора цеха:

$$P_{2-3} = P_{pacu,TH2} = 705,31 \text{ kBT};$$

где $P_{\textit{pacч.TП4}}$ — расчетная активная нагрузка ТП-2 .

$$Q_{2-3} = Q_{pac4,TH2} - Q_{bK-TH2} = 543,315 - 500 = 43,315$$
 кВар;

где $Q_{pacч.T\Pi 4}$ – расчетная реактивная нагрузка ТП-2.

 $Q_{\mathit{БK_T\Pi4}}$ – мощность конденсаторных батарей, установленных на ТП-2.

Потери напряжения на приведенном участке определяются потерей напряжения на трансформаторе цеха и находятся согласно выражению:

$$\Delta U_T = \beta_T \cdot (U_a \cos \varphi_2 + U_p \sin \varphi_2) + \frac{\beta_T^2}{200} \cdot (U_a \sin \varphi_2 - U_p \cos \varphi_2)^2$$

где U_a , U_p — активная и реактивная составляющие напряжения короткого замыкания, $U_{k\%}$.

 $cos\phi_2$ и $sin\phi_2$ — коэффициенты мощности, определяемые по нагрузке трансформатора.

Активная составляющая напряжения КЗ цехового трансформатора находится согласно:

$$U_a\% = \frac{\Delta P_{\kappa} \cdot 100}{S_{\text{\tiny HOM.mp}}} = \frac{8,5 \cdot 100}{630} = 1,349\%$$

$$U_{\scriptscriptstyle D}\% = \sqrt{U_{\scriptscriptstyle K3}^2 - U_{\scriptscriptstyle d}^2} = \sqrt{5.5^2 - 1.349^2} = 5.332\%$$

Коэффициенты мощности для вторичной нагрузки цехового трансформатора:

$$\cos \varphi_2 = \frac{P_{2-3}}{\sqrt{(P_{2-3})^2 + (Q_{2-3})^2}} = \frac{705,31}{\sqrt{(705,31)^2 + (43,315)^2}} = 0,998$$

$$\sin \varphi_2 = \frac{Q_{2-3}}{\sqrt{(P_{2-3})^2 + (Q_{2-3})^2}} = \frac{43,315}{\sqrt{(705,31)^2 + (43,315)^2}} = 0,061$$

 $\beta_{\rm T}$ — отношение фактической нагрузки одного трансформатора к его номинальной мощности в послеаварийном:

$$\begin{split} \beta_T &= \frac{\sqrt{(P_{1-2})^2 + (Q_{1-2})^2}}{S_{_{H,mp}}} = \frac{\sqrt{713,76^2 + 43,315^2}}{630} = 1,14 \\ \Delta U_T &= \beta_T \cdot (U_a \cos \varphi_2 + U_p \sin \varphi_2) + \frac{\beta_T^2}{200} \cdot (U_a \sin \varphi_2 - U_p \cos \varphi_2)^2 = \\ &= 1,14 \cdot (1,349 \cdot 0,998 + 5,332 \cdot 0,061) + \frac{1,14^2}{200} \cdot (1,349 \cdot 0,061 - 5,332 \cdot 0,998)^2 = 2,088\% \\ \Delta U_{2-3} &= \Delta U_{(2-3)\%} \cdot \frac{U_2}{100} = 2,088 \cdot \frac{10496,95}{100} = 210,78 \text{ B}; \\ U_3 &= (U_2 - \Delta U_{2-3}) \cdot \frac{U_{HH}}{U_{PM}} = (10496,95 - 210,78) \cdot \frac{400}{10500} = 391,85 \text{ B}. \end{split}$$

Рассмотрим участок 3 – 4

Расчетная активная нагрузка на данном участке равна активной нагрузке РУ-ПР3:

$$P_{3-4} = P_{PV-IIP3} = 198,52 \text{ kBT};$$

Аналогично расчётная реактивная нагрузка:

$$Q_{3-4} = Q_{PV-\Pi P3} = 163,4$$
 кВар;

Определим потери напряжение на участке:

$$\Delta U_{3-4} = \frac{P_{3-4} \cdot R_{3-4} + Q_{3-4} \cdot X_{3-4}}{10 \cdot U_3^2} = \frac{198,52 \cdot 0,0052 + 163,4 \cdot 0,00273}{10 \cdot 0,39185^2} = 0,963\%$$

$$\Delta U_{3-4} = \Delta U_{(3-4)\%} \cdot \frac{U_3}{100} = 0,963 \cdot \frac{391,85}{100} = 3,77 \text{ B};$$

$$U_4 = U_3 - \Delta U_{3-4} = 391,85 - 3,77 = 388,08 \text{ B}.$$

<u>Рассмотрим участок 4 — 5:</u>

Расчетная активная нагрузка на рассматриваемом участке равна активной нагрузке ПР3:

$$P_{4-5} = P_{\Pi P3} = 113 \text{ kBT};$$

Аналогично определяем реактивную нагрузку:

$$Q_{4-5} = Q_{\Pi P3} = 118,4$$
 кВар;

Рассчитываем потери напряжения на участке:

$$\Delta U_{4-5} = \frac{P_{4-5} \cdot R_{4-5} + Q_{4-5} \cdot X_{4-5}}{10 \cdot U_4^2} = \frac{113 \cdot 0,003276 + 118,4 \cdot 0,00158}{10 \cdot 0,38808^2} = 0,37\%$$

$$\Delta U_{4-5} = \Delta U_{(4-5)\%} \cdot \frac{U_4}{100} = 0,37 \cdot \frac{388,08}{100} = 1,44 \text{ B};$$

$$U_5 = U_4 - \Delta U_{4-5} = 388,08 - 1,44 = 386,64 \text{ B}.$$

<u>Рассмотрим участок 5 — 6:</u>

Расчетная активная нагрузка на участке 5 – 6 соответствует активной мощности ЭП28:

$$P_{5-6} = P_{HOM} = 55 \text{ kBT};$$

Аналогично определяется и реактивная нагрузка:

$$Q_{5-6} = Q_{\text{ном.ЭП28}} = 41,25$$
 кВар;

Потери напряжения на участке:

$$\Delta U_{5-6} = \frac{P_{5-6} \cdot R_{5-6} + Q_{5-6} \cdot X_{5-6}}{10 \cdot U_5^2} = \frac{55 \cdot 0,003108 + 41,25 \cdot 0,00045}{10 \cdot 0,38664^2} = 0,019\%$$

$$\Delta U_{5-6} = \Delta U_{(5-6)\%} \cdot \frac{U_5}{100} = 0,019 \cdot \frac{386,64}{100} = 0,07 \text{ B};$$

$$U_6 = U_5 - \Delta U_{5-6} = 386,64 - 0,07 = 386,57 \text{ B}.$$

Расчёт потерь напряжение в сети при режиме максимальных нагрузок

По результатам расчета электрических нагрузок необходимо использовать известные нагрузки узлов сети для максимального режима.

<u>Участок 1 – 2</u>

Расчетная активная нагрузка на участке 1 - 2:

$$P_{1-2} = P_{pacu,TTI2} + \Delta P_{Tp} = 705,31+8,451 = 713,76 \text{ kBt};$$

где $P_{pacy,T\Pi 4}$ — расчетная активная нагрузка ТП-2.

 ΔP_{Tp} - потери активной мощности в трансформаторе ТП-2.

Расчетная реактивная нагрузка на участке 1 - 2:

$$Q_{1-2} = Q_{pacy\ TII4} + \Delta Q_{Tp} - Q_{EK} TII4} = 543,315 + 46,932 - 500 = 90,25 \text{ kBap};$$

где $Q_{pacy.T\Pi 4}$ – расчетная реактивная нагрузка ТП-4.

 $\Delta Q_{\mathit{Tp}}\,$ - потери реактивной мощности в трансформаторе ТП-4.

 $Q_{\mathit{БK_T\Pi4}}$ – мощность конденсаторных батарей, установленных на ТП-4.

Потери напряжения на данном участке определим по выражению:

$$\Delta U_{1-2} = \frac{P_{1-2} \cdot R_{1-2} + Q_{1-2} \cdot X_{1-2}}{10 \cdot U_1^2}, \%$$

где R_{1-2} , X_{1-2} — активное и индуктивное сопротивления КЛ-3, питающей ТП-2. U_I — напряжение на шинах КРУ ГПП.

Величину напряжения в начале участка в максимальном режиме принимаем равным U_I =10,5 кВ.

$$\Delta U_{1-2} = \frac{P_{1-2} \cdot R_{1-2} + Q_{1-2} \cdot X_{1-2}}{10 \cdot U_1^2} = \frac{713,76 \cdot 0,02184 + 90,25 \cdot 0,00247}{10 \cdot 10,5^2} = 0,014\%$$

$$\Delta U_{1-2} = \Delta U_{(1-2)\%} \cdot \frac{U_1}{100} = 0,014 \cdot \frac{10500}{100} = 1,47 \text{ B};$$

$$U_2 = U_1 - \Delta U_{1-2} = 10500 - 3,045 = 10498,53 \text{ B}.$$

Участок 2 - 3

Потоки мощности, передаваемые через вторичную обмотку цехового трансформатора:

$$P_{2-3} = P_{pacy\ TII2} = 705,31 \text{ kBT};$$

где $P_{\it pacч.T\Pi4}$ — расчетная активная нагрузка ТП-2 .

$$Q_{2-3} = Q_{pac4.TH2} - Q_{BK_TH2} = 543,315 - 500 = 43,315$$
 кВар;

где $Q_{pacч.T\Pi 4}$ – расчетная реактивная нагрузка ТП-2.

 $Q_{\mathit{БK_T\Pi4}}$ – мощность конденсаторных батарей, установленных на ТП-2.

Потери напряжения на участке определяются потерей напряжения на цеховом трансформаторе и определяется по выражению:

$$\Delta U_T = \beta_T \cdot (U_a \cos \varphi_2 + U_p \sin \varphi_2) + \frac{\beta_T^2}{200} \cdot (U_a \sin \varphi_2 - U_p \cos \varphi_2)^2$$

где U_a , U_p — активная и реактивная составляющие напряжения K3, $U_{k\%}$. $cos \varphi_2$ и $sin \varphi_2$ — коэффициенты мощности по нагрузке трансформатора (с учетом установки компенсирующих устройств).

Активная составляющая напряжения короткого замыкания цехового трансформатора определяется:

$$U_a\% = \frac{\Delta P_{\kappa} \cdot 100}{S_{\text{HOM.mp}}} = \frac{8,5 \cdot 100}{630} = 1,349\%$$

$$U_p\% = \sqrt{U_{\kappa 3}^2 - U_a^2} = \sqrt{5,5^2 - 1,349^2} = 5,332\%$$

Коэффициенты мощности для вторичной нагрузки цехового трансформатора определяем по выражению:

$$\cos \varphi_2 = \frac{P_{2-3}}{\sqrt{(P_{2-3})^2 + (Q_{2-3})^2}} = \frac{705,31}{\sqrt{(705,31)^2 + (43,315)^2}} = 0,998$$

$$\sin \varphi_2 = \frac{Q_{2-3}}{\sqrt{(P_{2-3})^2 + (Q_{2-3})^2}} = \frac{43,315}{\sqrt{(705,31)^2 + (43,315)^2}} = 0,061$$

 $\beta_{\rm T}$ — отношение фактической нагрузки одного трансформатора к его номинальной мощности в рассматриваемом режиме работы:

$$\begin{split} \beta_T &= \frac{\sqrt{(P_{1-2})^2 + (Q_{1-2})^2}}{S_{n.mp}} = \frac{\sqrt{713,76^2 + 43,315^2}}{2 \cdot 630} = 0,57 \\ \Delta U_T &= \beta_T \cdot (U_a \cos \varphi_2 + U_p \sin \varphi_2) + \frac{\beta_T^2}{200} \cdot (U_a \sin \varphi_2 - U_p \cos \varphi_2)^2 = \\ &= 0,57 \cdot (1,349 \cdot 0,998 + 5,332 \cdot 0,061) + \frac{0,57^2}{200} \cdot (1,349 \cdot 0,061 - 5,332 \cdot 0,998)^2 = 0,997\% \\ \Delta U_{2-3} &= \Delta U_{(2-3)\%} \cdot \frac{U_2}{100} = 0,977 \cdot \frac{10498,53}{100} = 102,57 \text{ B}; \\ U_3 &= (U_2 - \Delta U_{2-3}) \cdot \frac{U_{HH}}{U_{BH}} = (10498,53 - 102,57) \cdot \frac{400}{10500} = 396,04 \text{ B}. \end{split}$$

Участок 3 – 4

Расчетная активная нагрузка на участке 3 – 4:

$$P_{3-4} = P_{PV-\Pi P3} = 198,52$$
 кВт;

где $P_{PY-\Pi P3}$ – расчетная активная нагрузка РУ-ПР3.

Расчетная реактивная нагрузка на участке 3 – 4:

$$Q_{3-4} = Q_{PV-IIP3} = 163,4$$
 кВар;

где $Q_{PV-\Pi P3}$ – расчетная реактивная нагрузка РУ-ПР3.

$$\Delta U_{3-4} = \frac{P_{3-4} \cdot R_{3-4} + Q_{3-4} \cdot X_{3-4}}{10 \cdot U_3^2} = \frac{198,52 \cdot 0,0052 + 163,4 \cdot 0,00273}{10 \cdot 0,39604^2} = 0,943\%$$

$$\Delta U_{3-4} = \Delta U_{(3-4)\%} \cdot \frac{U_3}{100} = 0,943 \cdot \frac{396,04}{100} = 2,67 \text{ B};$$

$$U_4 = U_3 - \Delta U_{3-4} = 396,04 - 2,67 = 392,31 \text{ B}.$$

Участок 4 - 5

Расчетная активная нагрузка на участке 4 - 5:

$$P_{4-5} = P_{\Pi P3} = 113 \text{ kBT};$$

где $P_{\Pi P3}$ – расчетная активная нагрузка ПР3.

Расчетная реактивная нагрузка на участке 4 - 5:

$$Q_{4-5} = Q_{\Pi P3} = 118,4$$
 кВар;

где $Q_{\Pi P3}$ – расчетная реактивная нагрузка ПР3.

$$\Delta U_{4-5} = \frac{P_{4-5} \cdot R_{4-5} + Q_{4-5} \cdot X_{4-5}}{10 \cdot U_4^2} = \frac{113 \cdot 0,003276 + 118,4 \cdot 0,00158}{10 \cdot 0,39231^2} = 0,362\%$$

$$\Delta U_{4-5} = \Delta U_{(4-5)\%} \cdot \frac{U_4}{100} = 0,362 \cdot \frac{392,31}{100} = 1,42 \text{ B};$$

$$U_5 = U_4 - \Delta U_{4-5} = 392,31 - 1,42 = 390,89 \text{ B}.$$

<u>Участок 5 – 6</u>

Расчетная активная нагрузка на участке 5 - 6:

$$P_{5-6} = P_{\text{HOM.} \supset \Pi 28} = 55 \text{ kBT};$$

где P_{HOM} ЭП28— номинальная активная мощность ЭП 28.

Расчетная реактивная нагрузка на участке 5 - 6:

$$Q_{5-6} = Q_{\text{HOM } 2H28} = 41,25 \text{ kBap};$$

где $Q_{\text{ном.} 3\Pi 28}$ — номинальная реактивная мощность 3Π 28.

$$\Delta U_{5-6} = \frac{P_{5-6} \cdot R_{5-6} + Q_{5-6} \cdot X_{5-6}}{10 \cdot U_5^2} = \frac{55 \cdot 0,003108 + 41,25 \cdot 0,00045}{10 \cdot 0,39089^2} = 0,124\%$$

$$\Delta U_{5-6} = \Delta U_{(5-6)\%} \cdot \frac{U_5}{100} = 0,124 \cdot \frac{390,89}{100} = 0,48 \text{ B};$$

$$U_6 = U_5 - \Delta U_{5-6} = 390,89 - 0,48 = 390,41 \text{ B}.$$

Расчёт режима минимальных нагрузок

Принимаем равной напряжение U_1 =10 кВ величину напряжения в начале участка в режиме минимальных нагрузок.

Для определения потоков мощностей для минимального режима следует обратиться к характерному суточному графику электрических нагрузок. В случае для данного цеха примем минимальную активную мощность равной $P_{min}=0,3\cdot P_{max}$, а минимальная реактивная мощность соответственно равна $Q_{min}=0,5\cdot Q_{max}$.

$$P_{1-2} = 0,3 \cdot 713,76 = 214,128 \text{ кВт;}$$
 $Q_{1-2} = 0,5 \cdot 90,25 = 45,125 \text{ кВар;}$

$$P_{2-3}=0,3\cdot705,31=211,593$$
 кВт; $Q_{2-3}=0,5\cdot43,315=21,658$ кВар;

$$P_{3-4} = 0,3 \cdot 198,52 = 59,556$$
 кВт; $Q_{3-4} = 0,5 \cdot 163,4 = 81,7$ кВар;

$$P_{4-5} = 0.3 \cdot 113 = 33.9 \text{ kBT}; \quad Q_{4-5} = 0.5 \cdot 118.4 = 59.2 \text{ kBap};$$

$$P_{5-6} = 0, 3 \cdot 55 = 16, 5 \text{ кВт}; \quad Q_{5-6} = 0, 5 \cdot 41, 25 = 20, 625 \text{ кВар}.$$

Далее аналогично производим расчёт для режима минимальных нагрузок, что и для режима максимальных нагрузок и послеаварийного режима, снижаем лишь активную и реактивную мощности. По итогам расчёта составим таблицу 14.

Таблица 14 – Результаты расчета режимов

Участок:	1-2	2-3	3-4	4-5	5-6		
Марка кабеля	ААШв – 2(3x35)	TM - 630/10	AΠB – (4x400)	AΠB – (4x240)	АПВ - (4x70)		
R, Ом	0,02184	Uĸ=5,5%	0,0052	0,003276	0,003108		
Х, Ом	0,00247	ΔРк3=8,5 кВт	0,00273	0,00158	0,00045		
		Послеаварийный р	ежим				
Р, кВт	713,76	705,31	198,52	113	55		
Q, ĸBap	90,25	43,315	163,4	118,4	41,25		
ΔU, %	0,029	2,088	0,963	0,37	0,019		
ΔU, Β	3,05	210,78	3,77	1,44	0,07		
	Максимальный режим						
Р, кВт	713,76	705,31	198,52	113	55		
Q, кВар	90,25	43,315	163,4	118,4	41,25		
ΔU, %	0,014	0,977	0,943	0,362	0,124		
ΔU, B	1,47	102,57	3,73	1,42	0,48		
Минимальный режим							
Р, кВт	214,128	211,593	59,556	33,9	16,5		
Q, кВар	45,125	21,658	81,7	59,2	20,625		
ΔU, %	0,004	0,323	0,335	0,129	0,038		
ΔU, B	0,42	33,91	1,34	0,51	0,15		

В ПРИЛОЖЕНИИ 12 представлены эпюры отклонения напряжения для максимального и минимального режимов.

2.20 Построение карты селективности действия аппаратов защиты

Построение карта селективности производится в логарифмической системе координат. Карта имеет функцию проверки правильности выбора аппаратов защиты. На карте селективности отмечаются:

- Номинальный и пусковой токи ЭП;
- Расчетный и пиковый ток ВРУ;
- Расчетный и пиковый ток РУ;
- Расчетный и пиковый ТП;
- Защитные характеристики аппаратов защиты;
- Рассчитанные токи короткого замыкания сети 0,4 кВ

Карту селективности действия аппаратов защиты будем строить для цепочки защит, начиная с трансформаторной подстанции и заканчивая самым удаленным электроприёмником: ТП2 – ВРУ - ПР3 – ЭП 28 (Вентилятор).

Таблица 15 – Данные для построения карты селективности действия аппаратов защиты

	ТП4	ВРУ	ПР3	ЭП 28	Ток	КЗ в соо	тв. точка	ах, кА
	1114	БРУ	11173	311 26	1	2	3	4
I_p , A	957,19	371,6	249	1				
Inux, A	1736,84	1151,3	1028,7	-	16,34	7,92	4,49	4,14
Іном, А	ı	ı	_	149,39				,
Inver, A	_	_	_	746,99				

Таблица 16 – Данные для построения карты селективности действия аппаратов защиты

		-
Наименование аппарата защиты	Номинальный ток расцепителя, А	Номинальный ток срабатывания уставки в зоне КЗ, А
ВА 55-43 (ТП4)	1280	2560
ВА 51-29 (РУ)	500	2000
ВА 57-39(ПР3)	400	1600
ВА 57-35 (ЭП28)	250	1200

Карта селективности действия защиты в установках до 1000 В приведена в *ПРИЛОЖЕНИИ 13*.

В приложении 13 приняты следующие обозначения:

- 1 номинальный ток электроприемника № 28;
- 2 расчетный ток распределительного устройства;
- 3 расчетный ток пункта распределительного №3;
- 4 расчетный ток трансформаторной подстанции №2;
- 5 пусковой ток электроприемника № 28;
- 6 пиковый ток распределительного устройства;
- 7 пиковый ток пункта распределительного №3;

- 8 пиковый ток трансформаторной подстанции №2;
- 9 защитная характеристика ВА57-35 (ЭП28);
- 10 защитная характеристика ВА57-39(ПР-3);
- 11 защитная характеристика ВА51-29 (РУ);
- 12 защитная характеристика ВА55-43(ТП-2);
- 13 ток короткого замыкания в точке К4;
- 14 ток короткого замыкания в точке К3;
- 15 ток короткого замыкания в точке К2;
- 16 ток короткого замыкания в точке К1.

3. СПЕЦИАЛЬНОЕ ЗАДАНИЕ

Выбор оптимального тарифа для электроснабжения завода

1.Одноставочный

Применяется для населения и маломощных потребителей (до 670 кВт), так как не требует приборов для измерения нагрузки. Данный тариф не подходит так как присоединенная мощность предприятия $P^{max} = 6900$ кВт.

2. Двухствочный

Рекомендуют для промышленных предприятий с присоединенной мошностью более 670 кВт.

Предусматривает оплату заявляемой потребителем мощности, участвующей в максимуме нагрузки энергосистемы Ртах (основная ставка), так и потребленной электроэнергии, учтенной счетчиками:

$$\Pi^{(2)} = P^{\text{max}} \cdot T^{\text{max}} + W \cdot T^{(2)}$$

Где, T^{max} - (р./кВт в месяц) — основная тарифная ставка за мощность, участвующую в максимуме нагрузки энергосистемы;

W - энергия, потребленная за расчетный период (месяц) по показаниям приборов учета, кВтч;

T⁽²⁾ - тарифная ставка за энергию, р./кВтч.

Из нормативных документов «Томской энергосбытовой компании» на І полугодие для промышленных предприятий: $T^{max} = 320,12 \text{ руб} / \text{кВтч и}$ $T^{(2)} = 2,17 \text{ руб} / \text{кВтч}$.

Для определения электроэнергии, потребляемой за расчетный период по показаниям приборов учета построим суточный и годовой графики нагрузки для данного завода:

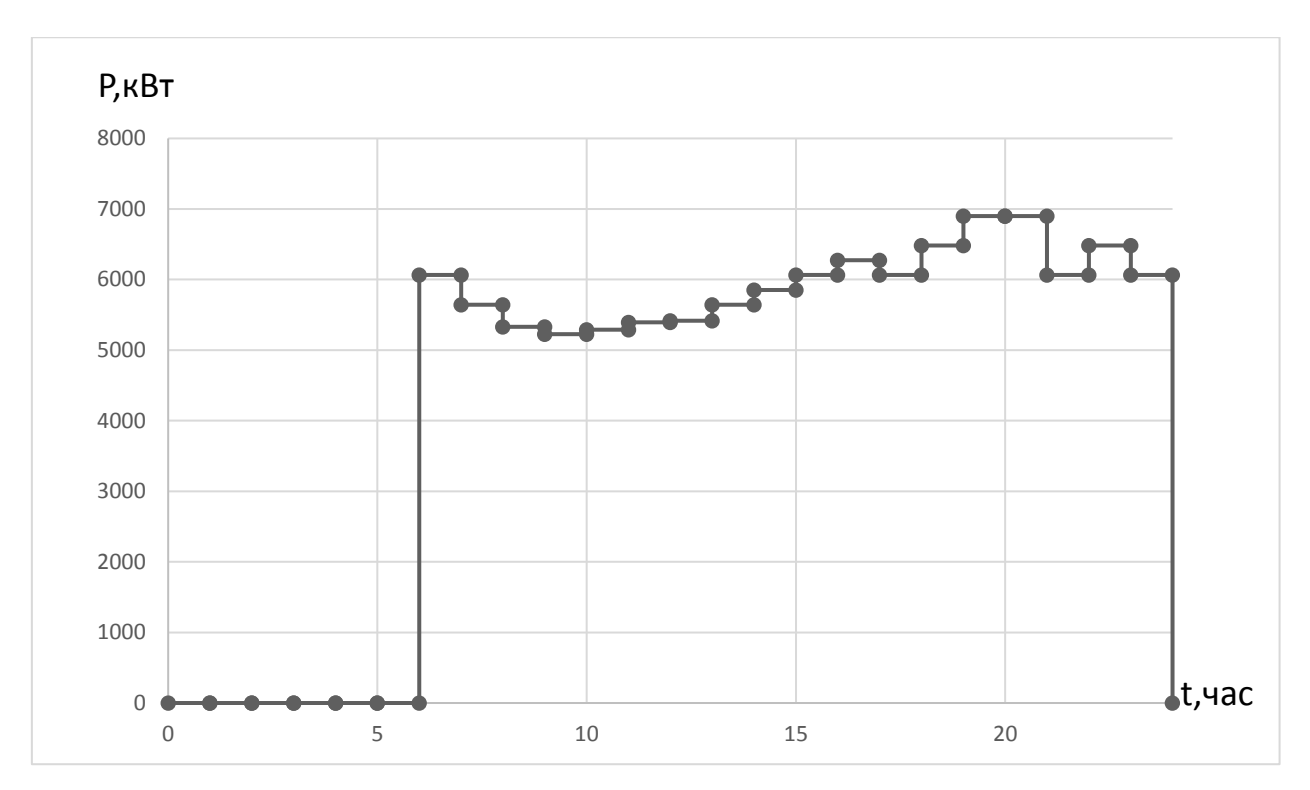


Рисунок 13 - Суточный график нагрузки

На основе суточного постоим годовой график нагрузки

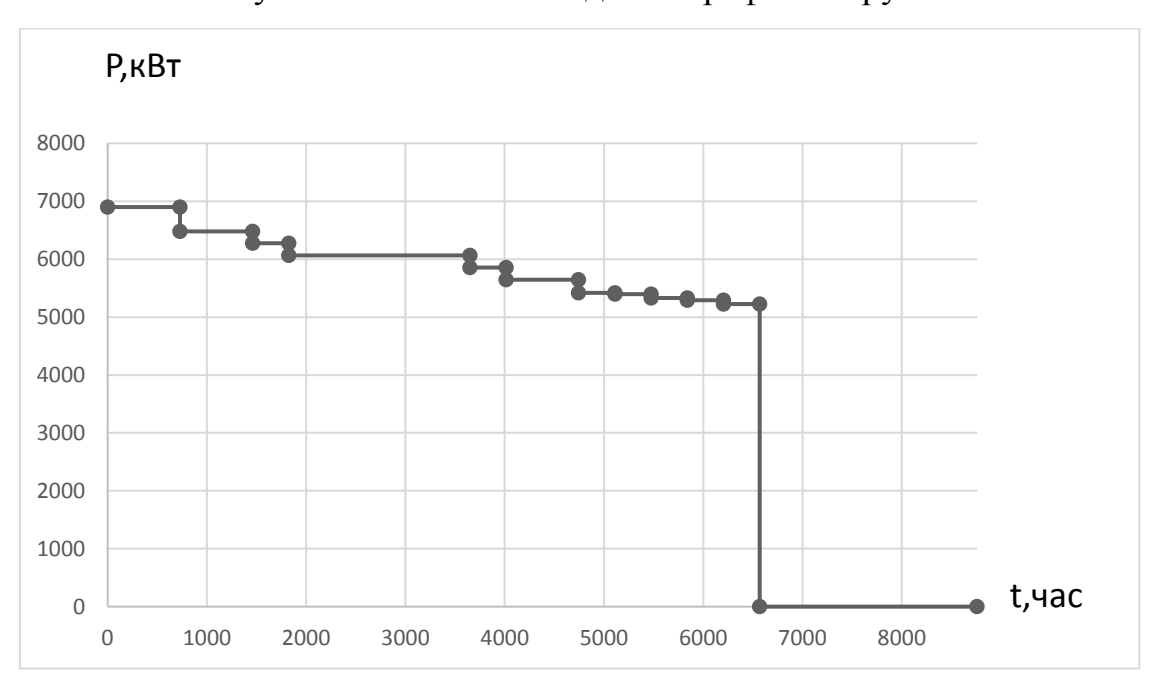


Рисунок 14 - Годовой график нагрузки

Из годового графика нагрузки найдём энергию, потребленную за год:

$$W = \sum P_i \cdot t_i = 107159.3$$
к B т · ч

Определим годовой платёж по двухставочному тарифу:

$$\Pi^{(2)} = P^{max} \cdot T^{max} + W \cdot T^{(2)} = 6900 \cdot 320,12 + 107159,3 \cdot 2,17 = 26,62$$
млн.руб.

3. Дифференцированный по зонам суточного графика нагрузки

Платёж за сутки по этому тарифу (для рабочего дня):

$$\boldsymbol{\Pi}_{\text{p}} = \boldsymbol{W}^{\text{m}} \cdot \boldsymbol{T}^{\text{m}} + (\boldsymbol{W} - \boldsymbol{W}^{\text{m}} + \boldsymbol{W}^{\text{h}}) \cdot \boldsymbol{T}^{\text{m/m}} + \boldsymbol{W}^{\text{h}} \cdot \boldsymbol{T}^{\text{h}}$$

Где W^{π} , кВтч — энергия, потребленная в часы максимума нагрузки энергосистемы,

 $W^{\scriptscriptstyle H}$, кВтч – энергия, потребленная в часы минимума нагрузки энергосистемы (ночью),

т - тарифная ставка за энергию в часы пика нагрузки, р./кВтч,

Т^{п/п} - тарифная ставка за энергию в часы полупика нагрузки, р./кВтч,

Т^н - тарифная ставка за энергию в ночные часы, р./кВтч,

Из нормативных документов «Томской энергосбытовой компании» на I полугодие для промышленных предприятий: $T^{\pi} = 2,4\,$ руб / кВтч ,

$$T^{{\scriptscriptstyle \Pi}/{\scriptscriptstyle \Pi}} = 2,4$$
 руб / кВтч и $T^{{\scriptscriptstyle H}} = 1,67$ руб / кВтч.

Так же из нормативных документов определяем интервалы тарифных зон для Томской области на 2017 год:

$$H$$
очь $-19:00 - 03:00;$

Пик
$$-03:00 - 07:00$$
 и $15:00 - 17:00$.

На суточном графике нагрузок постоим данные зоны

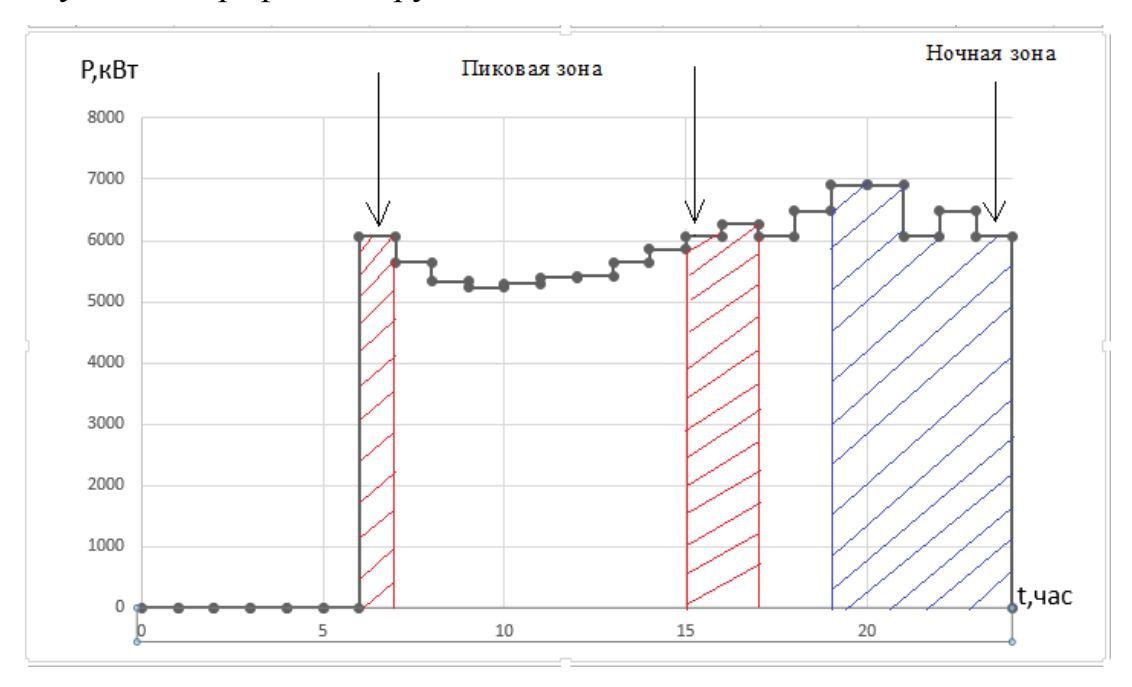


Рисунок 15 – Суточный график нагрузок с учётом временных зон

Из графика находим: W = 107159,3~ кВтч, $W^{\pi} = 18400,03~$ кВтч, и $W^{\pi} = 32409,15~$ кВтч. Рассчитаем платёж за сутки в рабочий день по дифференцированному тарифу:

$$\begin{split} &\Pi_{p}=W^{\scriptscriptstyle \Pi}\cdot T^{\scriptscriptstyle \Pi}+(W-W^{\scriptscriptstyle \Pi}+W^{\scriptscriptstyle H})\cdot T^{\scriptscriptstyle \Pi/\Pi}+W^{\scriptscriptstyle H}\cdot T^{\scriptscriptstyle H}=\\ &=18400,03\cdot 2,4+(107159,3-18400,03-32409,15)\cdot 2,4+32409,15\cdot 1,67=\\ &=233523,64\ py6. \end{split}$$

Платёж за сутки по этому тарифу (для выходного дня):

$$\begin{split} &\Pi_{_{B}}=W^{^{\Pi}}\cdot T^{^{\Pi/\Pi}}+(W^{^{\Pi/\Pi}}+W^{^{H}})\cdot T^{^{H}}=\\ &=18400,03\cdot 2,4+(56350,12+32409,15)\cdot 1,67=\\ &=192388,05\ \text{py6}. \end{split}$$

Определим годовой платёж по дифференцированному тарифу:

$$\Pi_{\sum} = \mathcal{A}_{p}\Pi_{p} + \mathcal{A}_{B}\Pi_{B}$$

 Γ де $\mu_{\rm p} = 247 - {\rm pa}$ бочие дни в 2017году,

 $Д_{\rm B}$ = 118 – выходные дни в 2017году,

Таким образом годовой платёж равен:

$$\Pi_{\sum} = \Pi_{p}\Pi_{p} + \Pi_{B}\Pi_{B} =$$

$$= 247 \cdot 233523,64 + 118 \cdot 192388,05 =$$

$$= 80,38 \text{млн.руб.}$$

Вывод: Исходя из экономического обоснования, видно, что двухставочный тариф является наиболее оптимальным для данного завода. Так же он прост в рассечете, компенсирует постоянные издержки энергокомпании и стимулирует к выравниванию графика нагрузки.

4.ФИНАНСОВЫЙ МЕНЕДЖМЕНТ, РЕСУРСОЭФФЕКТИВНОСТЬ И РЕСУРСОСБЕРЕЖЕНИЕ

Цель данного раздела: обоснование целесообразного использования технического проекта, который выполнен в рамках выпускной квалификационной работы. В разделе рассматриваются планово-временные и материальные показатели процесса проектирования.

Для достижение данной цели обеспечивается решением ряда задач:

- Составление SWOT-анализа проектирования ремонтно-механического цеха базы по обслуживания нефтегазодобывающего месторождения
 - Планирование технико-конструкторских работ
 - Определение ресурсной (ресурсосберегающей) эффективности проекта.

4.1 Оценка коммерческого потенциала и перспективности проведения научных исследований с позиции ресурсоэффективности и ресурсосбережения

Для детального анализа конкурирующих разработок, существующих на рынке, необходимо оценить их сильные и слабые стороны. Это же справедливо для определения оптимальной схемы электроснабжения промышленного предприятия.

Характерными схемами электроснабжения цеха являются радиальная и магистральная схемы.

Сравним два варианта установки компенсирующих устройств схемы электроснабжения завода с нормальной средой, с питающим трансформатором мощностью 630 кВА, с напряжением на низкой стороне трансформатора 0,4 кВ.

1. Установка конденсаторных батарей на низкой стороне

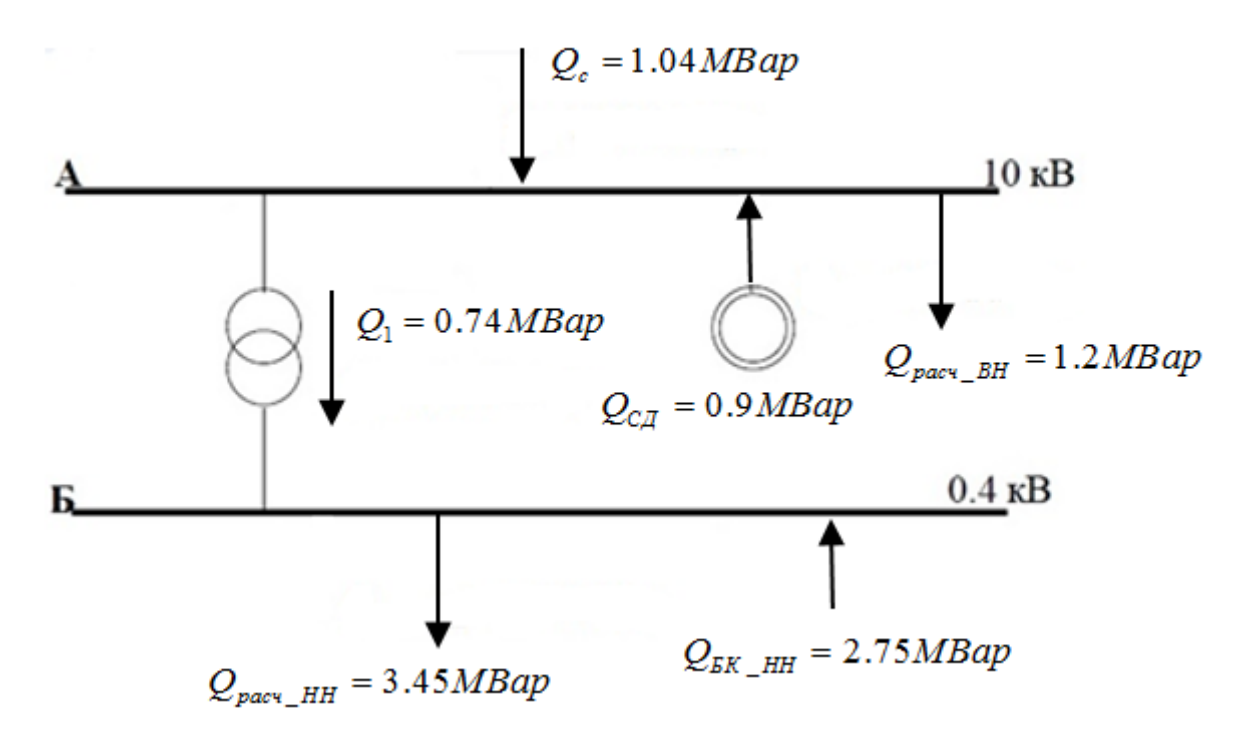


Рисунок 16 - Баланс реактивной мощности при 1 варианте установки БК

Принимаем к установке 27 конденсаторную батарею **УКБН-0,38-100-50У3** суммарной установленной мощностью 2700 кВар. Так же имеется синхронных двигатель СТД-2000.

Стоимость 27 конденсаторных батарей составит — 1025*27=27675руб. Стоимость СТД-2000-1150000руб.

Итого по первому варианту установки компенсирующих устройств затраты составят – 1177675руб.

2. Увеличение комплектной трансформаторной подстанции и установка конденсаторных батарей на высокой и низкой стороне

Увеличиваем число установленных трансформаторов на 1 (N+1=11):

Затраты на установку одной трансформаторной подстанции мощностью 630 кВА - 67530руб.

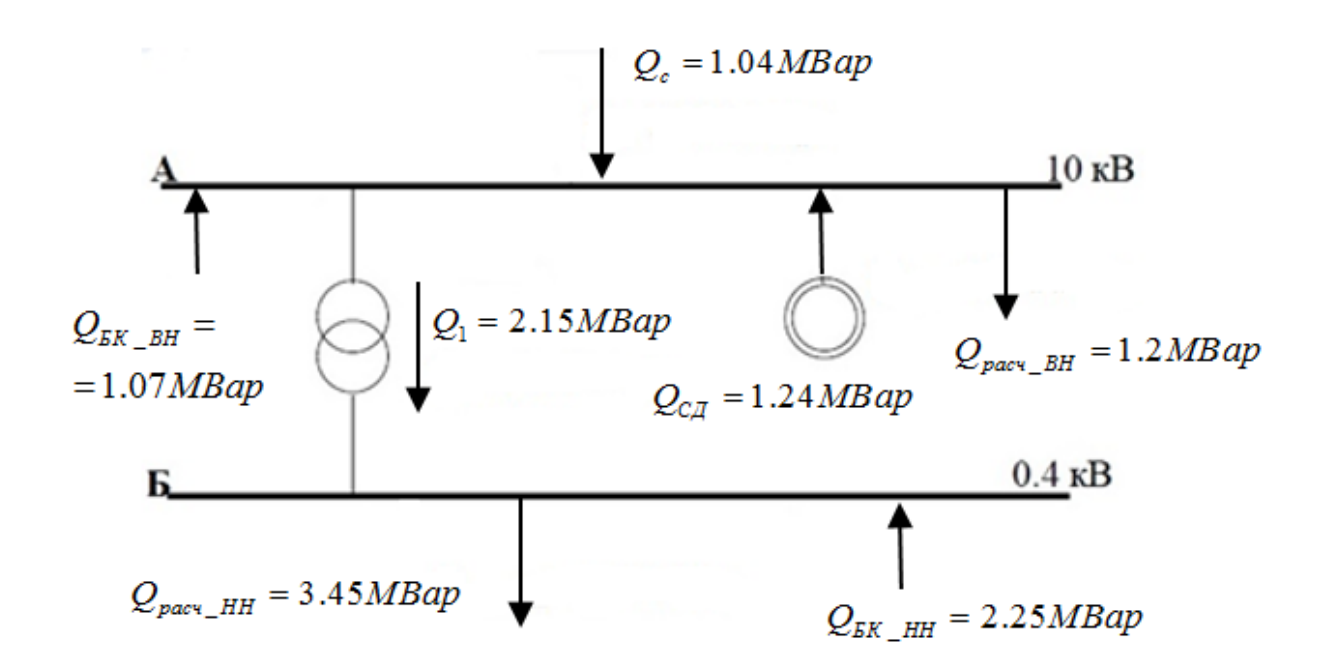


Рисунок 17 - Баланс реактивной мощности при 2 варианте установки БК

Принимаем к установке 8 конденсаторных батарей **УК-6,3-900ЛУ3** суммарной установленной мощностью 900 кВар на высокой стороне.

Стоимость 8 конденсаторных батарей составит — 3355*8=26840руб. Стоимость СТД-2000-1150000руб.

Принимаем к установке 18 конденсаторных батарей УКБТ-0,38-150УЗ суммарной установленной мощностью 1800 кВар на низкой стороне.

Стоимость 18 конденсаторных батарей составит – 1125*18=20250руб.

Итого по второму варианту установки компенсирующих устройств затраты составят —1264620 руб.

Сведем в таблицу затраты по двум вариантам установки устройств компенсации реактивной мощности.

Таблица 17 – Экономическое сравнение затрат по двум вариантам установки устройств компенсации реактивной мощности

1 вариант		2 вариант		
Наименование	Цена, руб.	Наименование	Цена, руб.	
УКБН-0,38-100-50У3	27675	УК-6,3-900ЛУ3	26840	
СТД - 2000	1150000	УКБТ-0,38-150УЗ	20250	
		СТД - 2000	1150000	
		КПТ 630кВА	67530	
Итого	1177675	Итого	1264620	

Из таблицы 25 видно, что наиболее выгодным с точки зрения экономического расчёта является вариант 1. Так же этот вариант является более простым в техническом исполнении, эксплуатации и обслуживании оборудования.

4.2 SWOT-анализ работы ремонтно-механического цеха

SWOT - анализ является инструментом стратегического менеджмента. Представляет собой комплексное исследование технического проекта. SWOT - анализ применяют для исследования внешней и внутренней среды проекта.

Первый этап описывает сильные и слабых стороны проекта, находит возможные и угроз для реализации проекта, проявившиеся или возможны в его внешней среде.

Второй этап выявляет соответствия сильных и слабых сторон научноисследовательского проекта внешним условиям окружающей среды. Это соответствие или несоответствие помогает определить степень необходимости проведения стратегических изменений. В пределах данного этапа следует построить интерактивную матрицу проекта. Каждый фактор помечается либо знаком «+» (сильное соответствие сильных сторон возможностям), либо знаком «-» (что означает слабое соответствие); «0» – если есть сомнения в том, что поставить «+» или «-».

Таблица 18 – Матрица SWOT

	Сильные стороны проекта: С1.	Слабые стороны
	Высокая энергоэффективность и	проекта:
	энергосбережение технологи.	Сл1. Сложность
	С2. Экологичность технологии.	ремонта некоторых
	С3. Квалифицированный персонал,	частей оборудования
	технический уровень производства	Сл2. Дороговизна
	С4. Повышение безопасности	оборудования
	производства	Сл3.Сложность
	С5. Уменьшение затрат на ремонт	эксплуатации
	оборудования	электрооборудования
Возможности:	B1C1C2C3C4;	
В1. Увеличение	*	
производительности		
электрооборудования	B2C1C3C4;	В2Сл1Сл2;
В2. Появление		
дополнительной		
автоматизированной		
системы управления		
внутрицеховой структуры		
В3. Снижение таможенных	B3C5;	В3Сл2;
пошлин на сырье и		
материалы, используемые		
на производстве		
В4. Улучшение технологии		
производства	B4C1C3C4C5;	В4Сл1Сл2Сл3;
Угрозы:		
У1. Отсутствие спроса на	У1С1С3;	У1Сл2;
технологии производства		
У2. Импорт отдельных		У2Сл1Сл2;
частей для конструкций	У2С5;	
У3. Введения		
дополнительных		
государственных	У3С5;	У3Сл2;
требований к		
стандартизации и		
сертификации продукции		
У4. Угрозы выхода из строя		
сложного энергоемкого		
оборудования	y4C3	У4Сл1Сл2Сл3;

Таблица 19 – Интерактивная матрица проекта «Сильные стороны – возможности»

	Сильные стороны					
И		C1	C2	C3	C4	C5
Зозможности	B1	+	+	+	+	-
ОЖЕ	B2	+	-	+	+	-
ЭЗМ	В3	-	-	-	-	+
ğ	B4	+	-	+	+	+

Таблица 19: B1C1C2C3C4, B2C1C3C4, B3C5, B4C1C3C4C5. Каждая из записей показывает направление реализации проекта.

В случае, когда несколько возможностей сильно коррелируют с одними и теми же сильными сторонами, с большой вероятностью можно говорить об их единой природе. Здесь: B1B2B4C1C3C4.

Таблица 20 – Интерактивная матрица проекта «Сильные стороны – угрозы»

	Сильные стороны					
		C1	C2	C3	C4	C5
361	У1	+	-	+	-	-
Tposei	У2	-	-	-	-	+
\section \cdot \cd	У3	-	-	-	-	+
	У4	-	-	+	-	-

Таблица 20: У1У4С3.

Таблица 21 - Интерактивная матрица проекта «Слабые стороны – возможности»

	Сильные стороны				
ГИ		Сл1	Сл2	Сл3	
10C	B1	-	-	-	
ОЖЕ	B2	+	+	-	
ЭЗМОЖНО	В3	-	+	-	
Be	B4	+	+	+	

Таблица 21: В2В3В4Сл2, В2В4Сл1Сл2.

Таблица 22 – Интерактивная матрица проекта «Слабые стороны – угрозы»

	Сильные стороны				
		Сл1	Сл2	Сл3	
361	У1	-	+	-	
Угрозы	У2	+	+	-	
VI	У3	-	+	-	
	У4	+	+	+	

Таблица 22: У1У2У3У4Сл2, У2У4Сл1Сл2.

В рамках **третьего этапа** должен быть подведен итог SWOT-анализа, в котором будут отражены стратегические планы на реализацию проекта и долгосрочное развитие. По результатам второго этапа выделим основные задачи:

- Внедрение автоматической системы сигнализации повреждения оборудования;
 - Внедрение новых технологий обнаружения неисправностей;
 - Внедрение нескольких источников поставки частей и материалов;
- Обеспечение подготовки квалифицированных кадров, и благоприятные условия труда для них.

В результате анализа было установлено, что технический проект имеет такие важные преимущества как высокая энергоэффективность, повышенная безопасность производства, экологичность, которые обеспечивают высокую производительность и экономичности технологического процесса. Несмотря на это, имеет место быть сложность ремонта отдельных частей оборудования, которая приводит к большим затрат на поставку этих частей с заводов, что в свою очередь сопровождается большими затратами, чем ремонт на предприятии.

Главными факторами, влияющими на функциональную и бесперебойную работу предприятия, являются поставка материалов и обнаружение повреждений оборудования на начальных стадиях, когда замена частей агрегатов или ремонт не составляет значительных затрат.

Присутствует вероятность в недостатке квалифицированного персонала. Данную проблему возможно решить cпомощью создания специализированных программ ПО привлечению молодежи, также обеспечением наиболее комфортных и выгодных рабочих условий (наличие премий, гибкий график методом вахт и т.д.).

4.3. Определение возможных альтернатив проведений научных исследований

Морфологический подход определения альтернатив проведении научных исследований основан на систематическом исследовании всех теоретически возможных вариантов, вытекающих из закономерностей строения (морфологии) объекта исследования. Синтез охватывает как известные, так и новые, необычные варианты, которые при простом переборе могли быть упущены. Путем комбинирования вариантов получают большое количество различных решений, ряд которых представляет практический интерес.

За последние десять лет промышленность далеко шагнула вперед. Нетрудно предположить, что ещё через такой же интервал времени, разрабатываемые сейчас технологические проекты уже будут не актуальны. В связи с этим, разработку новых проектов нужно осуществлять с прицелом на дальнейшее развитие предприятия. То есть проекты электроснабжения, разрабатываемые сейчас, должны динамически приспосабливаться к условиям новой среды. В связи с этим, необходимо определить дальнейшие пути развития или модификации разрабатываемой схемы электроснабжения цеха. Удобнее всего раскрыть всё многообразие имеющихся вариантов в виде морфологической матрицы, приведенной в таблице 23.

Таблица 23 – Морфологическая матрица для разрабатываемого проекта

	1	1	1	
	1	2	3	4
А: Марка кабеля	ПвВГнг-LS	ПРГ	АПВ	КВВГЭнг- LSLTx
Б: Материал жилы кабеля/шинопровода	Серебро	Медь	Алюминий	Вольфрам
В: Способы прокладки кабеля	В трубах	По станам	В лотках	В коробах
Г: Аппараты защиты от перенапряжений	Вентильный разрядник	Трубчатый разрядник	УЗПН	ОПН
Д: Аппараты защиты от токов КЗ	Плавкие предохранители	Автоматические выключатели	Магнитные пускатели	Тепловое реле

Выбор наиболее желательных функционально конкретных решений осуществляется с позиции его функционального содержания и ресурсосбережения. Для данной морфологической матрицы можно выделить три наиболее перспективных пути развития разрабатываемого проекта, а именно:

- 1. А4Б3В4Г2Д3
- 2. А2Б2В2Г3Д4
- 3. АЗБЗВЗГ4Д2

Во всех рассматриваемых вариантах используются новейшие модели пожаробезопасных кабелей. Данные кабели при горении и тлении выделяют меньше дыма и опасных веществ, что значительно увеличивает безопасность рабочих на предприятии.

Несмотря на то, что наибольшей электропроводностью обладает серебро, кабелей из данного материала на данный момент не выпускается и врядли это будет возможно в дальнейшем в силу очень большой стоимости и дефицитности этого металла. Поэтому в рассматриваемых вариантах в

качестве материала жилы кабеля были выбраны наиболее распространённые медь и алюминий.

Так же были выбраны наиболее экономичные способы прокладки кабелей, облегчающие осмотр и ремонт: по стенам на скобах, в лотках и коробах.

В качестве аппаратов защиты от перенапряжений и токов КЗ были выбраны наиболее новые и эффективные аппараты.

В результате можно сказать, что наиболее приемлемым вариантом является третий вариант, т.к. при достаточно большой надёжности оборудования и входящих в него материалов, он относительно дёшев. Выбранные в нём аппараты защиты на данный момент используются наиболее широко, что является гарантом их качества и хорошей работы. Так же из-за того, что данные аппараты используются довольно широко, их стоимость довольно низкая. Кабели с алюминиевой жилой хоть и используются при значительно небольших нагрузочных токах, по сравнению с медными, но их стоимость на порядок ниже. Кабель выбранной марки при горении не выделяет дыма и токсичных веществ.

4.4 Планирование научно-исследовательской разработки

4.4.1 Структура работы в рамках научного исследования

Планирование комплекса предполагаемых работ осуществляется в соответствии с порядком:

- определение структуры работ в рамках научного исследования;
- определение участников каждой работы;
- установление продолжительности работ;
- построение графика проведения научных исследований.

Для реализации научных исследований формируется рабочая группа, в составе которой могут быть инженеры, научные сотрудники, научные руководители, лаборанты и техники. Численность таких групп имеет

возможность манятся. Для каждого вида плановых работ определяется соответствующая должность исполнителей.

В данном разделе следует составить этапы и перечень работ, в рамках проведения научного исследования проектирования базы, по обслуживанию завода, производящего запасные части к тракторам. Также выполнить распределение исполнителей, в состав которых входят инженер и руководитель, по различным видам работ. Примерный порядок составления этапов и работ, распределение исполнителей, приведен в таблице 24.

Таблица 24 – Перечень этапов работ при проектировании

Основные этапы	№	Содержание работ	Исполнитель
Разработка технического задания	1	Составление и утверждение технического задания (схем моделирования, проектирования)	Руководитель
Выбор	2	Подбор и изучение материалов по теме, примерный план работ	Руководитель
направления исследований	3	Выбор направления оптимизационной задачи	Инженер
	4	Календарное планирование работ	Руководитель
	5	Разработка вариантов проектирования	Инженер
	6	Выбор программного обеспечения для расчетов	Инженер
Теоретические исследования	7	Сравнение возможных вариантов по ряду критериев	Инженер
	8	Расчет основных и аварийных принципов функционирования	Инженер
Обобщение и оценка результатов	9	Оценка эффективности полученных результатов	Руководитель
Разработка технической	10	Оценка надежности полученных результатов	Руководитель
документации	11	Вопросы безопасности и экологичности проекта	Инженер
Оформление отчёта по НИР	12	Составление пояснительной записки по проекту	Инженер

4.4.2 Определение трудоёмкости выполнения проектировочных работ

Трудовые затраты в подавляющем числе случаях образуют основную часть стоимости разработки, поэтому важно определить трудоемкости работ каждого из участников научного исследования.

Трудоемкость выполнения научного исследования оценивается экспертным путем в человеко-днях и носит вероятностный характер, т.к. зависит от множества трудно учитываемых факторов. Для определения ожидаемого (среднего) значения трудоемкости $\mathbf{t}_{\mathrm{ож}_i}$ используется следующая формула:

$$t_{\text{ож}_i} = \frac{3 \cdot t_{\text{min}_i} + 2 \cdot t_{\text{max}_i}}{5}$$

где t_{ow_i} – ожидаемая трудоемкость выполнения i-ой работы чел.-дн.;

 t_{\min_i} — минимально возможная трудоемкость выполнения заданной i-ой работы (оптимистическая оценка: в предположении наиболее благоприятного стечения обстоятельств), чел.-дн.;

 ${
m t_{max_i}}$ — максимально возможная трудоемкость выполнения заданной i-ой работы (пессимистическая оценка: в предположении наиболее неблагоприятного стечения обстоятельств), чел.-дн.

Рассчитаем ожидаемое значение трудоёмкости для различных этапов:

$$t_{\text{ож}_1} = \frac{3 \cdot 3 + 2 \cdot 5}{5} = 3,8$$
чел. – дн; $t_{\text{ож}_2} = \frac{3 \cdot 5 + 2 \cdot 8}{5} = 6,2$ чел. – дн;

$$t_{_{\text{ож}_3}} = \frac{3 \cdot 2 + 2 \cdot 3}{5} = 2,4$$
чел. – дн; $t_{_{\text{ож}_4}} = \frac{3 \cdot 1 + 2 \cdot 2}{5} = 1,4$ чел. – дн;

$$t_{_{\mathrm{OЖ}_5}} = \frac{3 \cdot 6 + 2 \cdot 8}{5} = 6,8$$
чел. – дн;
$$t_{_{\mathrm{OЖ}_6}} = \frac{3 \cdot 2 + 2 \cdot 3}{5} = 2,4$$
чел. – дн;
$$t_{_{\mathrm{OЖ}_7}} = \frac{3 \cdot 3 + 2 \cdot 5}{5} = 3,8$$
чел. – дн;
$$t_{_{\mathrm{OЖ}_8}} = \frac{3 \cdot 15 + 2 \cdot 20}{5} = 17$$
чел. – дн;
$$t_{_{\mathrm{OЖ}_9}} = \frac{3 \cdot 5 + 2 \cdot 8}{5} = 6,2$$
чел. – дн;
$$t_{_{\mathrm{OЖ}_{10}}} = \frac{3 \cdot 5 + 2 \cdot 8}{5} = 6,2$$
чел. – дн;
$$t_{_{\mathrm{OЖ}_{11}}} = \frac{3 \cdot 3 + 2 \cdot 4}{5} = 3,4$$
чел. – дн;
$$t_{_{\mathrm{OЖ}_{12}}} = \frac{3 \cdot 5 + 2 \cdot 7}{5} = 5,8$$
чел. – дн;

Исходя из ожидаемой трудоёмкости определяется продолжительность каждой работы в рабочих днях, учитывая параллельность выполнения работ несколькими исполнителями, по следующей формуле:

$$T_{pi} = \frac{t_{owi}}{Y_i}$$
,

где T_{pi} – продолжительность одной работы, раб. дн.;

 ${\bf t}_{_{{
m o}{
m x}{
m i}}}-$ ожидаемая трудоемкость выполнения одной работы, чел.-дн.;

4i – численность исполнителей, выполняющих одновременно одну и ту же работу на данном этапе, чел.

При проектировании и разработки моделей все действия выполняются последовательно, соответственно продолжительность каждой работы будет равна $T_{pi} = t_{oжi}$.

4.4.3 Разработка графика проведения научного исследования

Самым наглядным и удобным является построение ленточного графика проведения научных работ в форме диаграммы Ганта.

Диаграмма Ганта – горизонтальный ленточный график, на котором работы по теме представляются протяженными во времени отрезками, характеризующимися датами начала и окончания выполнения данных работ.

Для удобства построения графика, продолжительность каждого этапа работ из рабочих дней нужно перевести в календарные дни. Для этого следует воспользоваться следующей формулой:

$$T_{ki} = T_{pi} \cdot k_{\kappa a \pi};$$

где T_{ki} – продолжительность выполнения i-й работы в календарных днях;

 $T_{\rm pi}$ — продолжительность выполнения $\emph{i-}$ й работы в рабочих днях;

 $\mathbf{k}_{\mbox{\tiny кал}}$ – коэффициент календарности.

Коэффициент календарности определяется по следующей формуле:

$$k_{\text{кал}} = \frac{T_{\text{кал}}}{T_{\text{кал}} - T_{\text{вых}} - T_{\text{пр}}},$$

где $T_{\text{кал}}$ – количество календарных дней в году;

 $T_{_{\!\!\text{BЫX}}}$ – количество выходных дней в году;

 T_{np} – количество праздничных дней в году.

Определим коэффициент календарности на 2017 год:

$$k_{\text{KAJ}} = \frac{T_{\text{KAJ}}}{T_{\text{KAJ}} - T_{\text{BLY}} - T_{\text{ID}}} = \frac{365}{365 - 118} = 1,478.$$

Тогда длительность первой работы в календарных днях:

$$T_{\kappa 1} = T_{\rho 1} \cdot k_{\kappa \alpha \pi} = 1, 4 \cdot 1, 478 = 2,069 \, \partial H.$$

Рассчитанные значения в календарных днях по каждой работе округлим до целого числа. Рассчитанные значения сводим в таблицу *33*.

Таблица 25 – Временные показатели проведения научного исследования

Название работы	Трудоёмкость работ (чел- дни)			Длительность	Длительность
	tmin	tmax	tож	работ в рабочих днях Т <i>рі</i>	работ в календарных днях Т <i>ki</i>
Составление и утверждение технического задания (схем моделирования)	3	5	3,8	3,8	6
Подбор и изучение материалов по теме, примерный план работ	5	8	6,2	6,2	9
Выбор направления оптимизационной задачи	2	3	2,4	2,4	4
Календарное планирование работ	1	2	1,4	1,4	2
Разработка вариантов проектирования	6	8	6,8	6,8	10
Выбор программного обеспечения для расчетов	2	3	2,4	2,4	4
Сравнение возможных вариантов по ряду критериев	3	5	3,8	3,8	6
Расчет основных и аварийных принципов функционирования	15	20	17	17	26
Оценка эффективности полученных результатов	5	8	6,2	6,2	9
Оценка надежности полученных результатов	5	8	6,2	6,2	9
Вопросы безопасности и экологичности проекта	3	4	3,4	3,4	5
Составление пояснительной записки по проекту	5	7	5,8	5,8	9
Итого	55	81	65,4	65,4	99

Основываясь на данных из таблицы построим календарный план-график. График строится для максимального по длительности исполнения работ в рамках научно-исследовательского проекта. График приведён в *ПРИЛОЖЕНИИ 15*.

Исходя из составленного календарного плана, с учетом вероятностного характера выполнения работ (благоприятный, неблагоприятный), продолжительность проектирования составляет 10 полных декад, начиная со второй декады февраля, заканчивая третьей декадой мая.

Далее, по диаграмме Ганта можно наглядно оценить показатели рабочего времени для каждого исполнителя. Продолжительность выполнения проекта в рабочих днях составит 99 дней, из которых 64 дней — продолжительность выполнения работ инженером, а 35 дней — продолжительность выполнения работ руководителем.

4.5 Бюджет научно-технического исследования (НТИ)

При планировании бюджета НТИ необходимо обеспечить полное и достоверное отражение всех видов расходов, которые связанны с выполнением НИТ. В процессе формирования бюджета НТИ используется следующая группировка затрат по статьям:

- материальные затраты НТИ;
- основная заработная плата исполнителей темы;
- дополнительная заработная плата исполнителей темы;
- отчисления во внебюджетные фонды;
- накладные расходы.

4.5.1 Расчет материальных затрат

В материальные затраты включают дополнительные затраты на канцелярские принадлежности, информационные носители, картриджи и т.п.

Расчет материальных затрат осуществляется по следующей формуле:

$$3_{_{M}} = \sum_{i=1}^{m} \coprod_{i} \cdot N_{pacxi},$$

где m — количество видов материальных ресурсов;

 $N_{\text{расхі}}$ – количество материальных ресурсов *i*-го вида, планируемых к использованию (натур.ед.);

 \coprod_{i} — цена приобретения единицы i-го вида потребляемых материальных ресурсов (руб./натур.ед.).

Затраты на Цена за ед., Количество Наименование материалы, руб. (3м), руб. 250 Бумага 1 250 2 84 168 Ручка папка 1 50 52 Калькулятор 722 722 1190 Итого

Таблица 26 – Материальные затраты

При расчете материальных затрат расходы на транспорт не учитывались, т.к. канцелярские принадлежности доставлялись на рабочее место исполнителями технического проекта.

4.5.2 Полная заработная плата исполнителей темы

Полная заработная плата включает основную и дополнительную заработную плату. Она определяется по следующей формуле:

$$3_{\text{полн}} = 3_{\text{осн}} + 3_{\text{доп}},$$

где 3_{осн} – основная заработная плата;

3_{лоп} – дополнительная заработная плата.

Величина расходов по заработной плате определяется исходя из трудоемкости выполняемых работ и действующей системы окладов и тарифных ставок.

Заработная плата инженера главного специалиста определяется как:

$$3_{\Pi} = 3_{\text{осн}} + 3_{\text{доп}},$$

где $3_{\text{доп}}$ - дополнительная заработная плата, составляет $0.15\,3_{\text{осн}}$;

 $3_{\text{осн}}$ - основная заработная плата.

Размер основной заработной платы определяется по формуле:

$$3_{\text{осн}} = 3_{\text{д}} \cdot T_{\text{p}};$$

где $3_{_{\rm I}}$ - среднедневная заработная плата;

 $T_{\rm p}$ - суммарная продолжительность работ, выполняемая научнотехническим работником.

Размер среднедневной заработной платы рассчитывается по формуле:

$$\mathbf{3}_{_{\mathrm{JH}}}=\frac{\mathbf{3}_{_{\mathbf{M}}}\cdot\mathbf{M}}{F_{_{\mathbf{J}}}};$$

где $3_{\rm M}$ — месячный оклад научно-технического работника;

M — количество месяцев работы без отпуска (M =10,95 для пятидневной рабочей недели и отпуске в 32 рабочих дней);

Месячный оклад научно-технического работника определяется по формуле:

$$3_{\mathrm{M}} = 3_{\mathrm{TC}} \cdot \left(1 + k_{\mathrm{np}} + k_{\mathrm{A}}\right) \cdot k_{\mathrm{p}};$$

где 3_{TC} — заработная плата по тарифной ставке;

 k_{m} – премиальный коэффициент, 0,3;

 ${\bf k}_{_{\rm I\!I}}$ – коэффициент доплат и надбавок, 0,35;

 ${\rm k_p}$ — районный коэффициент, для наших исследуемых зон примем для Сибирского региона 1,3.

Размер заработной платы по тарифной ставке определяется по формуле:

$$3_{TC} = T_{ci} \cdot k_T;$$

где T_{ci} — тарифная ставка работника; k_{T} — тарифный коэффициент в зависимости от ставки.

С помощью вышеперечисленных формул найдём основную заработную плату руководителя НТИ:

$$\begin{split} \mathbf{3}_{\text{TC}} &= \mathbf{T}_{\text{ci}} \cdot \mathbf{k}_{\text{T}} = 8000 \cdot 1,407 = 11256 \text{ py6}; \\ \mathbf{3}_{\text{M}} &= \mathbf{3}_{\text{TC}} \cdot \left(1 + \mathbf{k}_{\text{np}} + \mathbf{k}_{\text{A}}\right) \cdot \mathbf{k}_{\text{p}} = 11256 \cdot \left(1 + 0,3 + 0,35\right) \cdot 1,3 = 24144,22 \text{ py6}; \\ \mathbf{3}_{\text{AH}} &= \frac{\mathbf{3}_{\text{M}} \cdot \mathbf{M}}{F_{\text{A}}} = \frac{24144,22 \cdot 10,95}{365 - 118} = 1070,36 \text{ py6} \\ \mathbf{3}_{\text{OCH}} &= \mathbf{3}_{\text{AH}} \cdot \mathbf{T}_{\text{p}} = 1070,36 \cdot 35 = 37462,6 \text{ py6}; \\ \mathbf{3}_{\text{II}} &= \mathbf{3}_{\text{OCH}} + \mathbf{3}_{\text{AOII}} = \mathbf{3}_{\text{OCH}} + 0,15 \cdot \mathbf{3}_{\text{OCH}} = 37462,6 + 0,15 \cdot 37462,6 = 43081,99 \text{ py6}. \end{split}$$

Аналогично рассчитаем заработную плату инженера:

$$\begin{split} \mathbf{3}_{\text{TC}} &= \mathbf{T}_{\text{ci}} \cdot \mathbf{k}_{\text{T}} = 4400 \cdot 0,75 = 3300 \, \text{py6}; \\ \mathbf{3}_{\text{M}} &= \mathbf{3}_{\text{TC}} \cdot \left(1 + \mathbf{k}_{\text{inp}} + \mathbf{k}_{\text{JL}}\right) \cdot \mathbf{k}_{\text{p}} = 3300 \cdot \left(1 + 0,3 + 0,25\right) \cdot 1,3 = 6649,5 \, \text{py6}; \\ \mathbf{3}_{\text{JH}} &= \frac{\mathbf{3}_{\text{M}} \cdot \mathbf{M}}{F_{\text{JL}}} = \frac{6649,5 \cdot 11,2}{366 - 118} = 301,52 \, \text{py6} \\ \mathbf{3}_{\text{och}} &= \mathbf{3}_{\text{JH}} \cdot \mathbf{T}_{\text{p}} = 301,52 \cdot 64 = 19279,28 \, \text{py6}; \\ \mathbf{3}_{\text{II}} &= \mathbf{3}_{\text{och}} + \mathbf{3}_{\text{Join}} = \mathbf{3}_{\text{och}} + 0,15 \cdot \mathbf{3}_{\text{och}} = 19279,28 + 0,15 \cdot 19279,28 = 22173,87 \, \, \text{py6}. \end{split}$$

4.5.3 Отчисления во внебюджетные фонды (страховые отчисления)

В данной статье расходов отражаются обязательные отчисления в согласии с законодательством Российской Федерации нормам органам государственного социального страхования (ФСС), пенсионного фонда (ПФ) и медицинского страхования (ФФОМС) от затрат на оплату труда работников.

Величина отчислений во внебюджетные фонды определяется исходя из следующей формулы:

$$3_{\text{BHeo}} = k_{\text{BHeo}} \cdot (3_{\text{OCH}} + 3_{\text{TOTI}})$$

где $k_{\text{внеб}}$ – коэффициент отчислений на уплату во внебюджетные фонды (пенсионный фонд, фонд обязательного медицинского страхования и пр.).

На основании пункта 1 ст.58 Федерального закона №212-ФЗ для учреждений, осуществляющих образовательную и научную деятельность в 2017 году вводится пониженная ставка – 30,2 %.

Отчисления во внебюджетные фонды составят:

$$3_{\text{внеб1}} = 0,302 \cdot (43081,99) = 13010,76 \text{ руб}.$$

$$3_{\text{BHe}62} = 0,302 \cdot (22173,87) = 6696,51 \text{ py}6.$$

Сведем в таблицу 27 расчёты заработной платы и отчисления во внебюджетные фонды:

Таблица 27 – Размер заработной платы и величина отчислений во внебюджетные фонды

		Tci	Зтс	Зм	Здн	Зосн	Здоп	3п	Звнеб
1	Руководитель НИТ	8000	11256	24144,2	1070,4	37462,6	5619,39	43081,9	13010,76
2	Инженер	4400	3300	6649,5	301,52	19279,3	2891,89	22,173,87	6696,51
	Итого							65255,86	19707,27

4.5.4 Накладные расходы

Накладные расходы учитывают прочие затраты организации, которые не включенные в предшествующие статьи расходов: ксерокопирование и печать материалов исследования, оплата электроэнергии, связи, почтовые ирасходы и т.д. Их величина определяется по следующей формуле:

$$\mathbf{3}_{\text{накл}} = \mathbf{3}_{\text{проч.}} \cdot \mathbf{k}_{\text{нр}} = \left(\mathbf{3}_{\text{спец}} + \mathbf{3}_{\text{осн}} + \mathbf{3}_{\text{доп}} + \mathbf{3}_{\text{внеб}}\right) \cdot 0,16 =$$

$$= (1190 + 65255,86 + 19707,27) \cdot 0,16 = 13784,5 \text{руб}$$

где $k_{\rm HP}$ – коэффициент, учитывающий накладные расходы.

Величина коэффициента накладных расходов принимается в размере 16%.

4.5.5 Формирование сметы технического проекта

Рассчитанная величина затрат технического проекта составляет основу для формирования бюджета затрат проекта, который при формировании договора с заказчиком защищается организацией в качестве нижнего предела затрат на разработку проекта.

Определение суммы затрат на технический проект приведено в таблице 37

Таблица 28 – Смета затрат технического проекта

Наименование статьи	Сумма, тыс.	Доля,
паименование статьи	руб.	%
1. Материальные затраты	1,19	1,19
2. Затраты по полной заработной плате исполнителей темы	65,25	65,3
3. Отчисления во внебюджетные фонды	19,7	19,72
4. Накладные расходы	13,78	13,79
Итого	99,92	100,0

Смета затрат на разработку технического проекта составляет 99,92 тыс.руб, из которых более половины (65,3 %) составляют затраты на оплату труда исполнителей проекта. Все результаты проекта оказались ожидаемы и могут быть реализованы.

4.6 Оценка конкурентоспособности и ресурсоэффективности проекта

С целью оценки может быть использована вся имеющаяся информация о конкурентных разработках. А именно:

- технические характеристики проекта;
- уровень завершенности научного исследования (наличие макета, прототипа, модели и т.п.);
- конкурентоспособность проекта;
- бюджет разработки и т.д.

Финансовую эффективность проекта можно оценить при помощи интегрального финансового показателя:

$$I_{\phi^{\mathrm{urn.i}}}^{\mathrm{ucn.i}} = rac{\Phi_{\mathrm{pi}}}{\Phi_{\mathrm{max}}}$$

где: $I_{\text{фин}}^{\text{исп.i}}$ – интегральный финансовый показатель разработки;

 $\Phi_{\mbox{\scriptsize pi}}$ — стоимость і-го варианта исполнения;

 $\Phi_{\rm max}$ — максимальная стоимость исполнения научно-исследовательского проекта.

Расчёт интегрального финансового показателя проводим в виде таблицы

Таблица 29 — Расчёт интегрального финансового показателя конкурентных

технических решений

Варианты	Ф _{тах} , руб.	Ф _{рі} ,руб.	$I_{ m \phiиn}^{ m \scriptscriptstyle ucn.i}$,o.e.
1	1264620	1177675	0,93
2	1204020	1264620	1

Величина интегрального финансового показателя разработки 1 варианта отражает соответствующее численное удешевление стоимости. Вариант 1

имеет наименьший интегральный показатель среди трёх конкурентных технических решений, и, следовательно, вариант 1 является наиболее финансово эффективным, что является определяющим критерием.

Определение ресурсоэффективности проекта можно оценить с помощью интегрального критерия ресурсоэффективности:

$$I_{pi} = \sum a_i \cdot b_i$$

где I_{pi} – интегральный показатель ресурсоэффективности;

 $a_{\scriptscriptstyle i}$ – весовой коэффициент разработки;

 b_{i} — балльная оценка разработки, устанавливается экспертным путем по выбранной шкале оценивания;

Для оценки ресурсоэффективности проекта были подобраны критерии эффективности такие как: экономичность, гибкость, безопасность, качество электроэнергии, надежность.

- 1. Экономичность оптимизация затрат на электрическую часть предприятия на стадии проектирования приводит к их уменьшению на доли процентов.
- 2. Гибкость возможность наращивания производственной мощности предприятия, при вводе более мощного оборудования для расширения технологии производства.
- 3. Под обеспечением надлежащего качества электроэнергии понимаются характеристики, определенные в ГОСТ 32144-2013 «Нормы качества электрической энергии в системах электроснабжения общего назначения».
- 4. Безопасность это свойство системы электроснабжения сохранять безопасное состояние при монтаже, эксплуатации и ремонтных работах.
 - 5. Надежность бесперебойное снабжение электроэнергией.

Критерии ресурсоэффективности и их количественные характеристики приведены в таблице 30.

Таблица 30 – Сравнительная оценка характеристик проекта

Критерии	Весовой коэффициент	Балльная оценка разработки	Конкурентоспособность
1. Качество ЭЭ	0,2	5	1,00
2. Надежность	0,2	5	1,00
3. Безопасность	0,25	5	1,25
4. Экономичность	0,15	4	0,6
5. Гибкость	0,2	5	1,00
Итого:	1,00		4,85

Расчет интегрального показателя ресурсоэффективности технического проекта составит:

$$I_{\text{p-ucn1}} = 5 \cdot 0, 2 + 5 \cdot 0, 2 + 5 \cdot 0, 25 + 4 \cdot 0, 15 + 5 \cdot 0, 2 = 4,85$$

Показатель ресурсоэффективности проекта высок (по 5- балльной шкале), что показывает положительную оценку использования технического проекта.

Таким образом, в е про достаточно применения вариант 1, обеспечивающей достаточную надежность и экономичность.

Из результатов выполнения поставленных задач в данном разделе можно сделать вывод о, что реализация данного технического проекта позволяет внедрять технологию производства и увеличивать эффективность как ремонтно-механического цеха, так и базы в общем.

Заключение

В работе спроектирована система электроснабжения завода по производству запасных деталей к с детальной проработкой ремонтномеханического.

Расчет электрических нагрузок ремонтно-механического цеха был произведён методом упорядоченных диаграмм. Следующим этапом был расчёт полных расчётных мощностей всего завода. Полная расчётная мощность предприятия оказалась равной 8067кВА. Для определения полной мощности предприятия использован метод Кс, при расчёте следует учитывать освещение и высоковольтную нагрузку.

Результатом определения нагрузки по всем цехам завода изображается картограмма нагрузок, определен ЦЭН. Главную понизительную подстанцию устанавливаем в ЦЭН.

В работе было определено оптимальное число цеховых трансформантов и их оптимальная мощность. К установке была выбрана марка ТМ, а мощность цеховых силовых трансформаторов 630кВА. Эти трансформаторы были равномерно распределены по цехам предприятия с учетом категории надежности электроснабжения цехов. Выбор цеховых трансформаторов был произведён с учётом компенсации реактивной мощности. После проведения технико-экономического расчёта к установке был принят вариант с установкой конденсаторных батарей на стороне низкого напряжения. По результатам расчёта рационального напряжения на высокой стороне было выбрано 35кВ. Так же выбран силовой трансформатор ГПП: 2 трансформатора марки ТМН-6300/35.

Питание предприятия выполнено двухцепной воздушной линией 35 кВ, марки АС-70. Питание цеховых ТП производится кабельными линиями напряжением 10 кВ марки ААШв сечениями 35 мм², одноцепными и двухцепными. Для питания РУ были выбраны двухцепные кабели марки ААШв 3х70. Был произведён выбор оборудования ГПП.

Для ремонтно-механического цеха была выбрана радиальная схема. Электроприемники были распределены в три распределительных пункта, так же выбран их тип.

Для электроприемника цеха, РП и ВРУ были выбраны аппараты защиты - автоматические выключатели, серии ВА.

Питание к электроприемников выполнено кабелями марок AПВ сечением от 2 до 70 мм2.

Для проверки действия аппаратов защиты был произведен расчёт токов короткого замыкания в сети выше и ниже 1 кВ, для нескольких точек.

В результате расчётов токов КЗ было проведено посторенние эпюры отклонений напряжения. Построение проводилось для минимального, максимального и послеаварийного режимов. Максимально допустимое напряжение $\pm 5\%$ не превышается для данного проекта, что показал анализ эпюр.

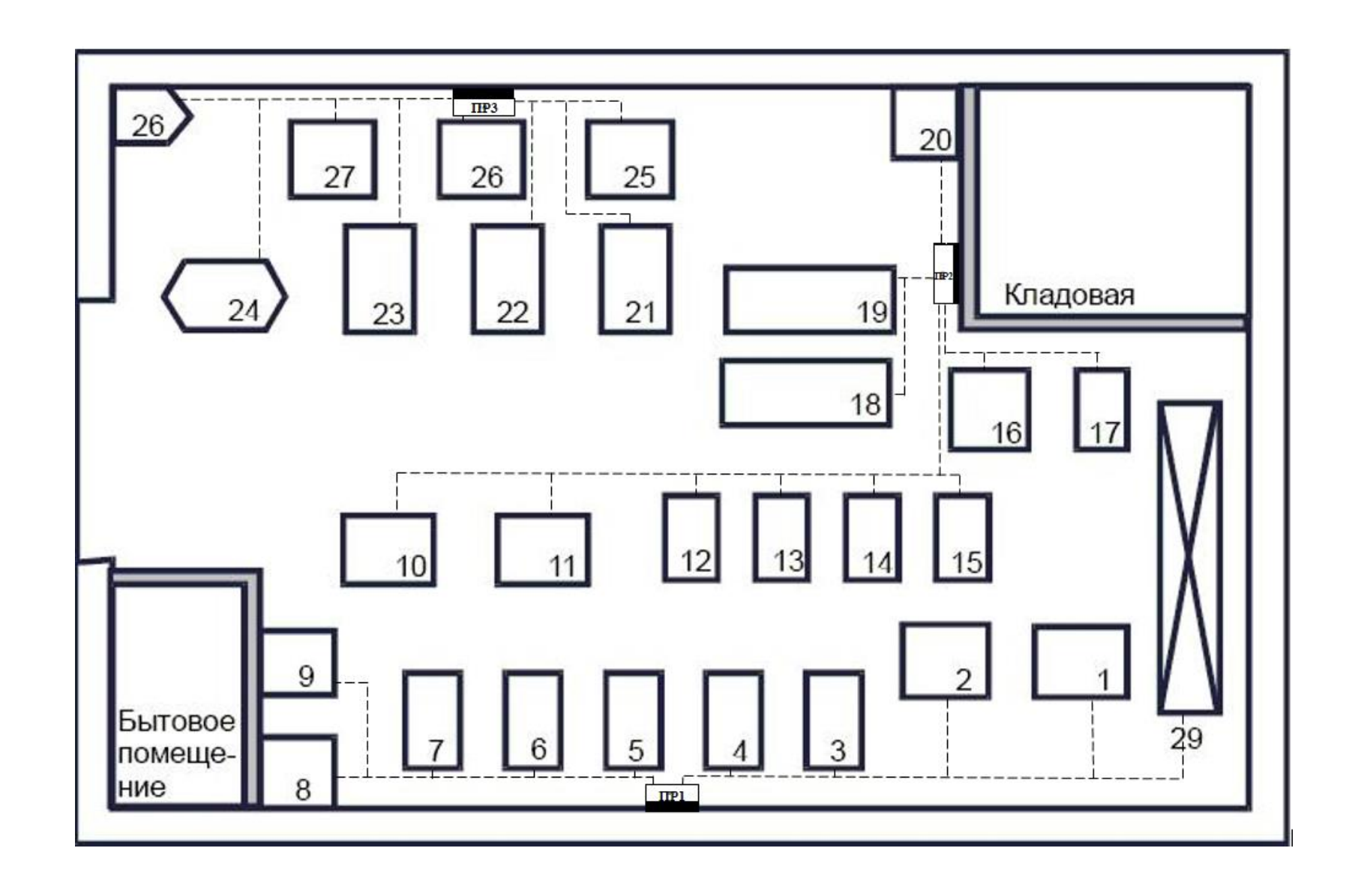
Итогом расчёта токов короткого замыкания в сети ниже 1 кВ является построение карты селективности действия аппаратов защиты (автоматических выключателей).

В качестве специального задания был произведен расчёт и выбор оптимального тарифа для электроснабжения завода. Рассмотрены двухставочный и дифференцированный тарифы. Наиболее выгодным для предприятия является двухставочный тариф.

Литература:

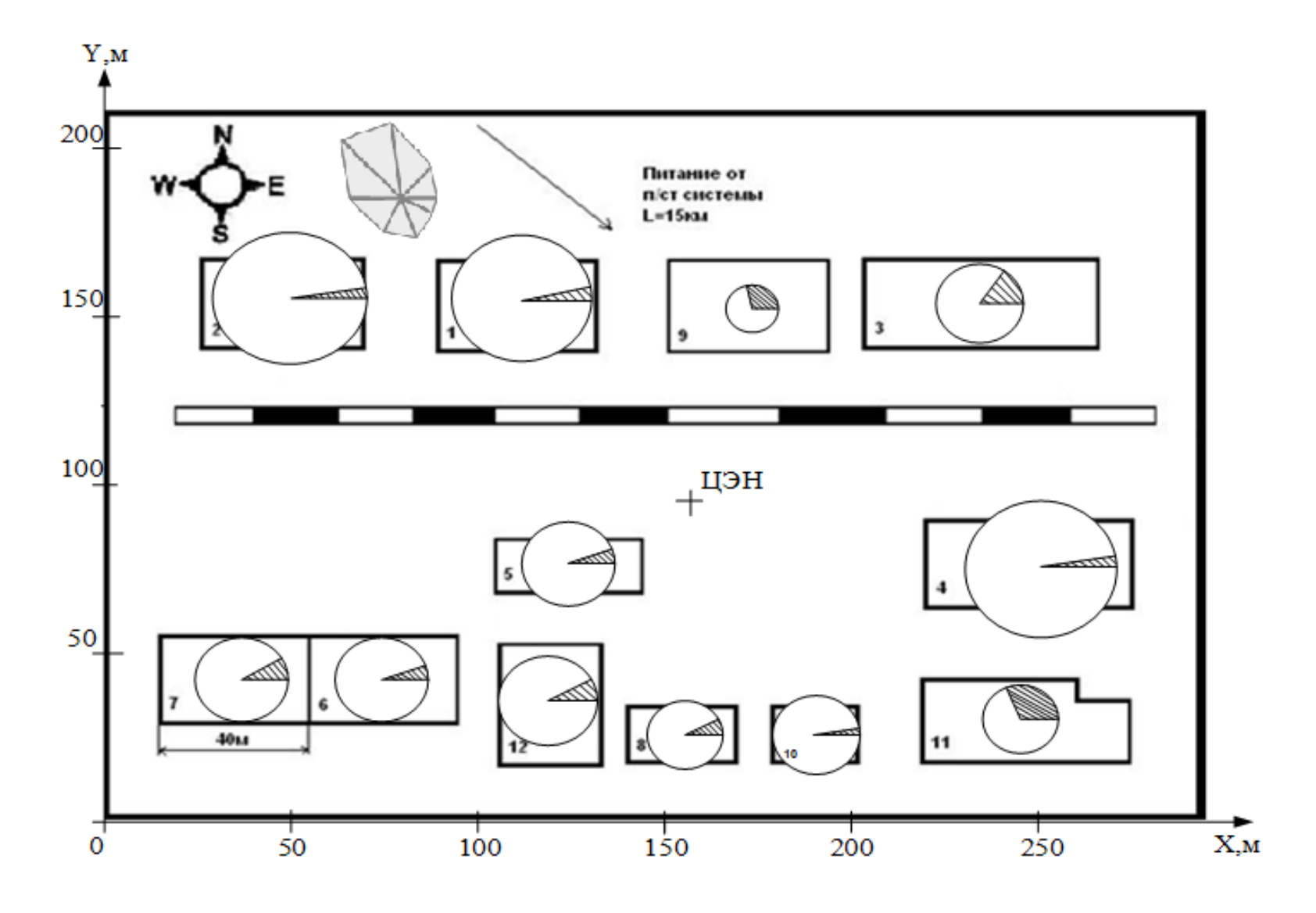
- 1.Сумарокова Л.П. Электроснабжение промышленных предприятий //учебное пособие. Томск: ТПУ, 2012. 288 с.
- 2. Кабышев А.В., Обухов С.Г. Расчет и проектирование систем электроснабжения: Справочные материалы по электрооборудованию // учебноепособие. Томск: ТПУ, 2005. 168 с.
- 3. Гаврилин А.И., Обухов С.Г., Озга А.И. Электроснабжение промышленных предприятий. Методические указания к выполнению выпускной работы бакалавра. Томск: ТПУ, 2001 93 с.
- 4.А.В. Кабышев, Электроснабжение объектов//учебное пособие. Томск: ТПУ, 2007. 185с.
- 5.Климова Г.Н., Элементэ энергосбережения в электроснабжении промышленных предприятий// учебное пособие, -Томск: ТПУ, 2008.
- 6.Правила устройства электроустановок : Все действующие разделы ПУЭ-6 и ПУЭ-7. Новосибирск: Сиб. Унив. Изд-во, 2009. 853 с., ил.
- 7. Мельников М. А. Внутризаводское электроснабжение: Учеб. пособие. Томск:Изд. ТПУ, 2004. 180 с.
- 8. А.В. Кабышев Электроснабжение объектов Ч.1 Расчет электрических нагрузок, нагрев проводников и электрооборудования. Учеб.пособие / Том. политехн. ун-т. Томск, 2007. 185 с.
- 9. Л.Д. Рожкова, В.С. Козулин. Электрооборудование станций и подстанций. М.: Энергоатомиздат, 1987. 646 с.
- 10. А.И. Гаврилин, С.Г. Обухов, А.И. Озга. Электроснабжение промышленных предприятий. Методические указания к выполнению выпускной работы бакалавра. Томск: ТПУ, 2001 93 с.
- 11. Видяев И.Г., Серикова Г.Н., Гаврикова Н.А. Финансовый менеджмент, ресурсоэффективность и ресурсосбережение. Томск: ТПУ, 2014. 37с.
- 12. Томпсон А.А., Стрикленд Дж.А. Стратегический менеджмент: концепции и ситуации для анализа, 12-е издание: Пер. с англ. М.: Вильямс, 2006 928 с

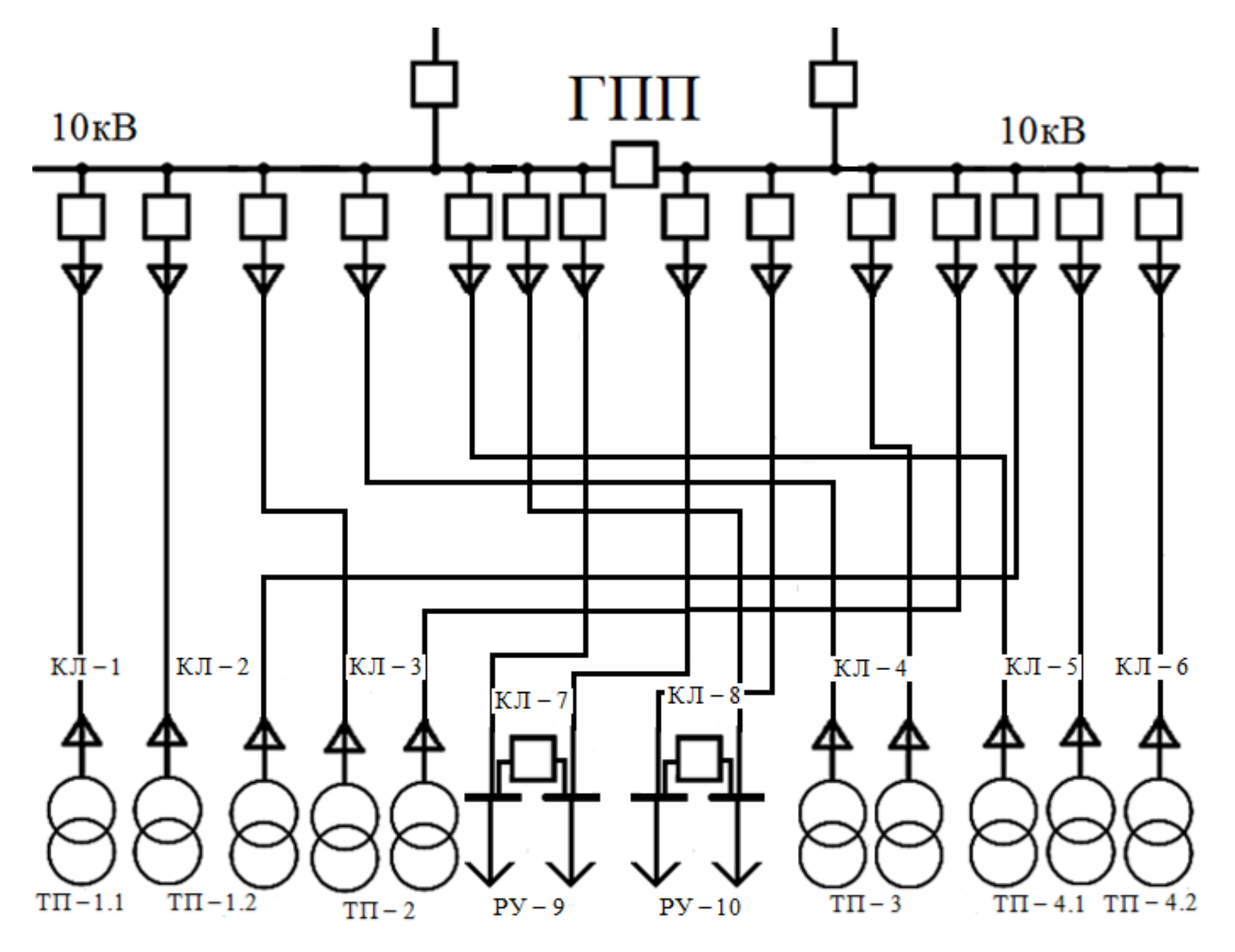
- 13. Бородин Ю.В., Извеков В.Н., Ларионова Е.В., Плахов А.М. Методические указания по разработке раздела «Социальная ответственность».- Томск: ТПУ, 2014. 9 с.
- 14. Извеков В.Н, Гусельников М.Э., Крепша Н.В., Панин В.Ф. Методические указания по разработке раздела «Производственная и экологическая безопасность».- Томск: ТПУ, 2006. 42 с
- 15. ICCSR-26000.2011.
- 16. СН-245-71. Санитарные нормы проектирования промышленных предприятий.
- 17. СНиП II-4-79. Естественное и искусственное освещение.
- 18. ГОСТ 12.01.009-76. Система стандартов безопасности труда.
- 19. СанПиН 2.2.1/2.1.1.1278-03 Гигиенические требование к естественному, искусственному и совмещенному освещению жилых и общественный зданий.
- М.:Госкомсанэпиднадзор, 2003.
- 20. СН 2.2.4/2.1.8.562–96. Шум на рабочих местах, в помещениях жилых, общественных зданий и на территории жилой застройки. М.: Минздрав России, 1997.
- 21. СНиП 2.04.05-91. Отопление, вентиляция и кондиционирование.
- 22. ГОСТ 12.01.004-91. Пожарная безопасность. Общие требования.
- 23. ППБ 01-02-03 РД153-34.0-03.301-00. Правила пожарной безопасности.
- 24. ГОСТ Р 22.8.01-96 «Безопасность в чрезвычайных ситуациях»

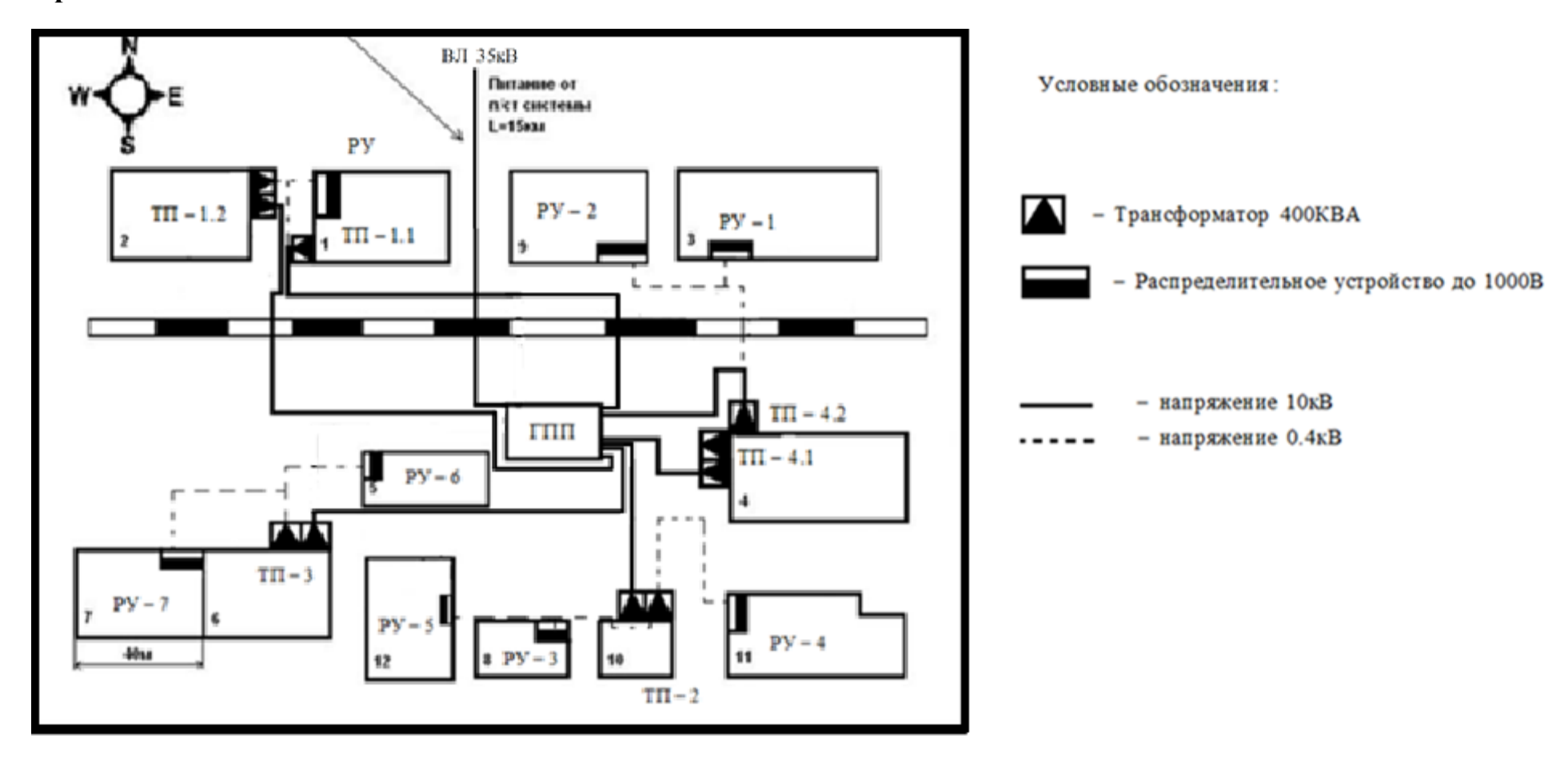


N п/п	Наименование		нагј	рузка уста	ановл	енная		нагј	рузка сред	няя за	асмену		нагрузка м	аксимальна	я
12.11	паименование узлов	n	Рн,	PнS,	m	Ки	cosj/tgj	Рсм,	Осм ,	nэ	Км/Км'	Pp,	Qp,	Sp,	Ip/Iπ
	,		кВт	кВт				кВт	кВАр			кВт	кВАр	кВА	A
1	2	3	4	5	6	7	8	9	10	11	12	13	14	15	16
	ПР3:			•		•									
	Группа А:														
1	Станки	7	3-28	58		0,14	0,6/1,33	8,12	10,8			58	77,14		
	Итого по группе А	7	3-28	58	>3	0,14		8,12	10,8	1	-	58	77,17		
	Группа Б:														
2	Вентилятор	1	55	55		0,65	0,8/0,75	35,75	26,813			55	41,25		
	Итого по группе Б	1	55	55		0,65		35,75	26,813			55	41,25		
	Итого по ПР3:	8	3-55	113			0,76/0,86	43,87	37,61		1	113	118,4	163,7	249
	ПР2:														
	Группа А:														
3	Шлифовальный полуавтомат	2	21	42		0,25	0,65/1,17	10,5	12,285						
4	Станки	7	3-10	56		0,14	0,6/1,33	7,84	10,427						
5	Кран-балка ПВ=25%	1	12,5	12,5		0,06	0,5/1,73	0,75	1,2975						
	Итого по группе А	10	3-21	110,5	>3	0,1728		19,09	24,01	9	2,1/1,1	40,089	26,411		
	<u>Итого по ПР2:</u>	10	3-21	110,5			0,62/1,26	19,09	24,01			40,09	26,41	43,95	66,85
	<u>ПР1:</u>														
	Группа А:														
6	Станки	8	4,5-12			0,14	0,6/1,33	8,624	11,47						
7	Гидравлическая ванна	2	1,7	3,4		0,55	0,95/0,33	1,87	0,6171						
	Итого по группе А	10	1,7-12	65	>3	0,1614		10,49	12,087	7	2,5/1,1	26,235	13,296		
	Группа Б:														
8	Гидравлический пресс	1	7	7		0,65	0,8/0,75	4,55	3,4125			7	5,25		
	Итого по группе Б	1	7	7		0,65	0,8/0,75	4,55	3,4125			7	5,25		
	<u>Итого по ПР1:</u>	11	1,7-12	72			0,69/1,03	15,04	15,5			31,59	18,55	36,63	55,73
	<u>Итого по</u> <u>ПР1+ПР2+ПР3</u>	<u>29</u>	<u>1,7-55</u>	<u>295,5</u>	-	-	-	<u>78</u>	<u>77,12</u>	-	-	<u>184,7</u>	<u>163,4</u>	244,3	<u>371,6</u>

			Осветите	льная нагр	узка		Силовая и о	светительн	ная нагрузки
№ по ген. плану	Наименование цеха	F, м2	Руд.о,Вт/м2	Рн.о,кВт	Кс.о	Рро, кВт	Рр + Рро,кВт	Qp,кВар	Ѕр,кВА
1	2	3	4	5	6	7	8	9	10
		П	отребители э	лектроэне	ергии	0,38 кВ			
1	Механический	1201	16	19,216	0,85	16,3336	646,3336	472,5	800,6268622
2	Термический	1232	13	16,016	0,95	15,2152	735,2152	633,6	970,5618735
3	Заготовочный	1755,7	17	29,8469	0,85	25,369865	200,369865	131,25	239,5300509
4	Инструментальный	1508	16	24,128	0,85	20,5088	1063,5088	782,25	1320,214388
5	Кузнечный	665	16	10,64	0,95	10,108	346,108	252	428,1293586
6	Котельная	1110	14	15,54	0,85	13,209	313,209	264	409,6289512
7	Электроцех	1110	16	17,76	0,85	15,096	267,096	257,04	370,6883257
8	Экспериментальный	565,5	16	9,048	0,85	7,6908	155,6908	130,24	202,9829619
9	Компрессионная	1201	16	19,216	0,85	16,3336	61,3336	33,75	70,00623536
10	Насосная	460,8	16	7,3728	0,85	6,26688	268,76688	196,875	333,1597236
11	Лаборатория	1329	21	27,909	0,8	22,3272	82,3272	52,8	97,80392559
12	Ремонтно- механический	1016,5	16	16,264	0,85	13,8244	198,5244	163,4	257,1215615
Терр	оитория завода	60545	0,16	9,6872	1	9,6872	9,6872	12,88398	16,11951244
Ито	ого по 0,38 кВ:	13154,5	-	-	-	191,97055	4348,170545	3382,589	5516,57373
		I	Іотребители	электроэн	ергии	10 KB			
1	Компрессионная	-	-	-	-	-	1350	0	1350
2	Насосная	-	-	-	-	-	1200	0	1200
Ит	ого по 10 кВ:	-	-	-	-	-	2550	0	2550
Ит	ого по заводу:	-	-	-	-	-	6898,170545	3382,589	8066,57373

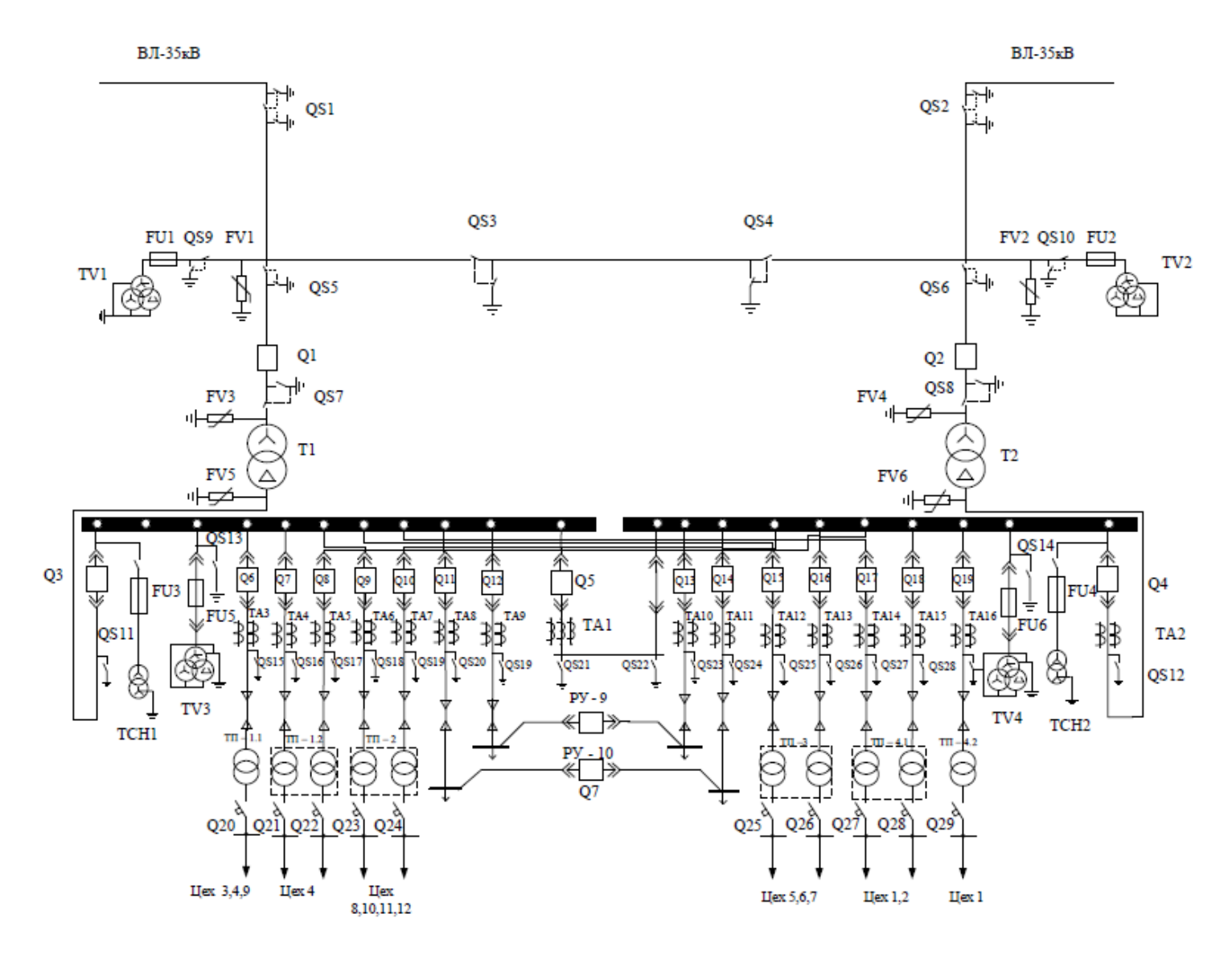


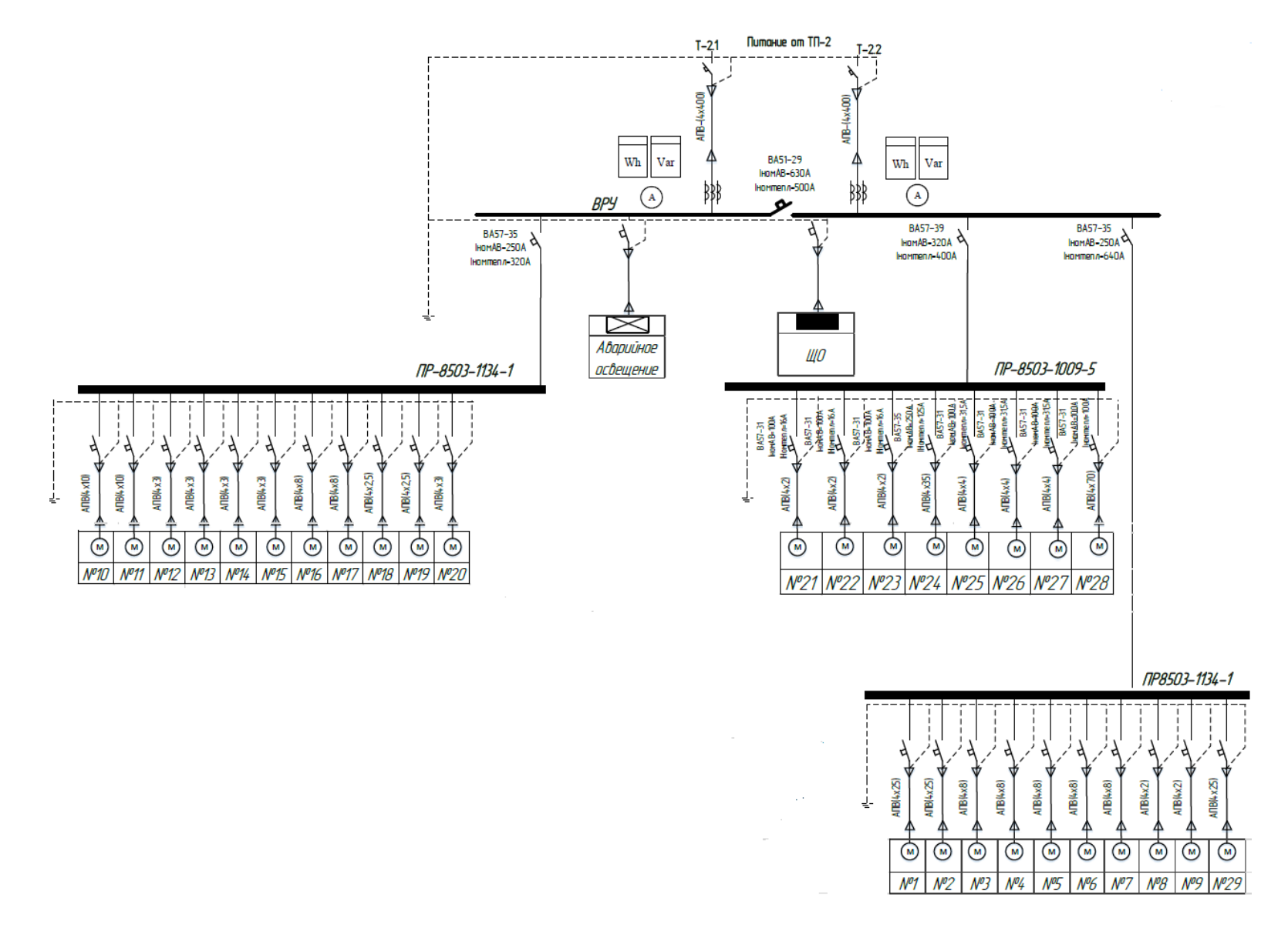




№ п/п	Наименование потребителя	Выбранный ИП	Q _{max.тр} , кВАр	Оф, кВар	Р _{р гр} , кВт	0 _{ртр/} кВАр	Батареи	Q бат нн, кВАр	$eta_{ exttt{Tp H}}$
1	Механический	1х630 От 2	42,1	22,38	420	322,38	3хУКМ58-04-100-33,3У3	300	0,67
2	Термический	2x630	129,27	83,71	961,55	783,71	7 хУКМ58-04-100-33,3У3	700	0,77
3	Заготовочный	От 4.1	-	-	-	-	-	-	-
4	11	1x630	43,19	0,04	445,21	300,04	3хУКМ58-04-100-33,3У3	300	0,71
4	Инструментальный	2x630	59,36	47,21	880	647,21	6хУКМ58-04-100-33,3У3	600	0,7
5	Кузнечный	от 6	-	-	-	-	-	-	-
6	Котельная	2x630	105,49	73,04	926,413	773,04	7xYKM58-04-100-33,3Y3	700	0,71
7	Электроцех	от 6	-	-	-	-	-	-	-
8	Экспериментальный	от 10	-	-	-	-	-	-	-
9	Компрессионная	От 4.1	-	-	-	-	-	-	-
10	Насосная	2x630	20,23	43,32	705,30928	543,315	5хУКМ58-04-100-33,3У3	500	0,56
11	Лаборатория	от 10	-	-	-	-	-	-	-
12	Ремонтно-механический	от 10	-	-	-	-	-	-	-
	Σ	10x630	399,64	267,7	4338,4845	3206,3	31xYKM58-04-100-33,3Y3	3100	-

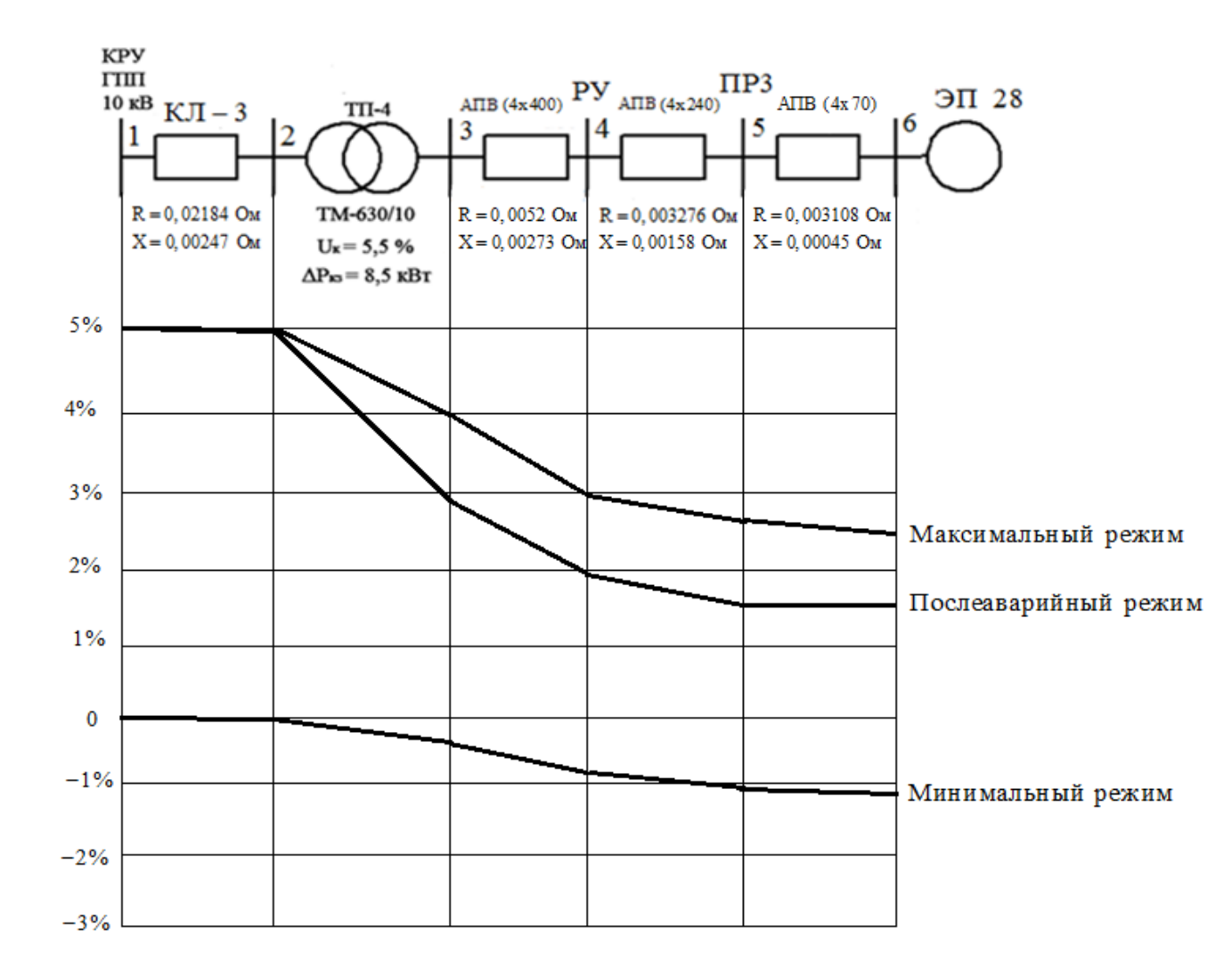
ии		линий	Расчетная нагрузка на один кабель		ии	іадки		нагру	тимая зка на кабель	Проверка по нагреву		Марка и сечение	R0, Ом/	X0, Ом/к		
Номер линии	Назначение линии	Количество л	Норм. режим I p, A	П.авр. режим I п.ав, А	длина линии 1, км	Способ прокладки	Fэк, мм2	Норм. режи м I доп, А	П.авр. режи м 1,3I доп, А	$\frac{I_p}{K_1 \cdot K_1}$	$\frac{I_{\textit{n.as}}}{K_1 \cdot K_2}$	кабеля, выбранного по условию допустимого нагрева	км [1, табл П 6.2]	м [1, табл П 6.3]	R, Ом	Х, Ом
КЛ - 1	ГПП - ТП-1.1	1	36,4162	-	0,126	канал	26,01	105	-	36,4 2	-	ААШв - 3х35	0,84	0,095	0,10584	0,01197
КЛ - 2	ГПП - ТП-1.2	2	36,4162	72,83	0,141	канал	26,01	105	136,5	40,4 6	80,92	ААШв – 2(3x35)	0,84	0,095	0,11844	0,0134
КЛ - 3	ΓΠΠ - ΤΠ-2	2	36,4162	72,83	0,052	канал	26,01	105	136,5	40,4 6	80,92	ААШв – 2(3x35)	0,84	0,095	0,04368	0,00494
КЛ - 4	ΓΠΠ - ΤΠ-3	2	36,4162	72,83	0,089	канал	26,01	105	136,5	40,4 6	80,92	ААШв – 2(3x35)	0,84	0,095	0,07476	0,00846
КЛ - 5	ΓΠΠ - ΤΠ 4.1	2	36,4162	72,83	0,044	канал	26,01	105	136,5	40,4 6	80,92	ААШв – 2(3x35)	0,84	0,095	0,03696	0,00418
КЛ - 6	ΓΠΠ - ΤΠ 4.2	1	36,4162	-	0,074	канал	26,01	105	-	36,4 2	-	ААШв - 3х35	0,84	0,095	0,06216	0,00703
КЛ - 7	ГПП - РУ 9	2	78,0347	156,07	0,044	канал	55,74	165	214,5	86,7 1	173,41	ААШв – 2(3x70)	0,42	0,086	0,01848	0,00378
КЛ - 8	ГПП - РУ 10	2	69,3642	138,73	0,052	канал	49,55	135	175,5	77,0 7	154,14	AAШв – 2(3x50)	0,59	0,09	0,03068	0,00468

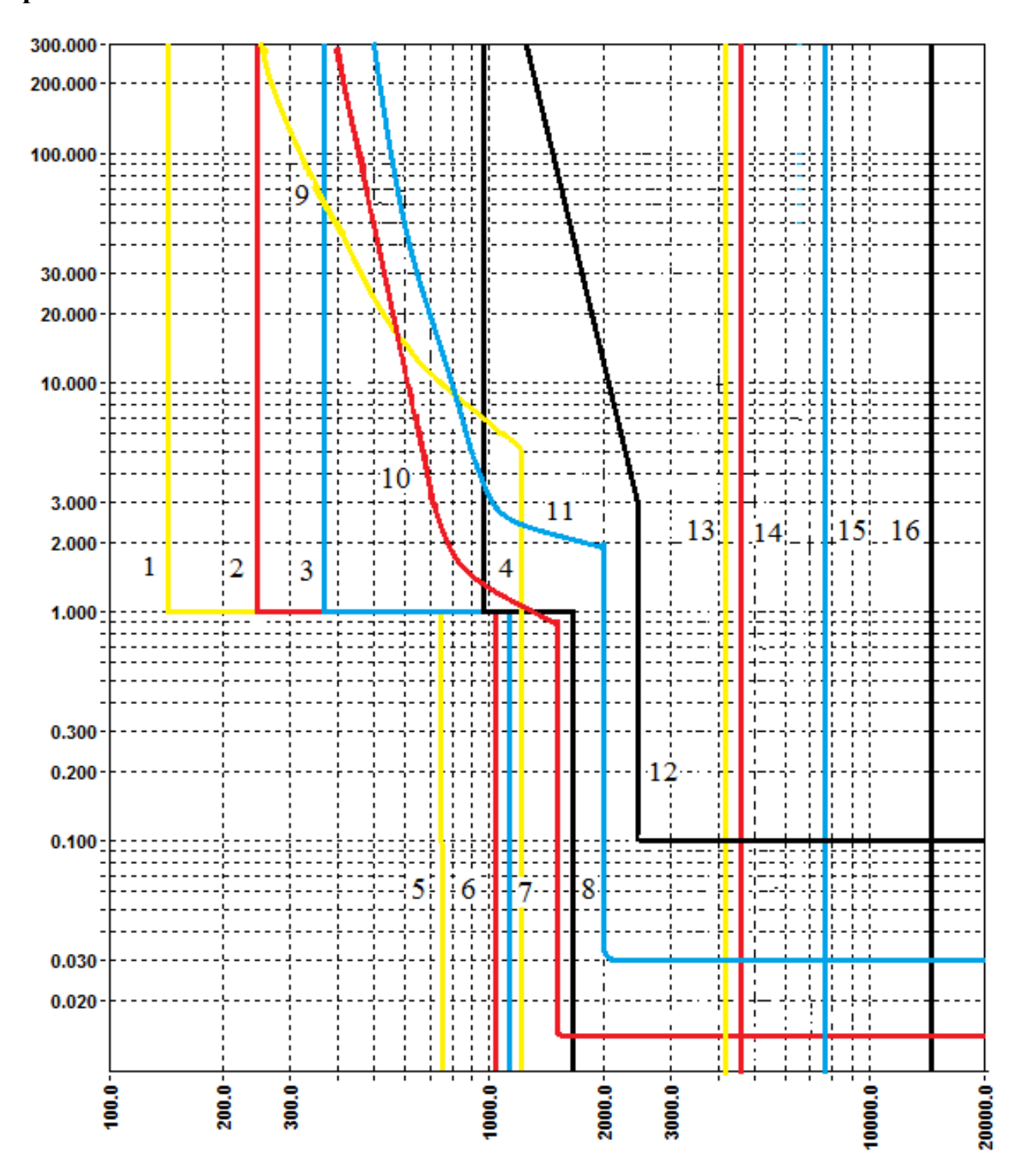




№				Пара	метры Э	П				Aı	зтомати	ческий выкл	очатель	
п/п	Наименование ЭП	Рном, кВт	Руст, кВт	cos ф	η	Іном, А	1,15Іном, А	Іпуск, А	1,5Іпуск А	Тип	Іном, А	Іном.тепл А	Ккз	Іэмр А
1,2	Шлифовальный полуавтомат	21	21	0,65	0,8	61,430	70,6454330	307,15	460,7310	BA57-31	100	80	14	1120
3-7	Поперечно- строгальный станок	10	10	0,6	0,75	33,803	38,8736774	169,01	253,5239	BA51-31	100	40	14	560
8,9	Универсально заточный станок	3	3	0,6	0,95	8,0060	9,20692360	40,030	60,04515	BA51-31	100	16	14	224
10,11	Вертикально- фрезерный станок	12	12	0,6	0,75	40,563	46,6484129	202,81	304,2287	BA51-31	100	50	14	700
12-15	Токарно-винторезный станок	4,5	4,5	0,6	0,75	15,211	17,4931548	76,057	114,0857	BA51-31	100	25	14	350
16,17	Плоскошлифовальный станок	9,8	9,8	0,6	0,95	26,153	30,0759504	130,76	196,1475	BA51-31	100	31,5	14	441
18,19	Гальваническая ванна	1,7	1,7	0,95	0,93	2,9269	3,36597207	14,634	21,95199	BA51-31	100	16	14	224
20	Гидравлический пресс	7	7	8,0	0,95	14,010	16,1121163	70,052	105,0790	BA51-31	100	25	14	350
21-23	Горизонтально- фрезерный станок	3	3	0,6	0,75	10,140	11,6621032	50,704	76,05719	BA13-25	100	16	14	224
24	Плоскошлифовальный станок	28	28	0,6	0,8	88,733	102,043403	443,66	665,5004	BA57-35	250	125	6	750
25-27	Радиально- сверлильный станок	7	7	0,6	0,8	22,183	25,5108508	110,91	166,3751	BA51-31	100	31,5	14	441
28	Вентилятор	55	55	0,8	0,7	149,39	171,807770	746,99	1120,485	BA57-35	250	200	б	1200
29	Кран-балка ПВ=25%	25	25	0,5	0,9	84,507	97,1841936	422,54	633,8099	BA51-31	100	100	14	1400

№	Наименование ЭП	Ірасч, А	Тип	Ін.расц, А	Марка кабеля, мм2	Ідоп, А	Кпрокл	$rac{I_{\it pacu}}{K_{\it npokn}}$	$\frac{K_{_{\mathit{3auq}}} \cdot I_{_{\mathit{3auq}}}}{K_{_{\mathit{npo\kappa n}}}}$
1,2	Шлифовальный полуавтомат	61,43	BA57-31	80	AΠB(4x25)	105	1	61,43	80
3-7	Поперечно-строгальный станок	33,803	BA51-31	40	АПВ(4х8)	46	1	33,803	40
8,9	Универсально заточный станок	8,006	BA51-31	16	АПВ(4х2)	21	1	8,006	16
10,11	Вертикально-фрезерный станок	40,563	BA51-31	50	AΠB(4x10)	60	1	40,563	50
12-15	Токарно-винторезный станок	15,211	BA51-31	25	АПВ(4х3)	27	1	15,211	25
16,17	Плоскошлифовальный станок	26,153	BA51-31	31,5	АПВ(4х8)	32	1	26,153	31,5
18,19	Гальваническая ванна	2,9269	BA51-31	16	AΠB(4x2,5)	16	1	2,9269	16
20	Гидравлический пресс	14,01	BA51-31	25	АПВ(4х3)	27	1	14,01	25
21-23	Горизонтально-фрезерный станок	10,14	BA13-25	16	АПВ(4х2)	21	1	10,14	16
24	Плоскошлифовальный станок	88,733	BA57-35	125	AΠB(4x35)	130	1	88,733	125
25-27	Радиально-сверлильный станок	22,183	BA51-31	31,5	АПВ(4х4)	32	1	22,183	31,5
28	Вентилятор	149,39	BA57-35	200	AΠB(4x70)	210	1	149,39	200
29	Кран-балка ПВ=25%	84,507	BA51-31	100	AΠB(4x25)	105	1	84,507	100
-	РУ-ПР1	55,73	BA57-31	200	AΠB(4x70)	210	1	55,73	200
-	РУ-ПР2	66,85	BA57-31	200	AΠB(4x70)	210	1	66,85	200
-	РУ-ПР3	249	BA57-39	400	AΠB (4x240)	465	1	249	400
-	ТП2-ВРУ	371,6	BA51-29	630	AΠB (4x400)	645	1	371,6	630





			Ткі			Прод	олжит	ельносп	іь выпол	тнения ј	работ		
№	Вид работы	Исполнители	(кал.	$\Phi e e$	раль		Mapm			Апрель		M	ай
			дн.)	2	3	1	2	3	1	2	3	1	2
1	Составление и утверждение технического задания (схем моделирования, проектирования)	Руководитель	6										
2	Подбор и изучение материалов по теме, примерный план работ	Руководитель	9	_									
3	Выбор направления оптимизационной задачи	Инженер	4		L								
4	Календарное планирование работ	Руководитель	2										
5	Разработка вариантов проектирования	Инженер	10				-						
6	Выбор программного обеспечения для расчетов	Инженер	4				4						
7	Сравнение возможных вариантов по ряду критериев	Инженер	6				L						
8	Расчет основных и аварийных принципов функционирования	Инженер	26										
9	Оценка эффективности полученных результатов	Руководитель	9										
10	Оценка надежности полученных результатов	Руководитель	9										
11	Вопросы безопасности и экологичности проекта	Инженер	5										
12	Составление пояснительной записки по проекту	Инженер	9										